

Fourierentwicklung

• Ansatz: $f(x) = \sum_{k=0}^{\infty} \left[a_k \cos\left(\frac{2\pi k}{a} x\right) + b_k \sin\left(\frac{2\pi k}{a} x\right) \right]$

für ein $f(x)$ mit der Periode a

• Berechnung der Koeffizienten

Skalarmultiplikation mit den Basisvektoren $\cos\left(\frac{2\pi n}{a} x\right)$ und $\sin\left(\frac{2\pi k}{a} x\right)$, diese stehen

senkrecht aufeinander, da $\int_0^a \sin(nx) \cos(kx) dx \equiv 0$

$$b_n: \int_0^a f(x) \cdot \sin\left(\frac{2\pi n}{a} x\right) dx = \sum_{k=0}^{\infty} \left[a_k \cos\left(\frac{2\pi k}{a} x\right) \sin\left(\frac{2\pi k}{a} x\right) + b_k \sin\left(\frac{2\pi k}{a} x\right) \sin\left(\frac{2\pi n}{a} x\right) \right] \text{ nur für } n=k \neq 0!$$

$$\Leftrightarrow b_n = \frac{2}{a} \cdot \int_0^a f(x) \cdot \sin\left(\frac{2\pi n}{a} x\right) dx$$

$$a_n: \int_0^a f(x) \cdot \cos\left(\frac{2\pi n}{a} x\right) dx = \sum_{k=0}^{\infty} \left[a_k \cos\left(\frac{2\pi k}{a} x\right) \cos\left(\frac{2\pi n}{a} x\right) + b_k \sin\left(\frac{2\pi k}{a} x\right) \cos\left(\frac{2\pi n}{a} x\right) \right] \text{ nur für } n=k$$

1. Fall für $k=n=0 \rightarrow a_0$

$$a_0 = \frac{1}{a} \cdot \int_0^a f(x) \cos\left(\frac{2\pi k}{a} x\right) dx$$

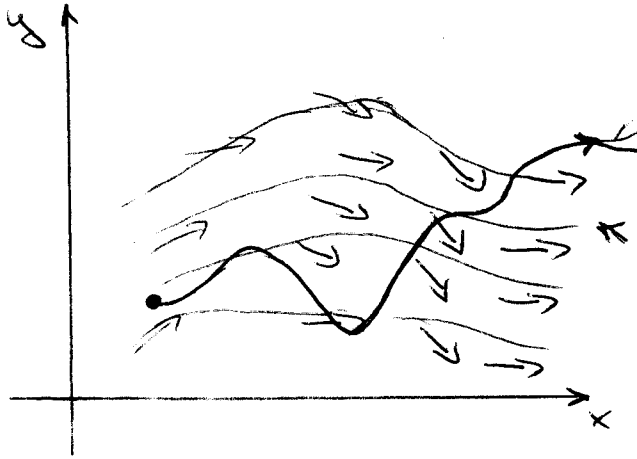
2. Fall für $k=n \neq 0$

$$a_n = \frac{2}{a} \int_0^a f(x) \cos\left(\frac{2\pi k}{a} x\right) dx$$

Feldbegriff

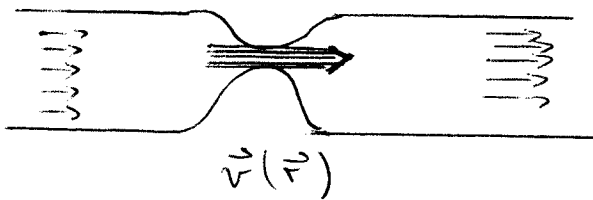
Bsp.: $T(\vec{r}, t)$

Geschwindigkeitstfeld $\vec{v}(\vec{r}, t)$



Stromlinien, konkrete Bahn eines Tröpfchens im variablen Feld, wenn stationär = Stromlinie

Stromlinien, abhängig von z



Stationäre Strömung.

Geschwindigkeitstfeld hängt nicht von z ab, aber offensichtlich gibt es dennoch Beschleunigung \rightarrow Kraftfeld kann aus der Beschl. errechnet werden

$$\rho \frac{d\vec{v}}{dt} = \vec{f} = \vec{f}(\vec{r}, t)$$

"Vektorgradient"

\leftarrow "substantielle", "totale" Ableitung

$$\frac{d\vec{v}}{dt} = \lim_{dt \rightarrow 0} \frac{\vec{v}_{\text{nachher}} - \vec{v}_{\text{vorher}}}{dt}$$

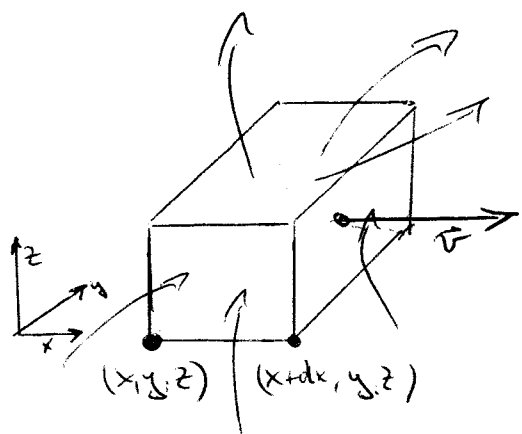
$$= \lim_{dt \rightarrow 0} \frac{\vec{v}(\vec{r} + \vec{v} dt, t + dt) - \vec{v}(\vec{r}, t)}{dt}$$

$$= \vec{v}(\vec{r}, t) + \frac{d\vec{r}}{dx} v_x dt + \frac{d\vec{r}}{dy} v_y dt + \frac{d\vec{r}}{dz} v_z dt - \vec{v}(\vec{r}, t) + \frac{\partial \vec{v}}{\partial t} dt$$

$$= \sum_{j=1}^3 \frac{\partial v}{\partial x_j} v_j dt + \frac{dv}{dt} dt =: (\vec{v} \cdot \text{grad}) \vec{v} + \frac{d\vec{v}}{dt} dt$$

$$\rho \left[(\vec{v} \cdot \text{grad}) \vec{v} + \frac{\partial \vec{v}}{\partial t} \right] = f(\vec{r}, t) \Rightarrow \text{Eulergleichung}$$

Quellstärke berechnen



Quellen? Senken? \rightarrow Vgl. rein und raus

$$\left[\begin{array}{l} -v_x(x, y+dy, z+dz) \cdot dy \cdot dz \\ + v_x(x+dx, y+dy, z+dz) \cdot dy \cdot dz \end{array} \right] \left| \begin{array}{l} \text{rein} \\ \text{raus} \end{array} \right.$$

$$\left. \begin{array}{l} \\ \\ \end{array} \right| \text{pro Volumen}$$

$$\left. \begin{array}{l} \\ \\ \end{array} \right| \frac{1}{dx \cdot dy \cdot dz}$$

Analog für andere Flächen: ... + (x \leftrightarrow y) + (x \leftrightarrow z)

$$= \frac{v_x(x+dx, \dots) - v_x(x, \dots)}{dx} + () + ()$$

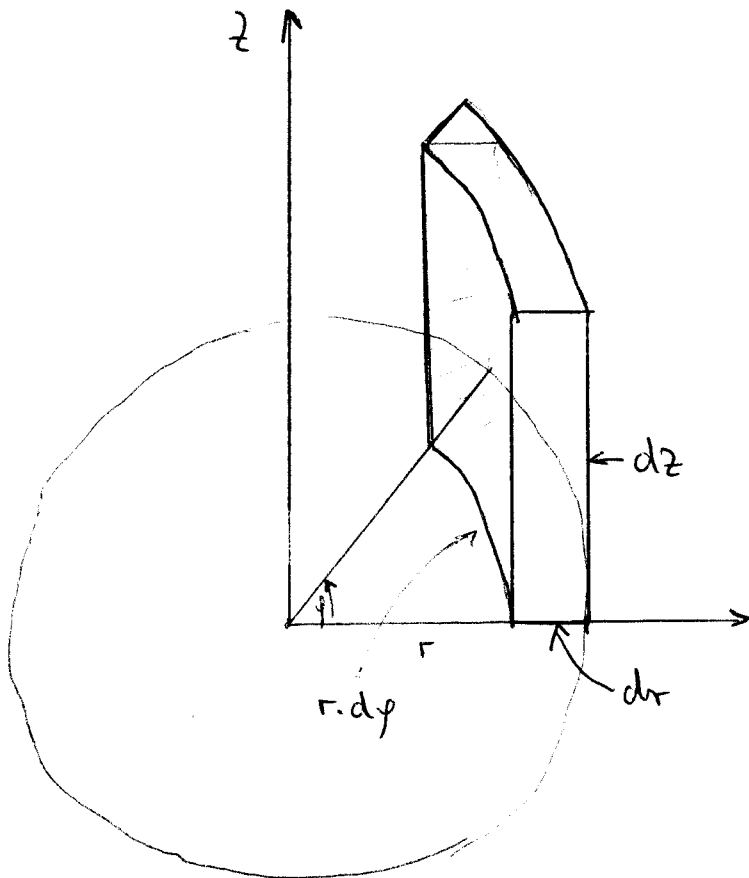
$$\xrightarrow{dx, dy, dz \rightarrow 0} \frac{\partial v_x}{\partial x} + \frac{\partial v_y}{\partial y} + \frac{\partial v_z}{\partial z} =: \text{div } \vec{v}(\vec{r}, t) \quad \left| \text{Divergenz} \right.$$

Bsp.: $\vec{v} = \left(x \cdot \sin y, \frac{x+y^2}{z}, e^{x+y-z} \right)$

$$\text{div } \vec{v} = \sin y + \frac{2y}{z} - e^{x+y-z}$$

Betrachtung in alternativen Koordinaten

Zylinderkoordinaten:



$$\operatorname{div} \vec{v}(r, \varphi, z) = ?$$

$$\operatorname{div} \vec{v}(r, \varphi, z) = \frac{v_r(r+dr, \varphi+\dots, z+\dots)(r+dr) d\varphi dz - v_r(r, \varphi+\dots, z+\dots)r}{r \cdot d\varphi dr dz}$$

$$= \frac{1}{r} \left[\frac{v_r(r+dr, \dots)(r+dr) - v_r(r, \dots)r}{dr} \right] \rightarrow \frac{1}{r} \frac{\partial}{\partial r} (r v_r)$$

analog für andere Seiten

$$\frac{v_\varphi(r, \dots, \varphi+d\varphi, z+\dots) dz dr - v_\varphi(r, \dots, \varphi, z+\dots) dz dr}{r \cdot dr dz} \rightarrow \frac{1}{r} \frac{\partial v_\varphi}{\partial \varphi}$$

Bsp.: Teetasse beim Umrühren



$$\operatorname{div} \vec{v}(r, \varphi, z) = \frac{1}{r} \frac{\partial}{\partial r} (r v_r) + \frac{1}{r} \frac{\partial v_\varphi}{\partial \varphi} + \frac{\partial v_z}{\partial z}$$

$$\vec{v} = f(r) \vec{e}_\varphi$$

$$\Rightarrow \operatorname{div} \vec{v} = 0$$

$$\vec{j} = \rho \cdot \vec{v} \quad \text{Massenstrom}$$

Strom \vec{j} , Dichte ρ übertragbar auf beliebige Sachverhalte

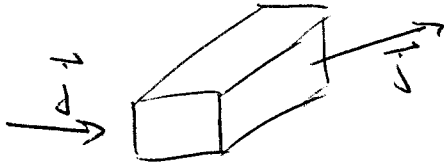
→ Wenn Erhaltungssatz: $\boxed{\operatorname{div} \vec{j} + \dot{\rho} = 0}$

z.B. bei Ladung: Wenn Ladung aus dem Kondensator strömt, nimmt die Ladungsdichte im Kondensator entsprechend ab

"Kontinuitätsgleichung": Erhaltungssatz für Ströme; gilt, wenn Erhaltungssatz für entspr. Größe gilt

Aussicht: $\oint [\operatorname{div} \vec{j} + \dot{\rho}] = \dots ? \Rightarrow$ Gauss'sche Satz

Gauß'sche Integralsatz

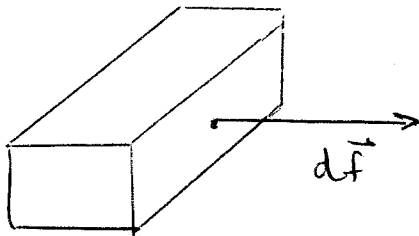


Divergenz = Quelledichte = $\frac{\text{Netto-Erregbarkeit}}{\text{Volumen}}$

$$\text{div } \vec{j}(\vec{r}) = \frac{\partial j_x}{\partial x} + \frac{\partial j_y}{\partial y} + \frac{\partial j_z}{\partial z} \quad \text{in kart. Koordinaten}$$

$$= \frac{1}{r} \frac{\partial}{\partial r} (r j_r) + \frac{1}{r} \frac{\partial}{\partial \varphi} j_\varphi + \frac{\partial j_z}{\partial z} \quad \text{in zyl. Koord.}$$

$$\text{div } \vec{j} = \frac{\oint \vec{j} \cdot d\vec{f}}{\Delta V}$$



- i) $d\vec{f} \perp$ auf der Fläche
 - ii) $|d\vec{f}| = \text{Flächeninhalt}$
 - iii) $d\vec{f}$ zeigt nach außen
- } Normalenvektor

$\Rightarrow \vec{j} \cdot d\vec{f} = \text{Komponente von } \vec{j}, \text{ die durch die Fläche nach außen strömt}$

$\oint = \text{Integral über die Oberfläche}$

$$\sum_i (\text{div } \vec{j}_i \cdot \Delta V_i = \oint_{\Delta V_i} \vec{j}_i \cdot d\vec{f}) \quad \text{nur äußere Oberflächen bleiben übrig!}$$

$$\int_V \text{div } \vec{j} \, dV = \oint_V \vec{j} \cdot d\vec{f}$$

Beispiel (in Zylinderkoordinaten)

$$\vec{j} = (r^2 z, 0, z^2 r) = r^2 z \cdot \vec{e}_r + 0 \cdot \vec{e}_\varphi + z^2 r \vec{e}_z$$

$$\operatorname{div} \vec{j} = \frac{1}{r} \frac{\partial}{\partial r} (r^3 z) + \frac{\partial}{\partial z} (z^2 r) = 3r z + 2r z = 5r z$$

Beide Seiten des Gaußschen answerten

a) Volumenintegral

$$5 \cdot 2\pi \int_0^1 dz \int_0^1 r dr r z = \frac{10\pi}{3} \cdot \frac{1}{2} = \frac{5\pi}{3} \quad \text{Gesamtgeriebigkeit}$$

b) Oberflächenintegral

Boden ($z=0$) $\rightarrow j=0$

$$2\pi \int_0^1 r dr \vec{j} \cdot (0, 0, 1) + \dots \quad (\text{Mantel})$$

$$2\pi \int_0^1 r dr \cdot (1^2) \cdot r + 2\pi \int_0^1 z dz = 2\pi \left(\frac{1}{3} + \frac{1}{2} \right) = \frac{5\pi}{3}$$

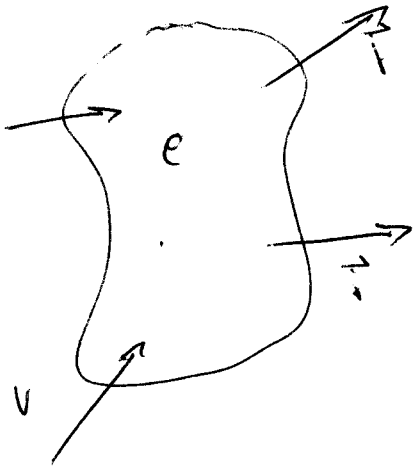
Mantel.

$$\int_0^1 \underbrace{(z, 0, z^2)}_{r=1 \text{ auf Mantel}} \cdot (2\pi dz, 0, 0)$$

$r=1$
auf Mantel

dV bei Zyl.: $r^2 dr \sin \theta d\theta d\varphi$

Kontinuitätsgleichung in differentieller Form



$$\frac{d}{dt} Q = \frac{d}{dt} \int_V \rho dV = - \oint_V \vec{j} \cdot d\vec{A} \quad ^{1)}$$

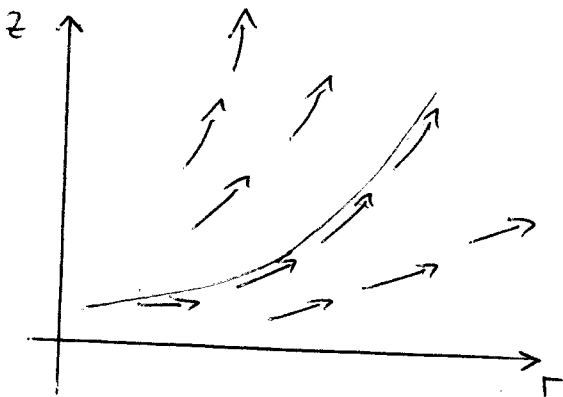
$$\int_V \frac{d\rho}{dt} dV + \int_V \text{div} \vec{j} \cdot dV = 0 \quad | \text{Nach G. Int.}$$

$$\int_V dV (\dot{\rho} + \text{div} \vec{j}) = 0$$

$$\leadsto \boxed{\dot{\rho} + \text{div} \vec{j} = 0}$$

¹⁾ Minus wg. Zufluss

Stromlinien



Vektorfeld + Stromlinie

Wie berechnet man die Stromlinien?

$$\vec{j} = (r^2 z, 0, z^2 r)$$

$$z'(r) = \frac{dz}{dr} = \frac{v_z}{v_r} = \frac{z^2 r}{r^2 z} = \frac{z}{r}$$

$$\frac{dz}{z} = \frac{dr}{r} \quad \Rightarrow \quad \log z = \log r + \text{const.}$$

$$z = c \cdot r$$

\rightarrow Gedankenbahnen
(Übung)

Rotation

$\frac{d}{dx} \rightarrow \begin{cases} \text{div} \\ \text{rot} \\ \text{grad} \end{cases}$ 3 Ableitungsbegriffe bei Vektorfunktionen

div : vektor \rightarrow skalar

rot : vektor \rightarrow vektor

grad : skalar \rightarrow vektor

Vektorgradient : vektor \rightarrow vektor

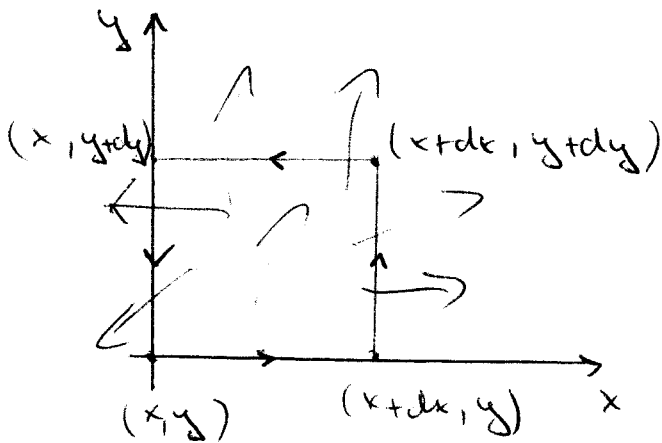
Bezeichnung Rotation

rot \vec{j} Deutsch

curl \vec{j} Englisch

Rotation = "Wirbeldichte"

Achse wird vorgegeben, wieviel wirbelt das Feld um diese Achse?



Wirbeldichte um die z-Achse

$$(\text{rot } \vec{j})_z \rightarrow \oint_A \vec{j} \cdot d\vec{s} \cdot \frac{1}{A}$$

$$(\text{rot } \vec{j})_z = \left\{ (dx, 0, 0) \vec{j}(x+\xi, y) \right. \\ \left. + (-dx, 0, 0) \vec{j}(x+\xi, y+dy) \right.$$

$$\left. + (0, dy, 0) \vec{j}(x+dx, y+\eta) \right.$$

$$\left. + (0, -dy, 0) \vec{j}(x, y+\eta) \right\} \cdot \frac{1}{dx \cdot dy}$$

$$= \frac{-j_x(\dots, y+dy) - j_x(\dots, y, \dots)}{dy}$$

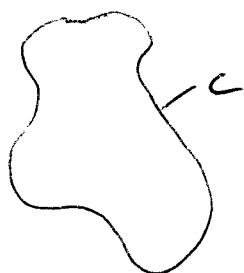
$$+ \frac{j_y(x+dx, \dots) - j_y(x, \dots)}{dx}$$

$$= \frac{\partial j_y}{\partial x} - \frac{\partial j_x}{\partial y}$$

$\Rightarrow z$ -Komponente berechnet, andere durch zyklisches Vertauschen

$$\text{rot } \vec{j} = \left\{ \frac{\partial j_z}{\partial y} - \frac{\partial j_y}{\partial z}, \frac{\partial j_x}{\partial z} - \frac{\partial j_z}{\partial x}, \frac{\partial j_y}{\partial x} - \frac{\partial j_x}{\partial y} \right\}$$

Kleiner Bruder von Gauß: Stokescher Satz



$$\oint_C \vec{j} \cdot d\vec{s} = \int_A \text{rot } \vec{j} \cdot d\vec{f} \quad ; \quad d\vec{f} = \text{Flächen-normale}$$

$$\sum_i (\text{rot } \vec{j})_z \cdot A_i = \sum_i \oint_{A_i} \vec{j} \cdot d\vec{s}$$

$$\int_A (\text{rot } \vec{j})_z \cdot d\vec{f}_z = \oint \vec{j}_z \cdot d\vec{s} \quad \dots ? \quad \rightarrow \dots$$

Wdh. Rotation

$$(\text{rot } \vec{j})_z = \frac{1}{dx dy} \oint \vec{j} \cdot d\vec{s}$$

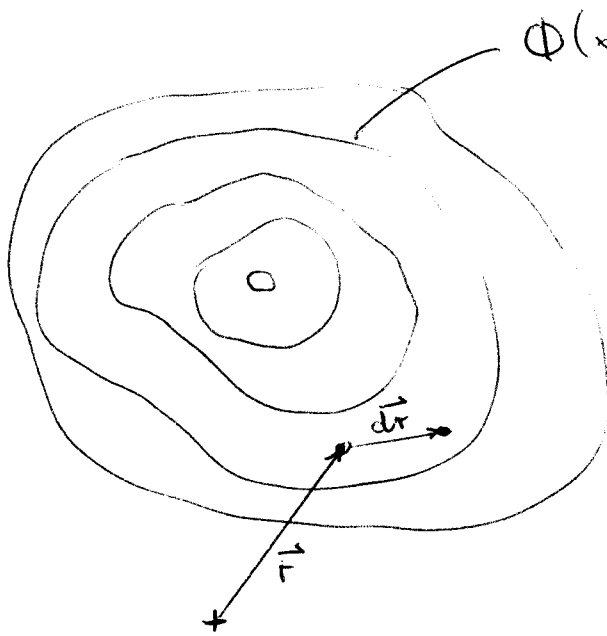
$$; d\vec{f} = dx dy \vec{e}_z$$

$$\sum (\text{rot } \vec{j}) d\vec{f} = \sum \oint \vec{j} \cdot d\vec{s}$$

$$\int_A \text{rot } \vec{j} \cdot d\vec{f} = \oint_A \vec{j} \cdot d\vec{s}$$

Stokescher Satz

\Rightarrow Rotation über eine geschlossene Fläche ist Null

Gradient

Der Gradient gibt Richtung und Stärke des Anstiegs an.

$$d\vec{r} = (dx, dy, dz)$$

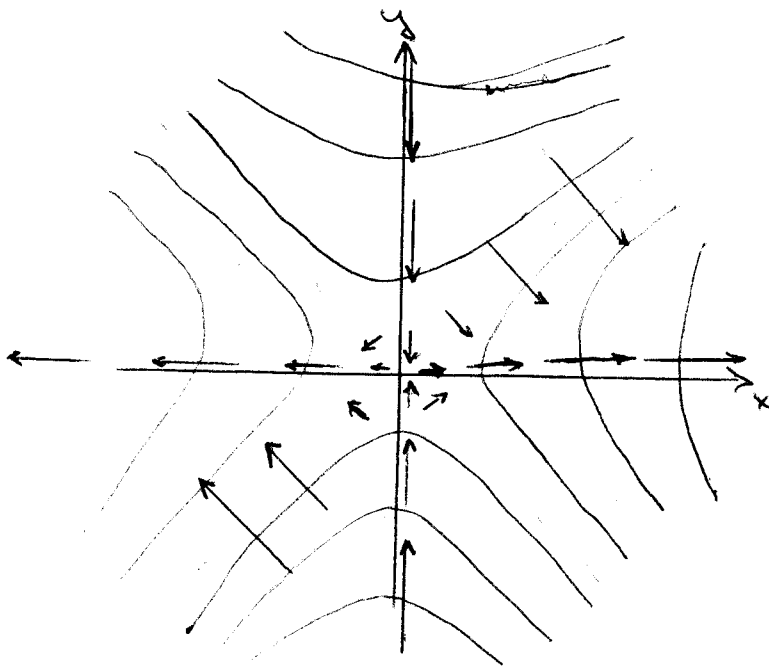
$$d\Phi(x, y, z) = \frac{\partial \Phi}{\partial x} dx + \frac{\partial \Phi}{\partial y} dy + \frac{\partial \Phi}{\partial z} dz$$

$$= \underbrace{\left(\frac{\partial \Phi}{\partial x} + \frac{\partial \Phi}{\partial y} + \frac{\partial \Phi}{\partial z} \right)}_{\text{grad}(\Phi)} \cdot d\vec{r}$$

$$d\Phi = \text{grad} \Phi \cdot d\vec{r}$$

Beispiel: $\phi = x^2 - y^2$ $\text{grad} = 2(x, -y)$

Höhenlinien (Äquipotentiallinien)



Gradientenlinien stehen
senkrecht auf den
Höhenlinien

Gradienten:
"Feldlinien"

Kraftfeld: $\vec{F} = -\text{grad } \phi$

Feldlinien als $y = y(x)$ bestimmen

$$y' = \frac{dy}{dx} = \frac{\phi_y}{\phi_x} = -\frac{y}{x}$$

| $\phi_x = \text{part. Ableitung nach } x$

$$\Leftrightarrow \frac{dy}{y} = -\frac{dx}{x} \Rightarrow \log y = -\log x + \text{const}$$

$$\Rightarrow y = \frac{C}{x}$$

Beweis, dass Höhen- und Feldlinien \perp stehen

"Orthogonal - Trajektorien"

~~auf dem~~

Wenn $d\vec{r}$ längs der Höhenlinie liegt, dann ist $d\phi = 0$

$$0 = \text{grad } \phi \cdot d\vec{r}_{\text{Höhenl.}}$$

Gradient in Zylinderkoordinaten

$$d\phi = \text{grad } \phi \cdot d\vec{r} \quad (\text{Koordinatenunabhängig})$$

$$\phi = \phi(r, \varphi, z)$$

$$d\phi = \frac{\partial \phi}{\partial r} dr + \frac{\partial \phi}{\partial \varphi} d\varphi + \frac{\partial \phi}{\partial z} dz$$

$$d\vec{r} = dr \vec{e}_r + r d\varphi \vec{e}_\varphi + dz \vec{e}_z$$

$$\Rightarrow \text{grad } \phi = \left(\frac{\partial \phi}{\partial r}, \frac{1}{r} \frac{\partial \phi}{\partial \varphi}, \frac{\partial \phi}{\partial z} \right)$$

Potential

$$\text{Es sei } \text{rot } \vec{j} \equiv 0$$

$$\oint_C \vec{j} \cdot d\vec{s} = \int_{A_c} \text{rot } \vec{j} \cdot d\vec{A} = 0$$

$$\int_A^B \vec{j} \cdot d\vec{s} \text{ ist vom Wege unabhängig}$$

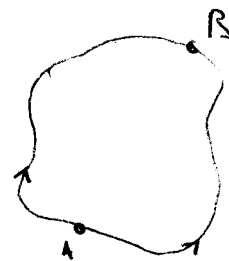
↓

$-\vec{F} \cdot d\vec{s}$: Wenn \vec{F} ein Kraftfeld ist, dann ist $-\int_0^B \vec{F} \cdot d\vec{s}$ die auf dem Weg von 0 nach B geleistete Arbeit

Das Potential ϕ des Vektorfeldes \vec{j} ist

$$\phi(\vec{r}_B) = - \int_0^B \vec{j} \cdot d\vec{s} \quad (\text{wenn } \vec{j} \text{ wirbelfrei})$$

→ "konservative Kraftfelder"

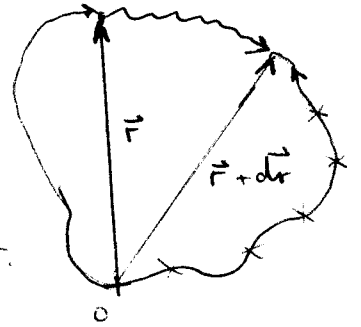


Potential \rightarrow Kraft

Wenn ϕ gegeben als Potential des Vektorfeldes $\vec{j}(\vec{r})$,
dann gilt $\vec{j} = -\text{grad } \phi$.

Beweis:

$$\begin{aligned}d\phi &= \phi(\vec{r} + d\vec{r}) - \phi(\vec{r}) = \text{grad } \phi \cdot d\vec{r} \\ &= \int_0^{\vec{r}+d\vec{r}} \vec{j} \cdot d\vec{s} + \int_0^{\vec{r}} \vec{j} \cdot d\vec{s} = - \int_{\vec{r}}^{\vec{r}+d\vec{r}} \vec{j} \cdot d\vec{s} \\ &= -\vec{j} \cdot d\vec{r} \quad 1)\end{aligned}$$



Potential ex. dann, wenn keine Rotation vorhanden ist.

Es sei ϕ gegeben, und es sei $\vec{j} = -\text{grad } \phi$ ein Vektorfeld,
dann ist die Rotation von \vec{j} identisch Null, denn $\text{rot grad} \equiv 0$

$$\text{rot } \vec{j} = \left(\frac{\partial j_y}{\partial z} - \frac{\partial j_z}{\partial y}, \frac{\partial j_z}{\partial x} - \frac{\partial j_x}{\partial z}, \frac{\partial j_x}{\partial y} - \frac{\partial j_y}{\partial x} \right)$$

$$\text{grad} = \left(\frac{\partial}{\partial x}, \frac{\partial}{\partial y}, \frac{\partial}{\partial z} \right) \phi$$

$$\vec{j} = - \left(\frac{\partial \phi}{\partial x}, \frac{\partial \phi}{\partial y}, \frac{\partial \phi}{\partial z} \right)$$

$$\text{rot grad } \phi = \left(\frac{\partial^2 \phi}{\partial y \partial z} - \frac{\partial^2 \phi}{\partial z \partial y}, \dots, \dots \right) = (0, 0, 0)$$

div rot \vec{j}

$$\begin{aligned}\text{div } \vec{j} &= \frac{\partial j_x}{\partial x} + \frac{\partial j_y}{\partial y} + \frac{\partial j_z}{\partial z} = \frac{\partial}{\partial x} \left(\frac{\partial j_y}{\partial z} - \frac{\partial j_z}{\partial y} \right) + \frac{\partial}{\partial y} \left(\frac{\partial j_z}{\partial x} - \frac{\partial j_x}{\partial z} \right) \\ &\quad + \frac{\partial}{\partial z} \left(\frac{\partial j_x}{\partial y} - \frac{\partial j_y}{\partial x} \right)\end{aligned}$$

$$= \frac{\partial^2 j_z}{\partial x \partial z} - \frac{\partial^2 j_x}{\partial z \partial x} + \dots + = 0 \Rightarrow \text{Wirbel haben keine Quellen}$$

1) 11: Mittelwertsatz der Integralrechnung

Vektorpotential

Jedes quellenfreie Vektorfeld \vec{j} lässt sich als Rotation, oder Wirbel, eines anderen Vektorfeldes \vec{A} darstellen.

\vec{A} heißt das Vektorpotential von \vec{j} .

$$\int_{\mathcal{L}} \text{rot } \vec{A} \, d\vec{f} = \oint_C \vec{A} \cdot d\vec{s}$$

$$\oint_{\text{Oberfläche}} \text{rot } \vec{A} \, d\vec{f} = 0 = \int_V \text{div rot } \vec{A} \, d\vec{f}$$

$$\leadsto \text{div rot } \vec{A} \equiv 0$$

$\text{rot grad } \phi = 0 \leadsto$ Wenn $\text{rot } \vec{j} = 0$ dann ist $\vec{j} = \text{grad } \phi$ möglich

$\phi = \phi + C$ ist auch möglich

$$\text{div rot } \vec{a} = 0$$

Satz: Wenn $\text{div } \vec{j} = 0$ dann $\exists \vec{a}$ sodass $\vec{j} = \text{rot } \vec{a}$

Bew.: Ansatz = $\{0, f(x, y, z), g(x, y, z)\}$

$$\text{rot } \vec{a} = \left\{ \frac{\partial f}{\partial z} - \frac{\partial g}{\partial y}, \frac{\partial g}{\partial x} - \frac{\partial f}{\partial z}, \frac{\partial f}{\partial y} - \frac{\partial g}{\partial x} \right\} \stackrel{?}{=} (j_x, j_y, j_z)$$

$$g(x, y, z) = \int j_y(x, y, z) dx + \gamma(y, z)$$

$$f(x, y, z) = -\int j_z(x, y, z) dx + \phi(y, z)$$

$$j_x \stackrel{?}{=} \frac{\partial f}{\partial z} - \frac{\partial g}{\partial y} = -\int dx \left(\frac{\partial j_z(x, y, z)}{\partial z} + \frac{\partial}{\partial y} j_y(x, y, z) \right) + \frac{\partial \phi}{\partial z} - \frac{\partial \gamma}{\partial y}$$

$$\text{div } \vec{j} = \frac{\partial}{\partial x} j_x + \underbrace{\frac{\partial}{\partial y} j_y + \frac{\partial}{\partial z} j_z}_{-\frac{\partial}{\partial x} j_x} \stackrel{!}{=} 0$$

$$j_x \stackrel{?}{=} \int dx \frac{\partial}{\partial x} j_x + \frac{\partial \phi}{\partial z} - \frac{\partial \gamma}{\partial y}$$

$$j_x \stackrel{?}{=} j_x + \alpha(y, z) + \frac{\partial \phi}{\partial z} - \frac{\partial \gamma}{\partial y}$$

$$\vec{j} = \text{rot } \vec{a} \leadsto \text{div } \vec{j} = 0$$

\vec{a} heißt Vektorpotential von \vec{j}

Wenn man \vec{a} durch $\vec{a} + \text{grad } \gamma$ ersetzt, dann ändert sich \vec{j} nicht weil $\vec{j} = \text{rot}(\vec{a} + \text{grad } \gamma) = \text{rot } \vec{a}$ ist wegen $\text{rot grad } \gamma = 0$ für bel. γ

Beispiel

$$\vec{j} = \left\{ x^2(y-z), y^2(z-x), z^2(x-y) \right\} \quad \text{div } \vec{j} = 0$$

$$\text{div } \vec{j} = 2x(y-z) + 2y(z-x) + 2z(x-y)$$

$$f = -z^2 \left(\frac{x^2}{2} - yx \right) ; \quad g = y^2 \left(zx - \frac{x^2}{2} \right)$$

$$\underline{j_x} = \frac{\partial}{\partial z} f - \frac{\partial}{\partial y} g = -2z \left(\frac{x^2}{2} - yx \right) - 2y \left(zx - \frac{x^2}{2} \right) = x^2(y-z) !$$

$$\frac{d\vec{v}}{dt} = \frac{\partial \vec{v}}{\partial t} + (\vec{v} \cdot \text{grad}) \vec{v}$$

$$\text{Beh.: } (\vec{v} \cdot \text{grad}) \vec{v} = -\vec{v} \times \text{rot } \vec{v} + \frac{1}{2} \text{grad } v^2$$

Beweis für erste Komponente

$$v_x \cdot \frac{\partial}{\partial x} v_x + v_y \cdot \frac{\partial}{\partial y} v_x + v_z \cdot \frac{\partial}{\partial z} v_x = \frac{1}{2} (\text{grad } v^2)_x - v_y \frac{\partial}{\partial x} v_y - v_z \frac{\partial}{\partial x} v_z + v_y \frac{\partial}{\partial y} v_x + v_z \frac{\partial}{\partial z} v_x$$

$$= \frac{1}{2} (\text{grad } v^2)_x - v_y (\text{rot } v)_z + v_z (\text{rot } v)_y$$

$$= \frac{1}{2} (\text{grad } v^2)_x - (\vec{v} \times \text{rot } \vec{v})_x$$

$$\frac{1}{2} (\text{grad } v^2)_x = \frac{1}{2} \frac{\partial}{\partial x} (v_x^2 + v_y^2 + v_z^2) = \frac{1}{2} \left(2v_x \frac{\partial}{\partial x} v_x + 2v_y \frac{\partial}{\partial x} v_y + 2v_z \frac{\partial}{\partial x} v_z \right)$$

Divergenz des Gradienten - Laplace Op.

$$\partial_x := \frac{\partial}{\partial x}$$

$$\operatorname{div} \operatorname{grad} \phi = \operatorname{div} (\partial_x \phi, \partial_y \phi, \partial_z \phi)$$

$$\Delta \phi := \partial_x^2 \phi + \partial_y^2 \phi + \partial_z^2 \phi$$

↖
Laplace-Operator

$$\Delta \phi = 0 \Rightarrow \text{Laplace Gleichung}$$

$$\Delta \phi = \rho(x, y, z) \Rightarrow \text{Poisson Gleichung}$$

Weiterführung Euler-Gleichung.

Euler: $\rho \frac{d\vec{v}}{dt} = \vec{f} = \left[\operatorname{grad}(\rho g z) \text{ bzw. } -\rho \operatorname{grad}(g z) \right] - \operatorname{grad} p$

$$\rho \left(\frac{\partial \vec{v}}{\partial t} - \vec{v} \times \operatorname{rot} \vec{v} + \frac{1}{2} \operatorname{grad} v^2 \right) + \rho \operatorname{grad} g z + \operatorname{grad} p = 0$$

Stationäre Strömung $\frac{\partial \vec{v}}{\partial t} \equiv 0$

Wirbelfreie Strömung: $\operatorname{rot} \vec{v} \equiv 0$

inkompressible Fl.: $\rho \equiv \text{const}$

Massenerhalt:

Dichte ρ

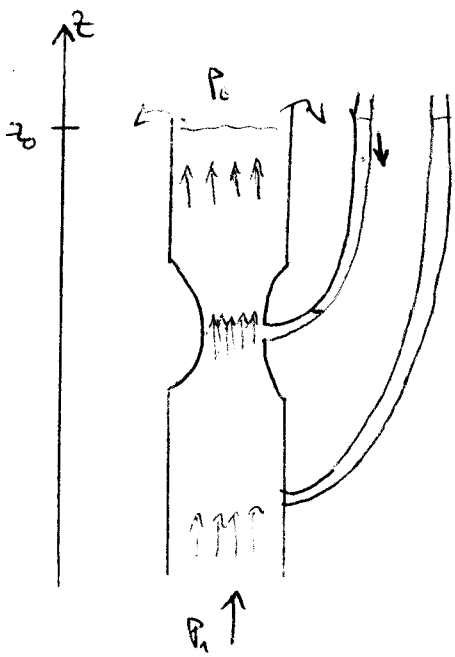
Massenstrom $\vec{j} = \rho \vec{v}$

Kontinuitätsgleichung

$$\dot{\rho} + \operatorname{div}(\rho \vec{v}) = 0 \Rightarrow \operatorname{div} \vec{v} = 0$$

Bernoulli:

$$\rho \operatorname{grad} \left(\frac{v^2}{2} + g z + \frac{p}{\rho} \right) \equiv 0 \quad \approx \quad \frac{v^2}{2} + g z + \frac{p}{\rho} = \text{const.}$$



Wasserstrahlpumpe

$$Q(z) \cdot v(z) = \text{const} = W$$

$$p(z) = \rho \frac{v^2}{2} + p_0 + \rho g z$$

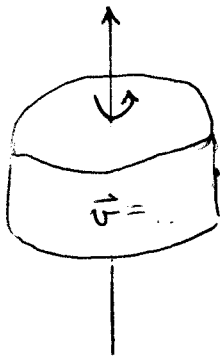
$$\frac{v^2}{2} + g z + \frac{p}{\rho} = \text{const} = \frac{v_0^2}{2} + \frac{p_0}{\rho}$$

$$p(z) = p_0 + \underbrace{\rho g z}_{< 0} + \rho (v_0^2 - v^2)$$

$$p(z) = p_0 + \rho g z + \frac{\rho}{2} \left(\frac{W^2}{Q_0^2} - \frac{W^2}{Q^2(z)} \right)$$

< 0

Zu Aufg. 9



$$\vec{v} = \dots$$

$$\frac{\partial \vec{v}}{\partial t} = 0$$

$$\rho \left(\underbrace{-\vec{v} \times \text{rot } \vec{v}}_{\stackrel{?}{=} 0} + \frac{1}{2} \text{grad } v^2 - g \text{grad } z \right) + \text{grad } p = 0$$

rotation verschwindet nicht!

$$\text{grad} \left(\frac{v^2}{2} + g z + \frac{p}{\rho} \right)$$

$$\text{oberfläche: } p = p_0$$

$$\frac{\partial \vec{v}}{\partial t} - \vec{v} \times \text{rot } \vec{v} + \frac{1}{2} \text{grad } v^2 + g \vec{z} + \frac{\text{grad } p}{\rho} = 0 \quad (1)$$

Vektor

$$\frac{\partial \rho}{\partial t} + \text{div}(\rho \vec{v}) = 0 \quad (2)$$

Skalar

4 Größen

$\rho \equiv \text{const.}$ 5. Größe

einfache Fälle:

i) wirbelfrei und quellentfrei

$$\begin{aligned} \text{rot } \vec{v} &\equiv 0 & \text{div } \vec{v} &\equiv 0 \\ \vec{v} &= \text{grad } \phi & \text{div grad } \phi &= \Delta \phi = 0 \end{aligned}$$

ii) wirbelfrei aber mit Quellen behaftet

$$\begin{aligned} \text{rot } \vec{v} &\equiv 0 \\ \vec{v} &= \text{grad } \phi & \text{div grad } \phi &= \text{Quellen} \rightarrow \Delta \phi = q(\vec{r}, t) \text{ Poissongl.} \end{aligned}$$

iii) quellentfrei aber rot. Wirbel

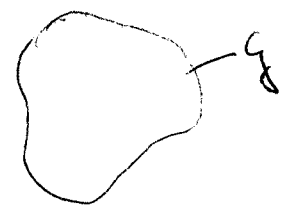
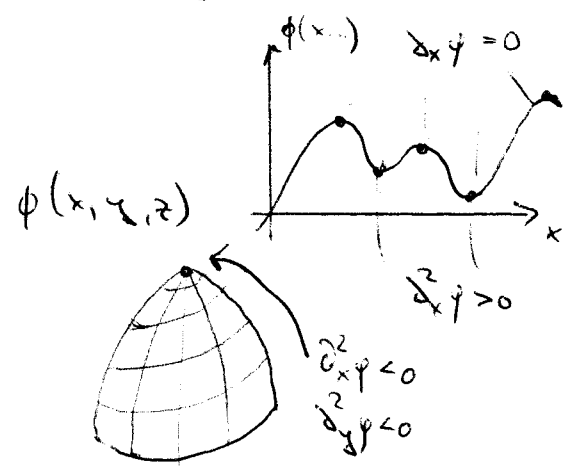
$$\vec{v} = \text{rot } \vec{a}$$

Betrachtung der Laplace - Gleichung

$$\Delta \phi = 0$$

$$\frac{\partial^2 \phi}{\partial x^2} + \frac{\partial^2 \phi}{\partial y^2} + \frac{\partial^2 \phi}{\partial z^2} = 0$$

Wenn $\phi(x, y, z)$ eine Lsg von $\Delta \phi = 0$ im Gebiet G ist, dann müssen alle Extremwerte von ϕ auf dem Rand von G liegen



Kugelsymmetrie für die Laplace-Gleichung

$$\phi = \phi(r) \quad ; \quad r = \sqrt{x^2 + y^2 + z^2}$$

$$\phi = \phi(\sqrt{x^2 + y^2 + z^2})$$

$$\frac{\partial}{\partial x} \phi(r) = \phi'(r) \cdot \frac{x}{r}$$

$$\frac{\partial^2}{\partial x^2} \phi(r) = \frac{\partial}{\partial x} \left(\phi'(r) \frac{x}{r} \right) = \phi''(r) \frac{x^2}{r^2} + \phi'(r) \cdot \frac{1}{r} - \phi'(r) \frac{x}{r^2} \cdot \frac{x}{r}$$

ebenso für y und z

$$\begin{aligned} \Rightarrow \frac{\partial^2}{\partial x^2} \phi(r) + \frac{\partial^2}{\partial y^2} \phi(r) + \frac{\partial^2}{\partial z^2} \phi(r) \\ = \phi''(r) + \frac{3}{r} \phi'(r) - \phi'(r) \frac{r^2}{r^3} \end{aligned}$$

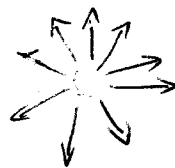
$$= \phi''(r) + \frac{2}{r} \phi'(r) \stackrel{!}{=} 0$$

$$\Leftrightarrow \phi = \frac{\beta}{r} + a$$

Zugehörige Strömung:

$$\vec{v} = \text{grad } \phi = \left(\frac{\partial \phi}{\partial r}, 0, 0 \right)$$

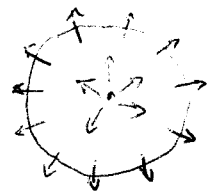
$$= \left(-\frac{\beta}{r^2}, 0, 0 \right) \quad \text{in Kugelkoordinaten}$$



Fluss durch eine Kugeloberfläche, Radius a

$$\oint_a \vec{v} \cdot d\vec{t} = -\beta \oint \frac{1}{r^2} \vec{e}_r \cdot \dots \quad ; \quad d\vec{t} = r^2 \sin\vartheta \, d\vartheta \, d\varphi \, \vec{e}_r$$

$$= -\beta \frac{1}{r^2} \vec{e}_r \cdot \vec{e}_r \cdot r^2 \int_0^\pi d\vartheta \sin\vartheta \int_0^{2\pi} d\varphi = -4\pi\beta \quad \text{unabhängig vom Radius!}$$



\Rightarrow Quellenfreiheit ist tatsächlich gegeben

$\text{div } \vec{v} = 0$ im ganzen Raum außer bei $r=0$

\rightarrow Felderzeugung durch Punkt

$$\Delta \phi = \operatorname{div} \vec{v} = \begin{cases} 0 & \text{für } r \neq 0 \\ \infty & \text{für } r = 0 \end{cases} \quad \approx: \delta^{(3)}(\vec{r} - \vec{0})$$

$$\left(\Delta \frac{1}{r} \right) = \rho = \operatorname{div} \operatorname{grad} \frac{1}{r}$$

$$\int e \, dV = \int \operatorname{div} \vec{v} = \int \vec{v} \cdot d\vec{f} = -4\pi \quad \text{mit } \beta = 1$$

Kugel mit Radius a

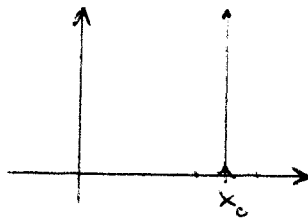
\Rightarrow e hat die Eigenschaft, dass das Volumenintegral

$$\int_{\mathcal{G}} e \, dV = \begin{cases} 0, & \text{wenn der Punkt } r=0 \text{ nicht in } \mathcal{G} \text{ liegt} \\ -4\pi, & \text{wenn " " " in } \mathcal{G} \text{ liegt} \end{cases}$$

$$\Delta \frac{1}{|\vec{r} - \vec{r}_0|} = -4\pi \delta^{(3)}(\vec{r} - \vec{r}_0)$$

Die Delta Funktion

$$\delta^{(1)}(x - x_0)$$



$$\int_{-\infty}^{+\infty} \delta(x - x_0) \, dx = 1 = \int_{x_0 - \epsilon}^{x_0 + \epsilon} \delta(x - x_0) \, dx$$

$$\delta(x - x_0) \xrightarrow{\lambda \rightarrow \infty} \sqrt{\frac{\lambda}{\pi}} e^{-\lambda(x - x_0)^2}$$

Familie der Gauß-Glockenkurve

als Beispiel für eine Funktion, bei der das Integral 1 wird

Exkurs: Gaußsches Integral

$$\sqrt{\frac{\lambda}{\pi}} \int_{-\infty}^{+\infty} e^{-\lambda(x-x_0)^2} dx$$

$$\sqrt{\lambda}(x-x_0) = y$$

$$\sqrt{\lambda} dx = dy$$

$$\rightarrow \underbrace{\frac{1}{\sqrt{\lambda}} \int_{-\infty}^{+\infty} dy e^{-y^2}}_I$$

$$I^2 = \left(\int_{-\infty}^{+\infty} dy e^{-y^2} \right)^2 = \int_{-\infty}^{+\infty} dy e^{-y^2} \int_{-\infty}^{+\infty} dx e^{-x^2}$$

$$= \int_{-\infty}^{+\infty} dx dy e^{-(x^2+y^2)} = \int_0^{2\pi} dy \int_0^{\infty} r dr e^{-r^2}$$

$$\begin{array}{ccc} \downarrow & & \downarrow \\ \int_0^{2\pi} \int_0^{\infty} r dr dy & & e^{-r^2} \end{array}$$

$$I^2 = 2\pi \left. \frac{-e^{-r^2}}{2} \right|_0^{\infty} = \pi \quad \Rightarrow \quad I = \sqrt{\pi}$$

Kandidat für Quell- und Wirbelfreie Strömung

$$\vec{v} = \text{grad } \phi$$

$\phi = \sum_j \frac{c_j}{|\vec{r} - \vec{r}_j|}$; G sei ein Gebiet, in dem keines der \vec{r}_j liegt, dann ist \vec{v} in G quell- und wirbelfrei

$$\leadsto \text{rot } \vec{v} = 0 \quad \text{div } \vec{v} = 0 \quad \text{in } G$$

Stationär (d.h. $\frac{\partial}{\partial t} \phi = 0$)

Euler:

$$\text{grad} \left(\frac{v^2}{2} + gz + \frac{p}{\rho} \right) = 0$$

Kontinuitätsgleichung:

$$\text{div } \vec{v} = 0$$

$$\frac{v^2}{2} + gz + \frac{p}{\rho} = \frac{p_0}{\rho}$$

Oberfläche: $p = \tilde{p}_0$

$$z = \frac{p_0 - \tilde{p}_0}{\rho g} - \frac{v^2(x,y,z)}{2g} \quad \leadsto z = z(x,y) \text{ beschreibt die Oberfläche}$$

Rotationsfreie, aber nicht Quellfreie Strömung

$$\text{rot } \vec{v} = 0 \quad \text{div } \vec{v} = \frac{k \sin kr}{r} \quad (\text{Beispiel})$$

$$\vec{v} = \text{grad } \phi$$

$$\text{div grad } \phi = \frac{k^2 \sin kr}{r}$$

$$\phi = \phi(r)$$

$$\Delta \phi = \phi'' + \frac{2}{r} \phi' = \frac{k^2 \sin kr}{r}$$

$$\begin{aligned} \text{raten: } \phi &= -\frac{\sin kr}{r} \\ -\phi' &= k \cdot \frac{\cos kr}{r} - \frac{\sin kr}{r^2} \\ -\phi'' &= -k^2 \frac{\sin kr}{r} - 2k \frac{\cos kr}{r^2} + \frac{2 \sin kr}{r^3} \end{aligned}$$

(✓)

$$\frac{d\vec{v}}{dt} + \text{grad}(\phi(\vec{v})) + \frac{1}{\rho} \text{grad} p = 0 \quad ; \quad \frac{d\vec{v}}{dt} = \frac{\partial \vec{v}}{\partial t} + (\vec{v} \cdot \text{grad}) \vec{v}$$

Flüssigkeiten: $\rho \approx \text{const}$

$$\frac{1}{\rho} \text{grad} p = \text{grad} \frac{p}{\rho}$$

Gase: $\rho \neq \text{const}$

Es sei $p = p(\rho)$ bzw. $\rho = \rho(p)$

gilt: i) wenn $T \approx \text{const}$

ii) wenn das Gas adiabatisch
"isentropische" Prozesse

ideales Gas: $p \sim \rho^k$; $k = \frac{c_p}{c_v} = \frac{5}{3}, \frac{7}{5}$

$$p = p(\rho) \quad \text{grad}(p) = \left(\frac{\partial p}{\partial x}, \dots, \dots \right)$$

$$= \left(p' \frac{\partial \rho}{\partial x}, \dots, \dots \right) = p'(\rho) \cdot \text{grad} \rho$$

$$\frac{1}{\rho} \text{grad} p = \frac{p'(\rho)}{\rho} \cdot \text{grad} \rho$$

(Enthalpie)

$$w(\rho) : \text{grad} w(\rho) = w'(\rho) \text{grad} \rho$$

Wähle $w(\rho)$ so, dass $w'(\rho) = \frac{p'(\rho)}{\rho}$ ist:

$$\text{Also } \frac{dw}{d\rho} = \frac{1}{\rho} \frac{dp}{d\rho} \Rightarrow w = \int \frac{d\rho}{\rho} p'(\rho)$$

Z.B.:

$$i) p = A \rho \sim \int \frac{d\rho}{\rho} \quad w = A \int \frac{d\rho}{\rho} = A \cdot \log \rho$$

$$ii) p = A \rho^k \sim \int \frac{d\rho}{\rho^k} \quad w = A k \int \rho^{k-2} d\rho = \frac{k}{k-1} \rho^{k-1}$$

$$w = \frac{A \rho^k}{k}$$

$$w = A \cdot \frac{k}{k-1} \rho^{k-1}$$

$$\text{grad} w = \frac{p'}{\rho} \text{grad} \rho = \frac{1}{\rho} \text{grad} p$$

$$\frac{d\vec{v}}{dt} + \text{grad}(\phi + w) = 0$$

$$i) w = \log \rho$$

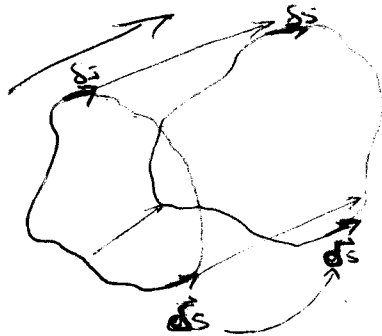
$$ii) w = A \cdot \frac{k}{k-1} \rho^{k-1} \sim T$$

$$= c_p \cdot T$$

Thompson: Erhaltung der Zirkulation

wenn $\frac{d\vec{v}}{dt} = \text{grad}(\text{irgendwas})$, dann ist

die Zirkulation $\Gamma = \oint \vec{v} \cdot d\vec{s}$ zeitlich konstant!

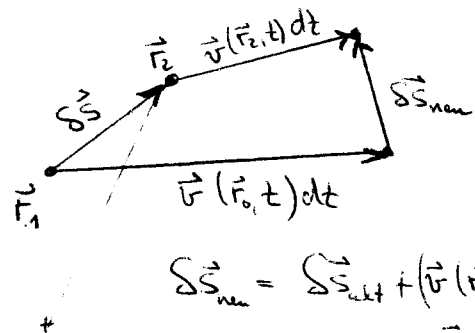


die Kurve schwimmt mit der Strömung mit und verändert sich dabei.

Die Wirbel werden mitgenommen!

$$\frac{d}{dt} \Gamma = \oint \frac{d\vec{v}}{dt} \cdot \delta\vec{s} + \oint \vec{v} \cdot \frac{d}{dt} \delta\vec{s}$$

$$= \oint \frac{d\vec{v}}{dt} \cdot \delta\vec{s} + \oint \vec{v} \cdot (\underbrace{\vec{v}(\vec{r}, t) - \vec{v}(\vec{r} + \delta\vec{s}, t)}_{-\frac{\delta\vec{v}}{\delta\vec{r}} \delta\vec{s}})$$



$$\delta\vec{s}_{\text{neu}} = \delta\vec{s}_{\text{alt}} + \vec{v}(\vec{r}, t) dt - \vec{v}(\vec{r}, t) dt$$

$$\frac{d}{dt} \Gamma = \oint \frac{d\vec{v}}{dt} \cdot \delta\vec{s} - \oint \vec{v} \cdot d\vec{v}$$

$$= \underbrace{\int \text{rot} \left(\frac{d\vec{v}}{dt} \right) \cdot \delta\vec{s}}_{\text{rot grad} = 0} - \frac{1}{2} \oint d(v^2)$$

$$0 = -\frac{1}{2} v^2 \left(\begin{array}{l} \text{obere für } \Gamma \\ \text{untere für } \Gamma \end{array} \right)$$

$$\frac{d}{dt} \Gamma = 0$$

Impulserhaltung in Strömungen

$$\rho, \vec{j} \text{ erhalten} \Rightarrow \dot{\rho} + \operatorname{div} \vec{j} = 0$$

Impuls ist erhalten!

Dichte der x-Komponente des Impulses sei $\rho^{(x)}$

$$\frac{d\vec{v}}{dt} + \operatorname{grad}(\phi + w) = 0 \quad \dot{\rho} + \operatorname{div}(\rho \vec{v}) = 0$$

Dichte des Impulsstromes "der Sorte" $\rho^{(x)}$ sein $\vec{j}^{(x)}$

$$\rho^{(x)} = \rho v_x$$

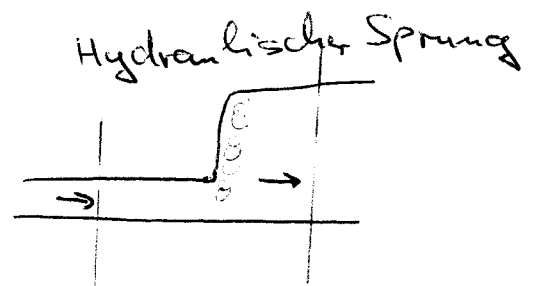
$$\frac{d}{dt}(\rho v_x) = -\operatorname{div} \vec{j}^{(x)}$$

$$\begin{aligned} \frac{d}{dt}(\rho v_x) &= \dot{\rho} v_x + \rho \cdot \frac{dv_x}{dt} \\ &= -v_x \operatorname{div}(\rho \vec{v}) + \rho \left(\frac{dv_x}{dt} - (\vec{v} \cdot \operatorname{grad}) v_x \right) \\ &= -v_x \operatorname{div}(\rho \vec{v}) + \rho (-\operatorname{grad}(\phi + w)) \\ &\quad - \rho (\vec{v} \cdot \operatorname{grad}) v_x \stackrel{?}{=} -\operatorname{div}(\dots) \\ &= -v_x (\partial_x(\rho v_x) + \partial_y(\rho v_y) + \partial_z(\rho v_z)) \\ &\quad - \rho (v_x \partial_x v_x + v_y \partial_y v_x + v_z \partial_z v_x) \\ &\quad + \rho \partial_x(\phi + w) \\ &= \partial_x(\rho v_x^2) + \partial_y(\rho v_x v_y) + \partial_z(\rho v_x v_z) \\ &\quad + \partial_x(\rho) \end{aligned}$$

Vorschlag $j_i^{(x)} = \rho v_i v_x + p \delta_{i1}$

$$\partial_i j_i^{(x)} = \sum_i \partial_i (\rho v_i v_x) + \partial_x p$$

$$j_i^{(x)} = \rho v_i v_x + p \delta_{i1}$$



... Impulserhaltung

Theo 12.11.04

Impulsdichte: $e^{(i)} = \rho v_i$

gesucht: Impulsstromdichte: j_{ik} sodass

$$\partial_t e^{(i)} + \underbrace{\partial_k j_{ik}}_{\text{Summe}} = 0$$

$$\partial_t e^{(i)} = \partial_t (\rho v_i) = \dot{\rho} v_i + \rho \partial_t v_i$$

$$= -v_i \partial_k (\rho v_k) - (\rho v_k) \partial_k v_i - \partial_i (\rho + \rho \phi)$$

(Produktregel)

$$= -\partial_k (\rho v_i v_k)$$

$$= -\partial_k [\rho v_i v_k + \delta_{ik} (\rho + \rho \phi)]$$

$$\leadsto j_{ik} = \rho v_i v_k + \delta_{ik} (\rho + \rho \phi)$$

Massenerhaltung

$$\dot{\rho} + \operatorname{div} (\rho \vec{v}) = 0$$

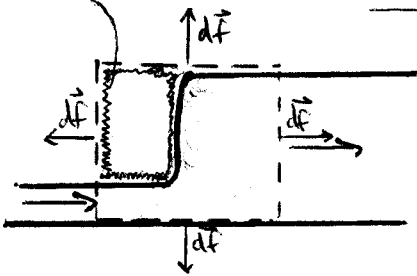
entweder $\rho \equiv \text{const}$
oder $\phi \equiv 0$

Euler:

$$\frac{dv_i}{dt} = \partial_t v_i + \underbrace{v_k \partial_k v_i}_{\text{Summe}} = -\partial_i (\rho + \rho \phi)$$

außerhalb: $\partial_t \phi$

$\rho = 0$
 $p = \text{Luftdruck}$



Hydraulischer Sprung

$$e^{(i)} + \operatorname{div} \vec{j}_i = 0$$

$$\text{Gauss: } \int_V (e^{(i)} + \operatorname{div} \vec{j}_i) dV = 0$$

$$\frac{d}{dt} \underbrace{\int_V e^{(i)} dV}_0 + \int_{\sigma} \vec{j}_i \cdot d\vec{f} = 0$$

Analytische Funktionen im Komplexen

$$w = f(z)$$

f ist ableitbar

nicht analytisch z.B. $|z|$, $\operatorname{Re}(z)$, $\operatorname{Im}(z)$

f lässt sich Taylor-entwickeln

Bsp.:

$$w = z^2$$

$$z = x + iy \quad x, y, \varphi, \psi \text{ reell}$$

$$w = \varphi + i\psi$$

$$\varphi + i\psi = (x + iy)^2 = x^2 - y^2 + 2ixy$$

$$\varphi = x^2 - y^2; \quad \psi = 2xy$$

$$\Delta\varphi = 2 - 2 = 0$$

$$\Delta\psi = 0 + 0$$

Zur Erinnerung:

$$\operatorname{rot} \vec{v} = 0 \quad \approx \quad \vec{v} = \operatorname{grad} \phi$$

$$\operatorname{div} \vec{v} = 0$$

$$\approx \operatorname{div} \operatorname{grad} \phi = \Delta\phi = 0$$

das gilt für jede analytische Funktion

Funktion genügt immer der Laplace-Gleichung!

$$w = \sqrt{z}$$

$$(\varphi + i\psi)^2 = x + iy$$

$$\varphi^2 - \psi^2 = x; \quad 2\varphi\psi = y$$

$$\psi = \frac{y}{2\varphi};$$

$$\boxed{\varphi^2 - \frac{y^2}{4\varphi^2} = x}$$

$$\boxed{\frac{y^2}{4\varphi^2} - \psi^2 = x}$$

$$\varphi^4 - x\varphi^2 - \frac{y^2}{4} = 0$$

$$\varphi = \sqrt{\frac{x}{2} + \frac{1}{2}\sqrt{x^2 + y^2}}$$

... ψ analog



$$w = \sin(z)$$

$$\begin{aligned}\phi + i\psi &= \sin(x+iy) \\ &= \sin(x) \cosh(y) + i \cos(x) \sinh(y)\end{aligned}$$

$$\phi = \sin x \cosh y$$

$$\psi = \cos x \sinh y$$

$$w = \log(z)$$

$$e^{\phi+i\psi} = x+iy$$

$$e^{\phi} \cos \psi = x$$

$$e^{\phi} \sin \psi = y$$

$$\phi = \frac{1}{2} \log(x^2 + y^2)$$

$$\psi = \text{Arctan}\left(\frac{y}{x}\right)$$

allgemein:

$$w = f(z)$$

$$\phi + i\psi = f(x+iy)$$

$$\partial_x \phi + i \partial_x \psi = f'(x+iy)$$

$$\partial_y \phi + i \partial_y \psi = i f'(x+iy) = i(\partial_x \phi + i \partial_x \psi)$$

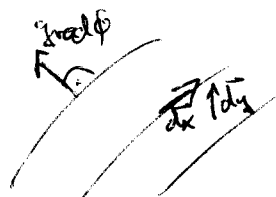
$$\begin{cases} \partial_y \phi = -\partial_x \psi \\ \partial_y \psi = \partial_x \phi \end{cases}$$

Cauchy-Riemann Diff. Gl.

$$\partial_y^2 \phi = -\partial_y \partial_x \psi = -\partial_x^2 \phi \quad \Delta \phi = 0$$

ϕ sei ein Geschwindigkeitspotential: $\vec{v} = \text{grad } \phi = (\partial_x \phi, \partial_y \phi)$

Vergleiche mit Kontour-Linien $\phi = \text{const}$


$$0 = d\phi = \partial_x \phi dx + \partial_y \phi dy \quad \neq = (\partial_x \phi, \partial_y \phi) \cdot (dx, dy)$$

Was ist mit grad ψ ?

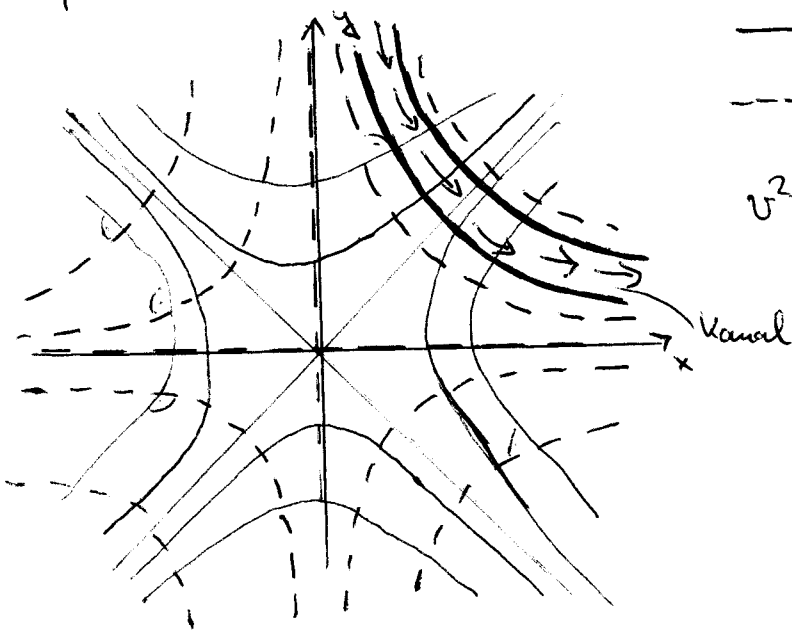
$$\text{grad } \psi = (\partial_x \psi, \partial_y \psi) = (-\partial_y \phi, \partial_x \phi)$$

$$\text{grad } \psi \cdot \text{grad } \phi = 0$$

wenn $\vec{v} = \text{grad } \phi$, dann sind $\psi = \text{const}$ die Stromlinien

Beispiel: $\omega = z^2$

$$\phi = x^2 + y^2 \quad \vec{v} = z(x\mathbf{i} - y\mathbf{j})$$



$$\text{--- } \phi = \text{const}$$

$$\text{--- } \psi = \text{const}$$

$$v^2 = 4(x^2 + y^2)$$

Kanal:

$$\text{Bernoulli: } \frac{v^2}{2} + \rho g z + p = \text{const}$$

$$\text{Oberfläche: } p = \text{const}$$

$$z = \frac{\Delta P}{\rho} - \frac{z(x^2 + y^2)}{\rho}$$

Variation von z muss klein bleiben!
(Näherung)

Näherung ist unkontrolliert

Schwerewellen

$$\omega = \alpha z + \beta \sin(kz) \quad \text{mit } \alpha, \beta, k \text{ reell}$$

$$\phi = \alpha x + \beta \sin(kx) \cdot \cosh(ky)$$

$$\psi = \alpha y + \beta \cos(kx) \cdot \sinh(ky)$$

$$\vec{v} = \text{grad } \phi = (\alpha + \beta k \cos(kx) \cosh(ky), \beta k \sin(kx) \sinh(ky))$$

Stromlinien: $\psi = 0$

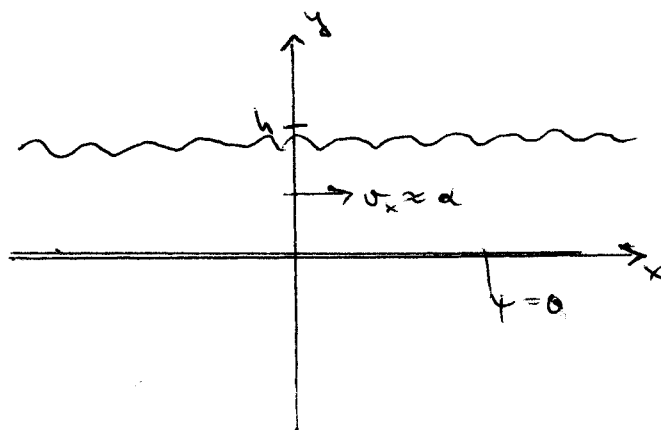
$$\beta \ll 1 \quad \psi = h \cdot \alpha \quad y = h + \eta$$

$$0 = \alpha \eta + \beta \cos kx \cdot \sinh k(h + \eta)$$

$$= \alpha \eta + \beta \cos kx \cdot (\sinh(kh) + \eta \cdot \cosh(kh) + \dots)$$

$$\eta = -\frac{\beta}{\alpha} \cos(kx) \sinh(kh) / \left(1 - \frac{\beta}{\alpha} \cosh(kx) \cosh(kh)\right)$$

$$\eta \approx -\frac{\beta}{\alpha} \cos kx \sinh(kh)$$

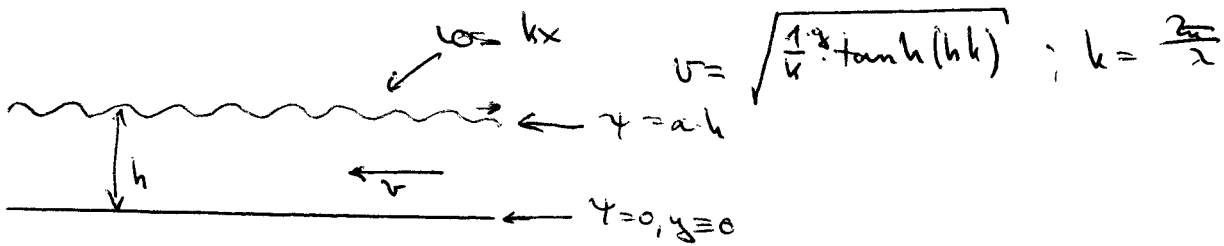


...

$$v = \sqrt{g \cdot \tanh(k \cdot h)} \quad ; \quad k = \frac{2\pi}{\lambda} \text{ Wellenzahl}$$

$$\rightarrow \begin{cases} \sqrt{gh} & kh \ll 1 \text{ sehr flaches Wasser} \rightarrow \text{hydr. Sprung} \\ \sqrt{\frac{g}{k}} & kh \gg 1 \text{ tiefes Wasser} \end{cases}$$

Wasserwellen



$$\omega = \alpha z + \beta \sin(kz) = \phi + i\psi$$

$$\vec{v} = \text{grad } \phi, \quad \psi = \text{const} \Rightarrow \text{Stromlinien}$$

$$\phi = \alpha x + \beta \sin kx \cosh ky$$

$$\psi = \alpha y + \beta \cos kx \sinh ky$$

Stromlinie für $\psi = \alpha \cdot h$ (const)

$$\alpha h = \alpha y + \beta \cos(kx) \sinh(ky)$$

Kleine Amplituden: $\beta \ll 1, \beta \sinh(kh) \ll 1$

Ansatz: $y = h + \eta; \eta \ll 1$

$$\alpha h = \alpha h + \alpha \eta + \beta \cos(kx) \cdot \sinh(kh + k\eta)$$

$$\sinh(kh + k\eta) \approx \sinh(kh) + k \cosh(kh) \cdot \eta$$

$$\begin{aligned} f(a+\epsilon) &= f(a) + f'(a) \cdot \epsilon \\ &\text{(Taylor)} \end{aligned}$$

$$0 = \alpha \eta + \beta \sinh(kh) \cos(kx) + \beta k^2 \cosh(kh) \cdot \eta \cdot \cos(kx)$$

$$\Leftrightarrow \eta = \frac{-\beta \sinh(kh) \cdot \cos(kx)}{\alpha + \beta k^2 \cosh(kh)} \approx -\frac{\beta}{\alpha} \sinh(kh) \cdot \cos(kx)$$

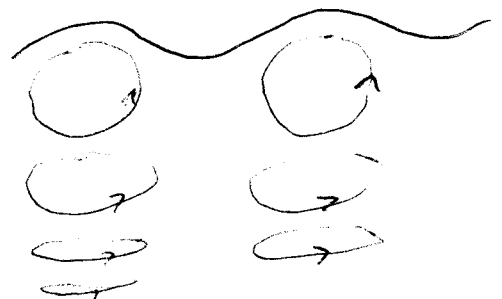
beschreibt die Oberfläche

Druck?

$$y = h - \frac{\beta}{\alpha} \sinh kh \cdot \cos kx$$

$$\vec{v} = \text{grad } \phi = \left(\alpha + \beta k \cosh(y) \cosh(ky), \beta k \sin(kx) \frac{\sinh(ky)}{\cosh(ky)} \right)$$

=>



Bernoulli: $\frac{v^2}{2} + \frac{p}{\rho} + gzy = \text{const}$ → const(?) auf $y = h + \eta$???) für Druck

$$\frac{\beta^2}{2} = \frac{\alpha^2}{2} + \alpha \beta k \cosh(\alpha x) \cosh(ky) + \frac{p}{\rho} + g \cdot h + g \cdot \frac{-\beta}{\alpha} \sinh(kh)$$

$\cdot \cos(kx) \stackrel{?}{=} \text{const}$

Umformungen:

$$\cosh(ky) = \cosh(kh + k \cdot \eta) \approx \cosh(k\eta + \alpha \eta)$$

const ist erfüllt, wenn $\alpha \beta k \cosh(kh) = g \frac{\beta}{\alpha} \sinh(kh)$

$$\leadsto \alpha^2 = \frac{g}{k} \tanh kh$$

$$v = \sqrt{\frac{g}{k} \tanh(kh)} \rightarrow \begin{cases} \sqrt{g \cdot h} & k \cdot h \ll 1 \quad \text{flaches Wasser} \\ \sqrt{\frac{g}{k}} = \sqrt{\frac{g \lambda}{2\pi}} & k \cdot h \gg 1 \quad \text{tiefes Wasser} \end{cases}$$

Schall

Euler-Gleichung: $\rho \frac{d\vec{v}}{dt} + \text{grad } p = 0$ (ohne Gravitation)

kont.: $\frac{\partial \rho}{\partial t} + \text{div}(\rho \vec{v}) = 0$ Störbel amten müssen bedient werden!

ideale Gasgleichung $p = \frac{RT}{\mu} \rho$ $v_{\text{mol}} = \frac{\mu}{\rho} \Leftrightarrow \rho = \frac{\mu}{v_{\text{mol}}}$

$$u = c_v \cdot T$$

1. Hauptsatz $du = T \cdot ds - p \cdot dv_{\text{mol}} = T ds - \mu p d\left(\frac{1}{\rho}\right)$

wir fordern $ds \stackrel{!}{=} 0$, sinnvoll, da Prozess isentropisch \rightarrow reversibel

$$\rightarrow du = -\mu p d\left(\frac{1}{\rho}\right) = \mu \frac{p}{\rho^2} d\rho$$

$$c_v dT = \mu \frac{p}{\rho^2} d\rho$$

$$\frac{\mu}{R} c_v d(p/\rho) = \mu \frac{p}{\rho^2} d\rho$$

$$\Leftrightarrow \frac{c_v}{R} \left(\frac{dp}{d\rho} - p \frac{d\rho}{\rho^2} \right) = p \frac{d\rho}{\rho^2}$$

$$\Leftrightarrow c_v \left(\frac{dp}{p} - \frac{d\rho}{\rho} \right) = R \cdot \frac{d\rho}{\rho} = (c_p - c_v) \frac{d\rho}{\rho}$$

$$\kappa := \frac{c_p}{c_v}$$

$$\Leftrightarrow c_v \cdot \frac{dp}{p} = c_p \frac{d\rho}{\rho} \Rightarrow \frac{dp}{p} = \kappa \frac{d\rho}{\rho}$$

Einschub Thermodynamik (für später)



Enthalpie $h := u + p v = u + \mu p \frac{1}{\rho}$

$$\left| \frac{dh}{h} = \frac{du}{u} + \mu \frac{d\rho}{\rho} - \mu \frac{p}{\rho^2} d\rho = \mu \frac{dp}{p} \right| \quad \left| \frac{dh}{h} = \frac{\mu}{c_p} \frac{dp}{dT} = \frac{R}{c_p} \frac{dp}{p} = \frac{c_p - R}{c_p} \frac{dp}{p} \right|$$

$$h = c_v T + RT = (c_v + R) T = c_p T$$

Kleine Amplituden!

\vec{v} sei klein, Glieder höher als 1. Ordnung werden vernachlässigt

$$p = p_0 + \delta p, \quad \delta p \text{ sei klein}$$

$$e = e_0 + \delta e, \quad \delta e \text{ sei klein}$$

$$(e_0 + \delta e) \frac{d\vec{v}}{dt} + \text{grad } \delta p = e_0 \left(\frac{\partial \vec{v}}{\partial t} + (\vec{v} \cdot \text{grad}) \vec{v} \right) + \text{grad } \delta p = 0$$

$$\Rightarrow e_0 \frac{\partial \vec{v}}{\partial t} + \text{grad } \delta p = 0 \quad (1)$$

$$\frac{\partial \delta e}{\partial t} + e_0 \cdot \text{div } \vec{v} + e_0 \cdot \text{div } \vec{v} + \vec{v} \cdot \text{grad } e = 0$$

$$\Rightarrow \frac{\partial \delta e}{\partial t} + e_0 \cdot \text{div } \vec{v} = 0 \quad (2)$$

$$\frac{\partial \delta e}{\partial t} = \frac{e_0}{k p_0} \frac{\partial \delta p}{\partial t}$$

$$\left. \begin{aligned} \frac{dp}{p} &= k \frac{de}{e} \\ e dp &= k p de \\ e_0 d\delta p &= k p_0 \frac{d\delta e}{dt} \end{aligned} \right|$$

$$\Rightarrow \frac{1}{k p_0} \cdot \frac{\partial}{\partial t} \delta p + \text{div } (\vec{v}) = 0 \quad (3)$$

$$\text{div } (1) - e_0 \cdot \frac{\partial}{\partial t} (3)$$

$$\Rightarrow \text{div grad } \delta p - \frac{e_0}{k p_0} \frac{\partial^2}{\partial t^2} \delta p = 0$$

$$\Rightarrow \frac{\partial^2}{\partial t^2} \delta p - c^2 \Delta p = 0$$

Wellengleichung

$$\frac{\partial^2}{\partial t^2} v_i - c^2 \Delta v_i = 0$$

Wellengleichung

Theo 19.11.04

$$\ddot{p} - c^2 \Delta p = 0$$

$$\text{Es sei } p = p(x, t)$$

$$\Rightarrow \text{Lösung: } p(x, t) = f(x - ct) + g(x + ct)$$

Probe:

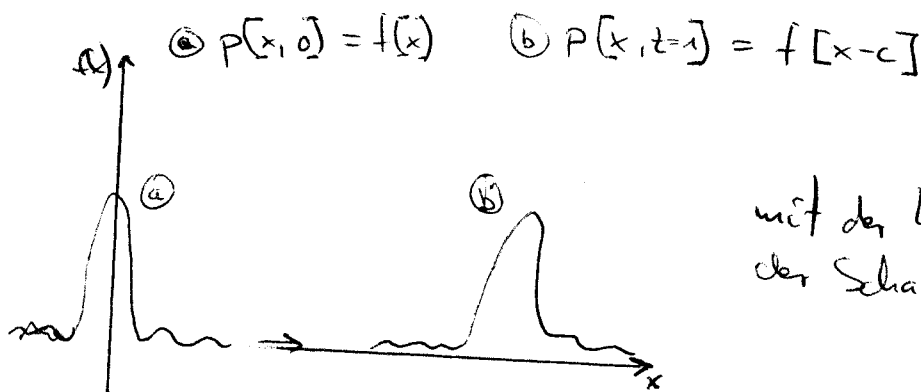
$$\ddot{p}(x, t) - c^2 p''(x, t) = 0 \quad \text{in einer Dimension}$$

$$\dot{p} = -c \cdot f'(x - ct) + c \cdot g'(x + ct)$$

$$\ddot{p} = c^2 f''(x - ct) + c^2 g''(x + ct)$$

$$p'' = f''(x - ct) + g''(x + ct)$$

$$\ddot{p} - c^2 p'' = 0 \quad (\checkmark)$$



mit der Linearisierung läuft
der Schall unverfälscht weiter

$$c^2 = \frac{\kappa R T_0}{\mu}$$

Schallgeschwindigkeit leitet sich aus den
thermodyn. Eigenschaften der Luft ab.

Es sei $p[x,t] = A \cdot \sin[k(x-ct)] = A \cdot \sin[kx - \omega t]$

Ampl.
Wellenzahl
Kreisfrequ.

$\Rightarrow p[x,t] = A \cdot e^{ikx - i\omega t}$ "Ebene Welle"

\uparrow Komplex (ent. Phasenverh.)

$p[\vec{r},t] = A \cdot e^{i\vec{k} \cdot \vec{r} - i\omega t}$; $\vec{k} = (k_x, k_y, k_z)$ Wellenzahlvektor

\rightarrow Wellennormale

$\vec{r} \rightarrow \vec{r} + \vec{a}$

$p[\vec{r} + \vec{a}, t] = p[\vec{r}, t]$ wenn $\vec{k} \cdot \vec{a} = 0$ (Bewegung in der Wellenfront)

akustische Verschiebungen beim Donner

• Euler: $\rho(\dot{v} + vv') + p' = 0$ (in einer Dim.) $\Rightarrow \dot{v} + vv' + \frac{p'}{\rho} = 0$

• Kont.: $\dot{\rho} + \rho v' + \rho' v = 0$ $\Rightarrow \frac{\dot{\rho}}{\rho} + v' + v \frac{\rho'}{\rho} = 0$

$\Rightarrow \frac{p'}{\rho} = \frac{1}{\mu} h'$ (Enthalpie) ; $\frac{de}{\rho} = c_v \cdot dh \cdot \frac{1}{R h}$

$\frac{\dot{\rho}}{\rho} = c_v \cdot h' \cdot \frac{1}{R h} \frac{\rho'}{\rho} = c_v h' \cdot \frac{1}{R \cdot h}$

\Rightarrow

$$\begin{aligned} \dot{v} + vv' + \frac{1}{\mu} h' &= 0 \\ c_v h' + v c_v h' + v' &= 0 \end{aligned}$$

partiell, nicht linear \Rightarrow schwer
 aber: ~~unabh.~~ Variable kommen nicht direkt vor (x,t)

Vermutung:

~~$v = v(h)$~~ $h = H(v) \Rightarrow h' = H' \dot{v}, h' = H' v'$

$\Rightarrow \left. \begin{aligned} \dot{v} + vv' + \frac{1}{\mu} H' v' &= 0 \\ \frac{1}{R h} c_v H' (\dot{v} + vv') + v' &= 0 \end{aligned} \right\} \Rightarrow \frac{1}{R h \mu} H'^2 v' = v' \quad ; v' \neq 0$

$\Rightarrow H'^2 = \frac{\mu R H}{c_v} \quad \frac{H'}{\sqrt{H}} = \sqrt{\frac{\mu R}{c_v}}$

$$2\sqrt{H'} = \sqrt{\frac{\mu R}{c v}} v + \beta$$

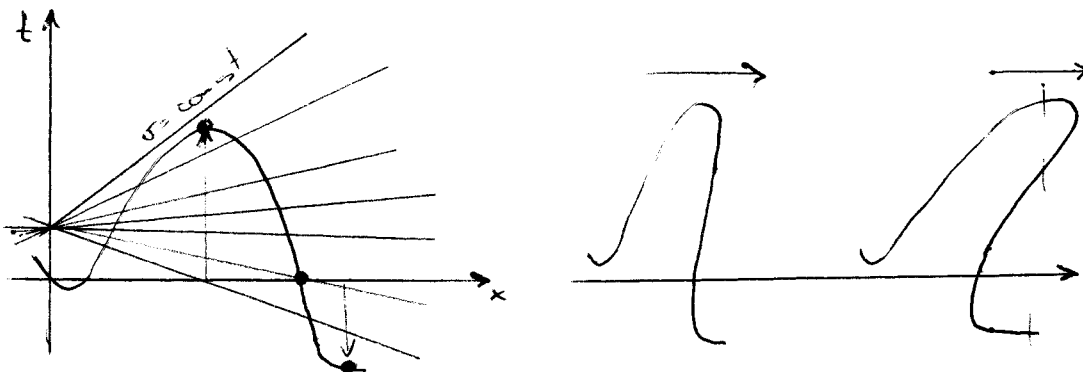
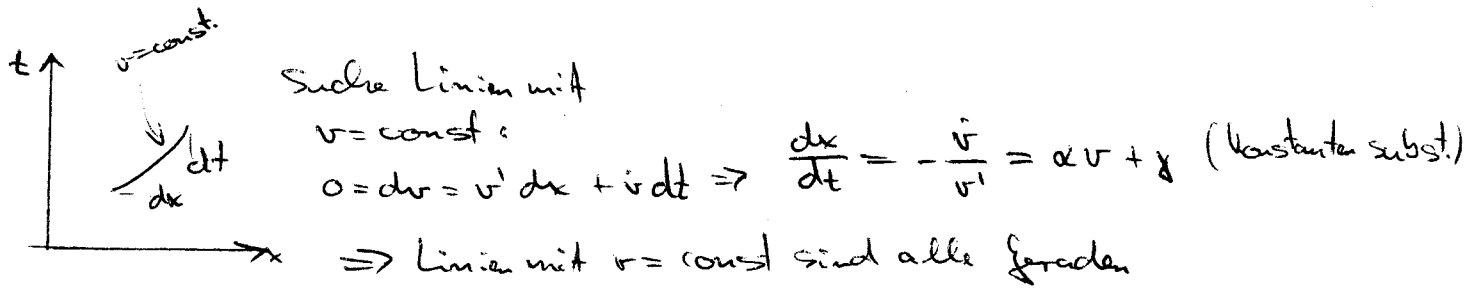
$$c_p T_0 = H(v=0) \approx \beta = 2\sqrt{c_p T_0}$$

$$h = H' = \left(\sqrt{\frac{\mu \cdot R}{4c v}} v + \sqrt{c_p T_0} \right)^2$$

(Aus Gleichung oben:)

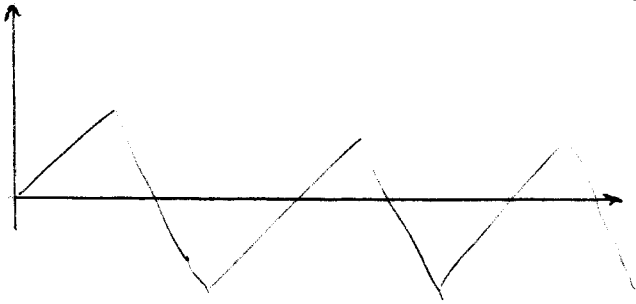
$$\ddot{v} + v v' + \frac{2}{\mu} \sqrt{\frac{\mu R}{4c v}} \left(\sqrt{\frac{\mu \cdot R}{4c v}} v + \sqrt{c_p T_0} \right) v' = 0 \Rightarrow h \text{ wurde eliminiert}$$

gesucht: $v = v[x, t]$



Welle müsste eigentlich überkippen (aber math nicht möglich)
als Grenzfall wird der Abfall senkrecht \rightarrow Stoßwelle
überkippen wird durch dann nicht mehr vernachlässigbare Reibung
verhindert

Fourierintegrale



⇒ Fourier-Reihe
 $\cos(\pi n x), \sin(\pi n x)$

$c = \sqrt{\frac{g}{k}}$, $k = \frac{2\pi}{\lambda} \Leftrightarrow$ Dispersion: Wellengeschw. hängt von Wellenlänge ab



Wellenpaket

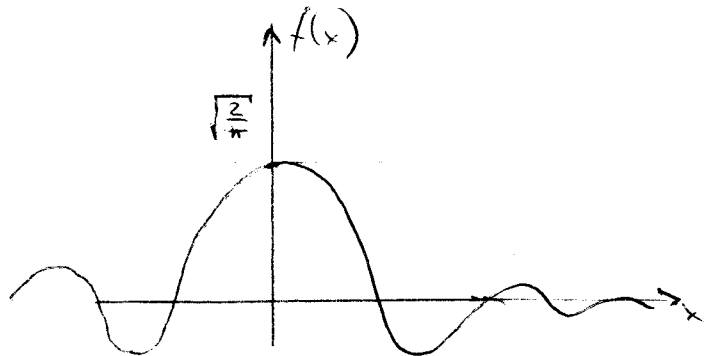
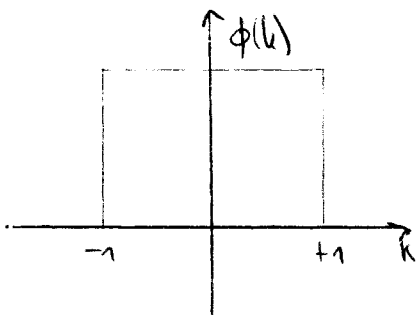
Wellenpaket passiert das Medium nicht unbeschadet

Fourierintegral: $f(x) = \frac{1}{\sqrt{2\pi}} \int_{-\infty}^{+\infty} \phi(k) e^{ikx} dk$

$$\phi(k) = \begin{cases} 1, & \text{wenn } |k| \leq 1 \\ 0, & \text{sonst} \end{cases}$$

$$f(x) = \frac{1}{\sqrt{2\pi}} \int_{-1}^1 e^{ikx} dk = \frac{1}{\sqrt{2\pi}} \frac{e^{ikx}}{ikx} \Big|_{-1}^1 = \frac{1}{\sqrt{2\pi}} \frac{e^{ix} - e^{-ix}}{ix}$$

$$= \sqrt{\frac{2}{\pi}} \frac{\sin x}{x}$$



je breiter $\phi(k)$, desto schmaler $f(x) \Rightarrow$ "reziprokes Gitter"

umgekehrt

$$\phi(k) = \frac{1}{\sqrt{2\pi}} \int_{-\infty}^{+\infty} f(x) e^{-ikx} dx$$

$$f(x) \stackrel{?}{=} \left(\frac{1}{\sqrt{2\pi}}\right)^2 \int_{-\infty}^{\infty} dk e^{ikx} f(y) e^{-iky} dy$$

$$\int_{-\infty}^{+\infty} e^{ik(x-y)} dk \stackrel{?}{=} \int_{-\infty}^{+\infty} dk (\cos k(x-y) + i \sin k(x-y))$$

$$\rightarrow \int_{-\infty}^{+\infty} dk \cos k(x-y)$$

$$\rightarrow 2 \int_0^{\infty} dk \cos k(x-y)$$

$$2\pi \int_0^{\infty} dk e^{ik(x-y)} = \dots = 2\pi \delta(x-y)$$

$$\int_0^{\infty} dk e^{i(x-y)k} = \int_0^{\infty} dk e^{i z (k+i\epsilon)} = \int_0^{\infty} dk$$

$$= \int_0^{\infty} dk e^{i(z+i\epsilon)k} = \int_0^{\infty} dk e^{ikz - \epsilon k} = \frac{e^{ikz - \epsilon k}}{iz - \epsilon} \Big|_{k=0}^{k=\infty}$$

$$= \frac{-1}{iz - \epsilon} = \frac{\epsilon + iz}{z^2 + \epsilon^2} = \frac{\epsilon}{z^2 + \epsilon^2} + \frac{iz}{z^2 + \epsilon^2} \xrightarrow{\epsilon \rightarrow 0} \dots$$

$$\int_{-\infty}^{+\infty} \frac{\epsilon}{z^2 + \epsilon^2} dz \stackrel{z = \epsilon u}{=} \int_{-\infty}^{+\infty} \frac{\epsilon \cdot \epsilon \cdot du}{\epsilon^2 u^2 + \epsilon^2} = \int_{-\infty}^{+\infty} \frac{du}{1+u^2} = \pi = \text{Arctan} \Big|_{-\infty}^{+\infty}$$

$$= \frac{2\pi}{2\pi} \int_{-\infty}^{+\infty} dy f(y) \delta(x-y) \stackrel{!}{=} f(x)$$

Elektrodynamik

Theo 26.11.04

$$\operatorname{div} \vec{D} = \rho \quad ; \quad \rho = \text{el. Ladungsdichte}$$
$$\vec{D} = \text{el. Felddichte}$$

"el. Ladungen sind die Quellen des el. Feldes"

$$\operatorname{div} \vec{B} = 0 \quad ; \quad \vec{B} = \text{mag. Felddichte (Flussdichte)}$$

"Magnetfeld hat keine Quellen \rightarrow Feldlinien müssen geschlossen sein"

Verknüpfung Mag. und El.

Induktion: $\operatorname{rot} \vec{E} = -\dot{\vec{B}}$; $\vec{D} = \epsilon \epsilon_0 \vec{E}$

("gibt eine Draht und Voltmeter")

\uparrow Ladung \uparrow Kraft $\Rightarrow F = m \cdot a$

\rightarrow "Warum erzeugen Felder Kräfte?"
 ϵ sind nicht nur Proportionalitätskonstanten

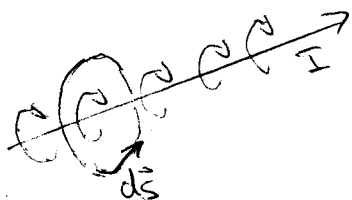
$$\int_A \operatorname{rot} \vec{E} \cdot d\vec{f} = - \int_A \dot{\vec{B}} \cdot d\vec{f} = - \frac{d}{dt} \underbrace{\int_A \vec{B} \cdot d\vec{f}}_{\dot{\Phi} \text{ mag. Fluss}}$$

Stokes $\rightarrow \oint \vec{E} \cdot d\vec{s} = - \frac{d}{dt} \int_A \vec{B} \cdot d\vec{f}$

$$\Rightarrow U_{\text{ind}} = - \dot{\Phi}$$

Ampere'sches Gesetz:

$$\oint \vec{H} \cdot d\vec{s} = I = \int_A \vec{j} \cdot d\vec{f} \quad ; \quad H = \text{mag. Feldstärke}$$



$$\vec{B} = \underbrace{\mu \mu_0}_{\text{Permeabilität}} \cdot H$$

$$\int_V (\text{rot } \vec{H} - \vec{j}) \cdot d\vec{f} = 0$$

$$\Rightarrow \text{rot } \vec{H} = \vec{j} \quad \text{verlangert}$$

$$\text{div rot } \vec{H} = \text{div } \vec{j} \Rightarrow \text{div } \vec{j} = 0$$

$$\text{Erhaltungssatz: } \dot{\rho} + \text{div } \vec{j} = 0 \Rightarrow \dot{\rho} = 0$$

Ladungsdichte durfte sich nicht andern \rightarrow Aufzug

$$\text{Maxwell: } \text{div rot } \vec{H} = \text{div } \vec{j} + \dot{\rho} \quad \text{div } \vec{D}$$

$$\Rightarrow \text{rot } \vec{H} = \vec{j} + \dot{\vec{D}}$$

$$0 = \text{div } \vec{j} + \dot{\rho}$$

Das $+\dot{\vec{D}}$ fallt in den
ublichen Experimenten nicht
ins Gewicht

$$\text{div } \vec{D} = \rho$$

$$\text{rot } \vec{E} = -\dot{\vec{B}}$$

$$\text{div } \vec{B} = 0$$

$$\text{rot } \vec{H} = \vec{j} + \dot{\vec{D}}$$

$$\vec{D} = \epsilon \epsilon_0 \vec{E}$$

$$\vec{B} = \mu \mu_0 \vec{H}$$

\Rightarrow 2. Zeitableitung durch $+\dot{\vec{D}}$! \Rightarrow Wellengleichung !!!

"Epihanomen"

$$\dot{\vec{p}} = \vec{F} = q (\vec{E} + \vec{v} \times \vec{B}) \quad \text{Lorentz-Kraft}$$

Verbindung zur Mechanik

(Unterscheidung Coulomb-Kraft
und Lorentzkraft $= \vec{v} \times \vec{B}$ ist
nicht zu empfehlen)

\Rightarrow Konsequenzen

1.) Statik $\frac{\partial}{\partial t} \equiv 0$

$$\vec{D} = \epsilon \epsilon_0 \vec{E}$$

$$\text{rot } \vec{E} = 0$$

$$\text{div } \vec{D} = \rho$$

$$\vec{B} = \mu \mu_0 \vec{H}$$

$$\text{rot } \vec{H} = \vec{j} \quad \{ \text{(quasi-statisch)}$$

$$\text{div } \vec{B} = 0$$

⇒ Im statischen Fall entkoppeln el. und mag. Felder

Elektrostatik

Magneto-Quasistatik

$$\text{rot } \vec{E} = 0 \Rightarrow \exists \phi \text{ mit } \vec{E} = -\text{grad } \phi$$

$$\text{div } (\epsilon \epsilon_0 \text{grad } \phi) = \rho \quad \text{Grundgleichung der Elektrostatik}$$

ϵ sei stückweise konstant

$$\boxed{\epsilon=1 \mid \epsilon=7 \mid \epsilon=?}$$

$$\text{in jedem Stück: } \text{div grad } \phi = -\frac{\rho}{\epsilon \epsilon_0}$$

$$\Delta \phi = -\frac{\rho}{\epsilon \epsilon_0} \quad \text{Poissongleichung}$$

Elektrostatik

$$\operatorname{div} \vec{D} = \rho \quad \vec{D} = \epsilon \epsilon_0 \vec{E}$$

$$\operatorname{rot} \vec{E} = 0$$

$$\vec{E} = -\operatorname{grad} \phi$$

$$\operatorname{div} (\epsilon \epsilon_0 \operatorname{grad} \phi) = -\rho$$

Im jedem Gebiet, in welchem $\epsilon = \text{const}$ gilt:

$$\Delta \phi = -\frac{\rho}{\epsilon \epsilon_0}$$

Punktladung: $\rho(\vec{r}) = q \cdot \delta^{(3)}(\vec{r} - \vec{a})$

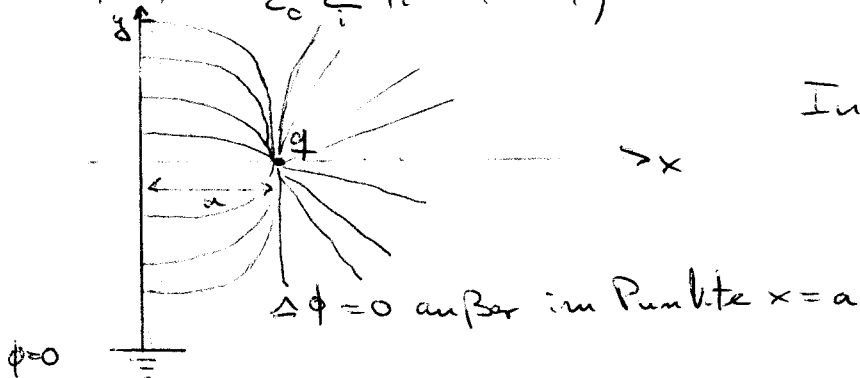
$$\Delta \frac{1}{|\vec{r} - \vec{a}|} = -4\pi \delta^{(3)}(\vec{r} - \vec{a})$$

→ Potential einer Punktladung am Orte $\vec{r} = \vec{a}$ ist:

$$\phi(\vec{r}) = \frac{q}{4\pi \epsilon \epsilon_0 |\vec{r} - \vec{a}|}$$

$$\phi(\vec{r}) = \sum_i \frac{q_i}{4\pi \epsilon_0 |\vec{r} - \vec{r}_i|}$$

$$\Delta \phi(\vec{r}) = -\frac{1}{\epsilon_0} \sum_i q_i \delta^{(3)}(\vec{r} - \vec{r}_i)$$



Leiter: $\phi = \text{const}$

Methode der Spiegelladungen:

$$\phi(x, y) = \begin{cases} \frac{q}{4\pi \epsilon_0 \sqrt{(x-a)^2 + y^2}} - \frac{q}{4\pi \epsilon_0 \sqrt{(x+a)^2 + y^2}} & \text{wenn } x > 0 \\ 0 & \text{sonst} \end{cases}$$

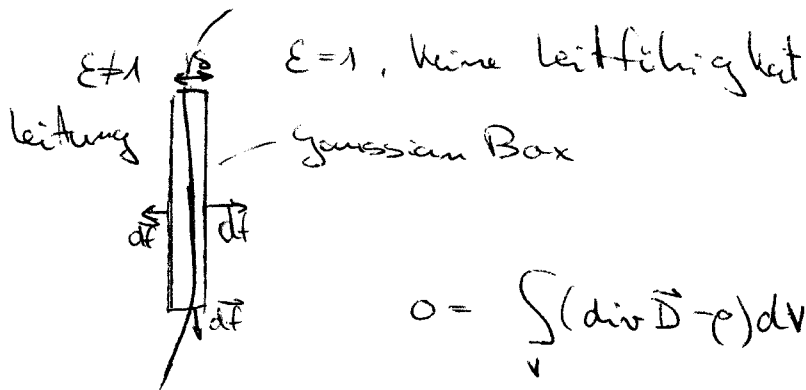
Beh.: $\phi(x, y)$ ist Lsg. von $\Delta \phi = -q \cdot \delta^{(3)}(\dots) \cdot \frac{1}{\epsilon_0}$ mit $\phi(0, y) = 0$

Elektrisches Feld : $\vec{E} = -\text{grad } \phi$

$$\vec{E} = \frac{q}{4\pi\epsilon_0} \left(\frac{(x-a)}{\sqrt{(x-a)^2 + y^2}^{3/2}} - \frac{x+a}{\sqrt{(x+a)^2 + y^2}^{3/2}}, \frac{y}{\sqrt{(x+a)^2 + y^2}^{3/2}} - \frac{y}{\sqrt{(x-a)^2 + y^2}^{3/2}} \right)$$

$$\vec{E}(0, y) = \frac{q}{4\pi\epsilon_0} \left(-\frac{2a}{\sqrt{a^2 + y^2}^{3/2}}, 0 \right)$$

Verteilung der neg. Ladungen auf der Platte?

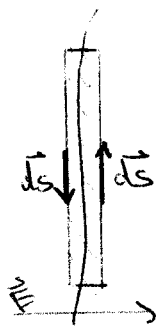


$$\begin{aligned} 0 &= \int_V (\text{div } \vec{D} - \rho) dV \\ &= -\int_V \rho dV + \oint \vec{D} \cdot d\vec{F} \\ &= -e_F + (D_{2n} - D_{1n}) \end{aligned}$$

Für Divergenz
($\text{div } \vec{D} = \rho$)

Unstetigkeit!

$$\boxed{e_F = D_{2n} - \frac{D_{1n}}{\epsilon_0}}$$



analog mit Stokes

$$\begin{aligned} 0 &= \int_A \text{rot } \vec{E} \cdot d\vec{F} = \oint \vec{E} \cdot d\vec{s} \\ &= \vec{E}_{2\text{tang}} - \vec{E}_{1\text{tang}} = 0 \end{aligned}$$

Für Rotation
($\text{rot } \vec{E} = 0$)

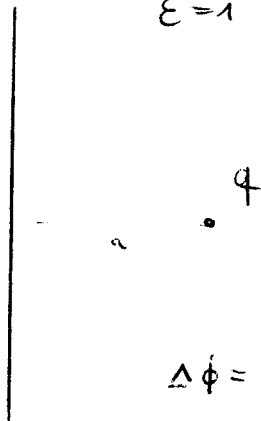
Stetigkeit!

$$\vec{D}(0, y) = \epsilon_0 \vec{E}(0, y) \quad \text{Unstetigkeit!}$$

$$\| e_F = D_{2n} = -\frac{q \cdot a}{2\pi \epsilon_0 \sqrt{a^2 + y^2}^{3/2}}$$

$\epsilon > 1$
Dielektrikum

$\epsilon = 1$



$$\Delta \phi = - \frac{q}{\epsilon_0} \delta^{(3)}(\vec{r} - \vec{a})$$

$\Delta \phi = 0$

D_n stetig!
 E_{\parallel} stetig!

Gesucht: ϕ

$$\vec{D} = \epsilon \epsilon_0 \vec{E} ; \vec{E} = - \text{grad } \phi$$

Ansatz $\phi = \begin{cases} \frac{q}{4\pi\epsilon_0 \sqrt{(x-a)^2 + y^2}} - \frac{q'}{4\pi\epsilon_0 \sqrt{(x+a)^2 + y^2}} ; x \geq 0 \\ \frac{q''}{4\pi\epsilon\epsilon_0 \sqrt{(x-a)^2 + y^2}} ; x \leq 0 \end{cases}$

$$E(x=0) = \frac{1}{4\pi\epsilon} \left\{ \begin{pmatrix} \frac{q(-a)}{\sqrt{a^3}} - \frac{q'(a)}{\sqrt{a^3}} , \frac{y(q-q')}{\sqrt{a^3}} \\ \frac{q''(-a)}{\epsilon \sqrt{a^3}} , \frac{q'' y}{\epsilon \sqrt{a^3}} \end{pmatrix} \right.$$

~~$D_y = \frac{1}{4\pi} \left\{ \begin{matrix} \frac{y(q-q')}{\sqrt{a^3}} & x \geq 0 & \text{stetig sein} \\ \frac{y q''}{\epsilon \sqrt{a^3}} & x \leq 0 \end{matrix} \right. \Rightarrow q'' = q - q'$~~

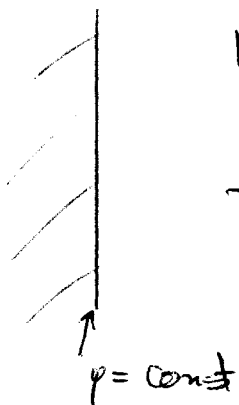
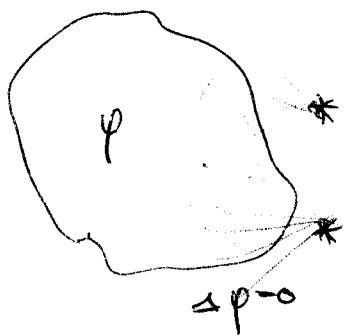
$$D_x = \frac{1}{4\pi} \left\{ \begin{matrix} -a(q'+q) \\ -a q'' \end{matrix} \right. \Rightarrow q'' = q' + q$$

$$E_y = \frac{1}{4\pi\epsilon_0} \left\{ \begin{matrix} \frac{y(q-q')}{\sqrt{a^3}} \\ \frac{y q''}{\epsilon \sqrt{a^3}} \end{matrix} \right. \Rightarrow q'' = \epsilon(q-q')$$

$$q'' \left(1 + \frac{1}{\varepsilon}\right) = 2q$$

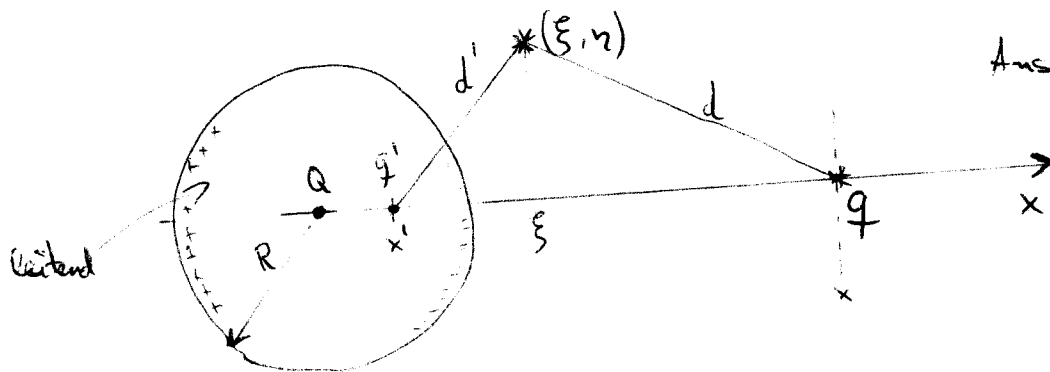
$$q'' = \frac{2\varepsilon}{\varepsilon+1} q$$

$$q' = q'' - q = \frac{\varepsilon-1}{\varepsilon+1} q$$



Normal Komponente von D stetig, od. Sprung entspr. Ladungsdichte
 Tangentialkomp von E sind stetig

Spiegelbildungen an der Kugeloberfläche



Ansatz: Spiegelbild bei x'

$$\Delta \phi = -q \delta^{(3)}(\vec{r} - (x, 0, 0)) \cdot \frac{1}{\epsilon_0} \quad (1)$$

$$\phi = \text{const auf der Kugeloberfläche} \quad (2)$$

$$\phi \equiv 0 \text{ in der Kugel (d.h. geerdete Kugel)} \quad (3)$$

$$4\pi\epsilon_0 \phi(\xi, \eta) = \frac{q}{d} + \frac{q'}{d'}$$

$$4\pi\epsilon_0 \phi(\xi, \eta) = \frac{q}{\sqrt{(x-\xi)^2 + \eta^2}} + \frac{q'}{\sqrt{(x-\xi)^2 + \eta^2}} = \frac{q}{\sqrt{x^2 - 2x\xi + \xi^2 + \eta^2}} \stackrel{!}{=} \dots \text{erfüllt (1)}$$

$$4\pi\epsilon_0 \phi(\text{Kugel}) = \frac{q}{\sqrt{x}} \cdot \frac{1}{\sqrt{\frac{x^2+R^2}{x} - 2\xi}} + \frac{q'}{\sqrt{x'}} \cdot \frac{1}{\sqrt{\frac{x'^2+R^2}{x'} - 2\xi}} \stackrel{!}{=} 0 \quad \forall \xi$$

d.h. $\xi^2 + \eta^2 = R^2$

$$x + \frac{R^2}{x} = x' + \frac{R^2}{x'} \quad \leadsto \quad \boxed{\text{Lsg. : } x x' = R^2} \quad (\text{oder triv. } x' = x)$$

$$q' = -\sqrt{\frac{x'}{x}} q \quad \quad \quad q' = -\frac{x'}{R} q$$

Zusätzlich:

$$4\pi\epsilon_0 \phi(\xi, \eta) = \frac{q}{\sqrt{(x-\xi)^2 + \eta^2}} + \frac{q'}{\sqrt{x'-\dots}} + \frac{Q}{\sqrt{\xi^2 + \eta^2}}$$

Q in der mitte der Kugel: freies Param.

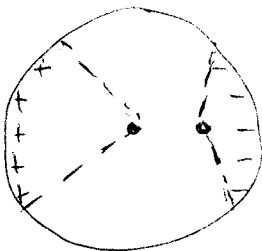
$$\phi(\text{Kugel}) = \frac{Q}{4\pi\epsilon_0 R}$$

Isolierte Kugel (mit Gesamtladung 0) (d.h. isoliert aufgehängt)

$$Q + q' = 0$$

$$4\pi\epsilon_0 \phi_{\text{isoli}}(\xi, \eta) = \frac{q}{\sqrt{(x-\dots)^2 + \dots}} + \frac{qR}{x} \left(\frac{1}{\sqrt{\left(\frac{R^2}{x} - \xi\right)^2 + \eta^2}} - \frac{1}{\sqrt{\xi^2 + \eta^2}} \right)$$

Unterschied Theorie u. Experiment:



im Experiment gibt es Ladungstrennung

Ladungsdichte bestimmen: Diskontinuität von ϕ an der Oberfläche ausnutzen

$$\rho = D_{\text{normal}} = D_{\text{rad}} = -\frac{1}{4\pi} \text{grad } \phi \cdot \vec{e}_r$$

$$= -\frac{1}{4\pi} \left(\frac{\partial \phi}{\partial \xi}, \frac{\partial \phi}{\partial \eta}, 0 \right) \cdot \left(\cos \vartheta \frac{\xi}{\sqrt{\xi^2 + \eta^2}}, \sin \vartheta \frac{\eta}{\sqrt{\xi^2 + \eta^2}}, 0 \right)$$

$$= -\frac{1}{4\pi} \left(\frac{\partial \phi}{\partial \xi}, \frac{\partial \phi}{\partial \eta}, 0 \right) \cdot \left(\frac{\xi}{\sqrt{\xi^2 + \eta^2}}, \frac{\eta}{\sqrt{\xi^2 + \eta^2}}, 0 \right) \quad \left| \xi^2 + \eta^2 = R^2 \right.$$

liefert $\rho(\xi, \eta)$

andere Möglichkeit: Winkel ϑ beibehalten

In Kugelkoordinaten - Kugelflächenfunktionen

$\Delta \phi = 0 \Rightarrow \text{div grad } \phi$

$$\Delta = \frac{\partial^2}{\partial r^2} + \frac{2}{r} \frac{\partial}{\partial r} + \frac{1}{r^2} \left(\frac{\partial^2}{\partial \vartheta^2} + \cot \vartheta \frac{\partial}{\partial \vartheta} + \frac{1}{\sin^2 \vartheta} \frac{\partial^2}{\partial \varphi^2} \right) \quad \text{in Kugelkoord.}$$

Lösungen heißen Kugelflächenfunktionen

$$\phi = \phi(r, \vartheta)$$

Produktansatz zur Variablentrennung:

$$\phi(r, \vartheta) = R(r) f(\vartheta)$$

$$r^2 \frac{\Delta \phi}{\phi} = \underbrace{r^2 \frac{R''}{R} + \frac{2}{r} R'}_r + \underbrace{\frac{f'' + \cot \vartheta f'}{f}}_{\vartheta} = 0$$

keine φ -Abl.!

$$r^2 R'' + 2r R' + \lambda R = 0 \quad (1)$$

$$f'' + \cot \vartheta f' - \lambda f = 0 \quad (2) \quad \text{Legendre}$$

$$f(\vartheta) = P(\cos(\vartheta)) \rightarrow P(x)$$

$$0 \leq \vartheta \leq \pi \quad \leftarrow \quad x = \cos(\vartheta) \text{ subst}$$

$$f'(\vartheta) = -P' \sin \vartheta$$

$$f''(\vartheta) = P'' \sin^2 \vartheta - P' \cos \vartheta$$

$$P''(x)(1-x^2) - P'(x)x - P'(x)x - \lambda P(x) = 0$$

$$\boxed{(1-x^2)P''(x) - 2xP'(x) - \lambda P(x) = 0} \quad \text{Legendre-DGL}$$

Potenzreihenansatz:

$$P(x) = \sum_{n=0}^{\infty} a_n x^n \quad a_0, a_1 \text{ sind Parameter (vorgegeben)}$$

$$x^n: -a_n n(n-1) + a_{n+2}(n+2)(n+1) - 2na_n - \lambda a_n = 0 \quad \forall n$$

→ Rekursionsformel

$$a_{n+2} = \frac{n(n-1) + 2n + \lambda}{(n+1)(n+2)} a_n = \frac{n(n+1) + \lambda}{(n+1)(n+2)} a_n$$

$$P(\pm 1) \stackrel{!}{=} \rightarrow \infty \quad n \rightarrow \infty: a_{n+2} \approx a_n \Rightarrow P(x) \approx (a_0 + a_1 x) \sum x^{2n} = \frac{a_0 + a_1 x}{1-x^2}$$

$$a_0 = 1, a_1 = 0, \lambda = -l(l+1); l \text{ gerade}$$

$$a_1 = 1, a_0 = 0, \lambda = -l(l+1); l \text{ ungerade}$$

⇒ Potenzreihe bricht ab ⇒ Legendrepolynome

$$\Delta \phi = 0$$

$$\Delta \phi = \Delta \phi(r, \vartheta) = \Delta (R(r) f(\vartheta))$$

$$\Delta = \frac{\partial^2}{\partial r^2} + \frac{2}{r} \frac{\partial}{\partial r} + \frac{1}{r} \left(\frac{\partial^2}{\partial \vartheta^2} + \cot \vartheta \frac{\partial}{\partial \vartheta} + \frac{1}{\sin^2 \vartheta} \frac{\partial^2}{\partial \varphi^2} \right)$$

$$f(\vartheta) = P_\ell(\cos \vartheta) \quad \text{Legendre Polynome}$$

$$(1-x^2) P_\ell''(x) - 2x P_\ell'(x) + \ell(\ell+1) P_\ell(x) = 0$$

$$R'' + \frac{2}{r} R' - \frac{1}{r^2} \ell(\ell+1) R = 0 \quad | \cdot r^2 \rightarrow \text{Ansatz}$$

$$P_\ell(x) = \sum_{j=0}^{\infty} a_j^{(\ell)} x^j$$

$$a_{j+2}^{(\ell)} = \frac{j(j+1) - \ell(\ell+1)}{(j+1)(j+2)} a_j^{(\ell)} \quad ; a_0, a_1 \text{ sind Integrationskonst.}$$

$$\ell = 0, 2, 4, \dots \Rightarrow a_1 = 0 \quad a_0 \neq 0$$

$$\ell = 1, 3, 5, \dots \Rightarrow a_1 \neq 0 \quad a_0 = 0$$

Ansatz:

$$R = r^\alpha \quad (\text{fast Exponentialansatz})$$

$$\leadsto \alpha(\alpha+1) = \ell(\ell+1)$$

$$\leadsto \alpha = \ell, -(\ell+1)$$

$$R_\ell(r) = a_\ell r^\ell + \frac{b_\ell}{r^{\ell+1}}$$

$$\phi_\ell(r, \vartheta) = R_\ell(r) P_\ell(\cos \vartheta) = \left(a_\ell r^\ell + \frac{b_\ell}{r^{\ell+1}} \right) P_\ell(\cos \vartheta)$$

$$\phi(r, \vartheta) = \sum_{\ell=0}^{\infty} \left(a_\ell r^\ell + \frac{b_\ell}{r^{\ell+1}} \right) P_\ell(\cos \vartheta)$$

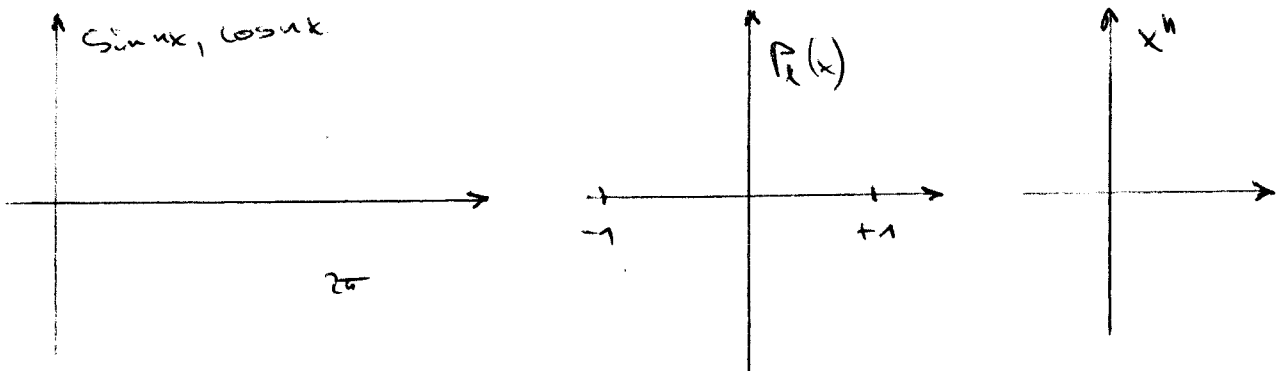
Legendre - Polynome

P_0, P_1, P_2, P_3

l	a_0	a_1	a_2	a_3	$P_l(x)$
0	1	0	0	0	1
1	0	1	0	0	x
2	1	0	-3	0	$1 - 3x^2$
3	0	1	0	$-\frac{5}{2}x^3$	$x - \frac{5}{3}x^3$

Beh. - Formel

Fourierreihen \leftrightarrow Legendre Polynome \leftrightarrow Taylorpolynome



Beh.:
$$\int_{-1}^{+1} P_l(x) P_k(x) dx = \frac{2}{2l+1} \delta_{l,k}$$

$$\int \dots d^3r \rightarrow \int_0^\infty r^2 dr \int_0^{2\pi} d\varphi \int_0^\pi \sin \vartheta d\vartheta$$

$$\int_0^\pi \sin \vartheta d\vartheta F(\cos \vartheta)$$

$$\int_{-1}^{+1} dx F(x)$$

$x = \cos \vartheta$
 $dx = -\sin \vartheta d\vartheta$

$$\int_{-1}^{+1} dx P_l(x) P_k(x) = ?$$

Beh. $\int_{-1}^{+1} P_l(x) P_k(x) dx = \frac{2}{2l+1} \delta_{l,k} = \delta_{l,k}$

Bew. (auserte)

$$I_{lk} = \frac{1}{k(k+1)} \int_{-1}^{+1} P_l(x) [2xP_k' + (x^2-1)P_k''] dx$$

part. Int.

$$= \frac{1}{k(k+1)} \left[\underbrace{(x^2-1)P_k'}_{=0} \Big|_{-1}^{+1} + \int_{-1}^{+1} dx \left(2xP_lP_k' - \frac{d}{dx} [P_l(x^2-1)] P_k \right) \right]$$

$$= \frac{1}{k(k+1)} \int_{-1}^{+1} \left\{ 2xP_lP_k' - [P_l'(x^2-1) + 2xP_l] P_k' \right\} dx$$

$$= \frac{1}{k(k+1)} \int_{-1}^{+1} P_l' P_k' (x^2+1) dx$$

analog für $P_k \rightarrow$ selbes Ergebnis

$$\leadsto l(l+1) I_{lk} = k(k+1) I_{lk}$$

$$[l(l+1) - k(k+1)] I_{lk} = 0$$

$$\leadsto I_{lk} = 0, \text{ wenn } l \neq k \quad \square$$

\leadsto Legendre-Polynome sind paarweise orthogonal im Sinne der definierten Metrik

Erzeugende der Legendre Polynome

Gesucht ist eine Funktion $F(x, z)$ mit der Eigenschaft

$$F(x, z) = \sum_{n=0}^{\infty} P_n(x) z^n \quad \text{"Erzeugende d. L.P."}$$

$$\text{Lsg: } F(x, z) = \frac{1}{\sqrt{1+z^2-2xz}}$$

$$\text{Normierung: } P_\ell(1) = 1; \quad P_\ell(-1) = (-1)^\ell$$

Beh.: Lsg. erfüllt die gesuchte Eigenschaft

Bew.

$$\text{Subst.: } w = 1+z^2-2xz$$

$$F(x, z) = f(w)$$

$$\partial_x f = f_x(w) = -2z f'$$

$$\partial_z f(w) = 2(z-x) f'$$

$$\partial_{xx} f = 4z^2 f''$$

$$\partial_{zz} f(w) = \cancel{2z^2} 2f' + 4(z-x)^2 f''$$

$$\sum_{k=0}^{\infty} \left[(1-x^2) P_k'' - 2x P_k' + k(k+1) P_k \right] z^k = 0$$

$$(1-x^2) \partial_{xx} f - 2x \partial_x f + z \partial_{zz} (zf) = 0 \quad \leftarrow \text{Einsetzen } f$$

$$(1-x^2) 4z^2 f'' + \cancel{4xz} f' + \underbrace{4z(z-x) f'}_{6z^2 f'} + z^2 (2f' + 4(z-x)^2 f'') \stackrel{?}{=} 0$$

$$= 4f'' (z^2 - x^2 z^2 + z^4 - 2z^3 x + z^2 x^2) + 6z^2 f'$$

$$= 2f'' (1+z^2-2xz) + 3f' = 2f'' \cdot w + 3f' = \frac{3}{2} \frac{1}{\sqrt{w}} - \frac{3}{2} \frac{1}{\sqrt{w}} = \underline{0}$$

⇒

$$z \partial_{zz} (zf) = z \partial_z (f + zf') = 2z f_z + z^2 f_{zz} = 2z \partial_z f + z^2 \partial_{zz} f$$

$$F(1, z) = \frac{1}{1-z} = \sum z^n \quad \checkmark$$

□

⇒

$$F(x, z) = \frac{1}{\sqrt{1+z^2-2xz}} = \sum P_n(x) z^n$$

$$\Delta \phi = 0$$

$$\phi = \phi(r, \vartheta)$$

$$\phi = \sum_{l=0}^{\infty} \left(a_l r^l + \frac{b_l}{r^{l+1}} \right) P_l(\cos \vartheta)$$

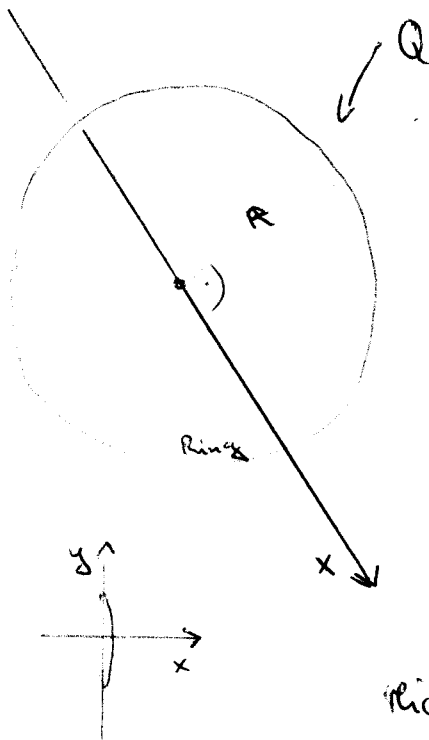
$$P_l = \sum_{j=0}^l a_j^{(l)} x^j \quad ; \quad a_{j+2}^{(l)} = \frac{j(j+1) - l(l+1)}{(j+1)(j+2)} a_j^{(l)}$$

$$\frac{1}{\sqrt{1+z^2-2xz}} = \sum_{l=0}^{\infty} P_l(x) z^l; \quad P_l(1) = 1$$

$$\int_{-1}^{+1} dx P_l(x) P_m(x) = \begin{cases} 0 & \text{wenn } l \neq m \\ \frac{2}{2l+1} & \text{wenn } l = m \end{cases}$$

Rodrigues: $P_l = \frac{1}{2^l l!} \frac{d^l}{dx^l} (1-x^2)^l \quad \rightarrow$ Literatur: Abramowitz/Segun

Anwendung der Legendre-Polynome: el. Pot. von Ring



El. Potential im Raum?

$$\phi(x) = \frac{Q}{4\pi\epsilon_0 \sqrt{R^2 + x^2}}$$

Lösung als Entwicklung in Kugelflächenfunktion
Spezialisiert für die Achse

$$P_l(\cos 0) = 1$$

$$\phi(r=x, \vartheta=0) = \sum_{l=0}^{\infty} \left(a_l x^l + \frac{b_l}{x^{l+1}} \right)$$

richt $a_l x^l$ im Nahbereich!
richt b_l / x^{l+1} im Fernbereich!

- Für kleine x : Taylorreihe

$$\phi(x) = \frac{Q}{4\pi\epsilon_0 \sqrt{R^2 + x^2}} = \frac{Q}{4\pi\epsilon_0 R \sqrt{1 + \left(\frac{x}{R}\right)^2}} = \frac{Q}{4\pi\epsilon_0 R} \sum_{j=0}^{\infty} \binom{-1/2}{j} \left(\frac{x}{R}\right)^{2j}$$

$$\Rightarrow a_\ell = \begin{cases} 0, & \text{wenn } \ell \text{ ungerade} \\ \frac{Q}{4\pi\epsilon_0 R} \binom{-1/2}{j} \frac{1}{R^{2j}}, & \text{wenn } \ell = 2j \end{cases}$$

Für kleine r ($r < R$) ist

$$\phi(r, \vartheta) = \frac{Q}{4\pi\epsilon_0} \sum_{\ell=0}^{\infty} \binom{-1/2}{\ell} \frac{P_{2\ell}(\cos\vartheta)}{R^{2\ell+1}} r^{2\ell}$$

- Für große x :

$$r > R$$

$$\phi(x) = \frac{Q}{4\pi\epsilon_0 \sqrt{1 + \frac{R^2}{x^2}}} = \frac{Q}{4\pi\epsilon_0} \sum_{j=0}^{\infty} \binom{-1/2}{j} \frac{R^{2j}}{x^{2j+1}} \quad ; a_\ell \equiv 0$$

; $b_\ell = 0$, wenn ℓ ungerade

$$b_{2j} = \frac{Q}{4\pi\epsilon_0} R^{2j} \binom{-1/2}{j}$$

$$\phi(r, \vartheta) = \frac{Q}{4\pi\epsilon_0} \sum_{\ell=0}^{\infty} \binom{-1/2}{\ell} \frac{R^{2\ell}}{r^{2\ell+1}} \cdot P_{2\ell}(\cos\vartheta)$$

Magneto-Statik

$$\frac{\partial}{\partial t} \equiv 0 \quad (\text{Quasi})$$

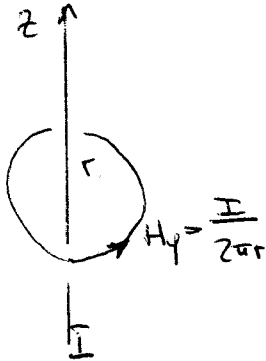
$$\text{div } \vec{B} = 0 \quad \text{rot } \vec{H} = \vec{j}$$

$$\text{div } \vec{D} = 0$$

$$\text{rot } \vec{E} = 0$$

$$\vec{E} = -\text{grad } \phi$$

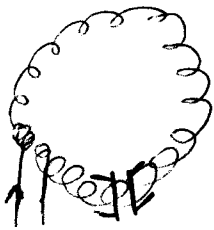
$$\Delta \phi = 0$$



$$\vec{H} = H(r) \vec{e}_\varphi$$

$$\int_{\text{Fläche}} \text{rot } \vec{H} \cdot d\vec{f} = \int_{\text{Kurve}} \vec{H} \cdot d\vec{s}$$

$$I = \int_0^{2\pi} ds H(r) = 2\pi r H(r)$$

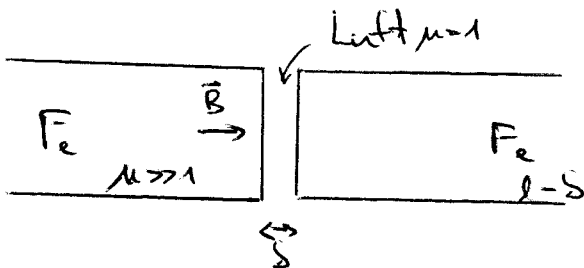
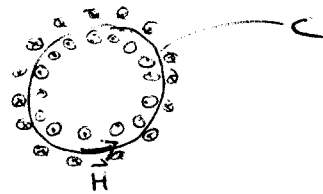


Toroidale Spule
+ Eisenkern mit Luftspalt

Stokes:

$$\int \vec{j} \cdot d\vec{f} = \oint \vec{H} \cdot d\vec{s}$$

$$N \cdot I = H \cdot l \quad \Rightarrow \quad H = \frac{n \cdot I}{l}$$



$\text{div } \vec{B} = 0 \quad \leadsto \quad B_{\text{normal}} \text{ ist stetig}$

$\text{rot } \vec{H} = 0 \quad \leadsto \quad H_{\text{tangential}} \text{ ist stetig}$

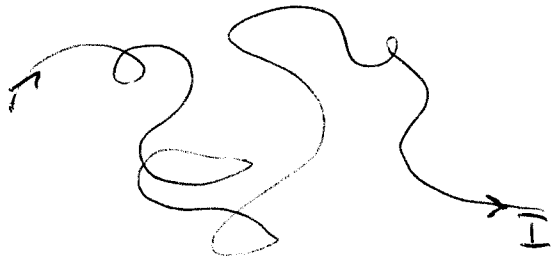
Fe: $B = \mu \mu_0 H_{\text{Fe}}$

Luft: $B = \mu_0 H_L$

$$(l - \delta) \frac{B}{\mu \mu_0} + \delta \frac{B}{\mu_0} = n I$$

$$\Rightarrow B = \frac{n \mu_0 \mu I}{\mu \delta + (l - \delta)} \approx \frac{n \mu_0 I}{\delta}$$

Beliebige Stromverteilung



Biot-Savartsches Gesetz

$$\operatorname{div} \vec{B} = 0 \leadsto \vec{B} = \operatorname{rot} \vec{A} \quad (\vec{A}: \text{Vektorpotential})$$

$$\operatorname{rot} \vec{H} = \operatorname{rot} \frac{\vec{B}}{\mu_0} = \vec{j} \leadsto \operatorname{rot} \operatorname{rot} \vec{A} = \mu_0 \vec{j}$$

$$\operatorname{rot} \operatorname{rot} \equiv \operatorname{grad} \operatorname{div} - \Delta \quad \text{mit } (\Delta \vec{A})_i = \Delta A_i \text{ in Kart. Koord.}$$

Coulombbedingung: $\operatorname{div} \vec{A} \equiv 0$

$$\text{möglich, da: } \vec{B} = \operatorname{rot} \underbrace{(\vec{A} + \operatorname{grad} \psi)}_{\vec{A}'} = \operatorname{div} \vec{A} + \Delta \psi \leadsto \Delta \psi = -\operatorname{div} \vec{A}$$

$$\Delta \vec{A} = -\mu_0 \vec{j}$$

$$\Delta A_i = -\mu_0 j_i$$

vgl $\Delta \phi = -\frac{\rho}{\epsilon_0}$

$$\phi(\vec{r}) = \int \frac{\rho(\vec{r}') \epsilon_0}{4\pi \epsilon_0 |\vec{r} - \vec{r}'|} d^3 r'$$

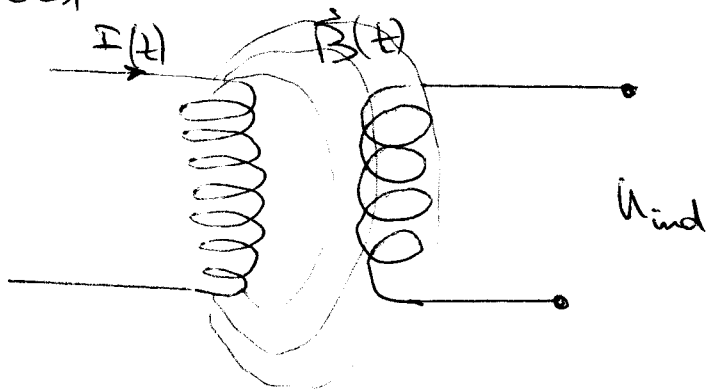
$$\vec{A}(\vec{r}) = \frac{\mu_0}{4\pi} \cdot \int \frac{\vec{j}(\vec{r}')}{|\vec{r} - \vec{r}'|} d^3 r'$$

Quasi-Stationär

$$\text{rot } \vec{H} = \vec{j} \quad \text{div } \vec{B} = 0$$

$$\text{rot } \vec{E} = -\dot{\vec{B}} \quad \text{div } \vec{D} = \rho$$

$$\mu, \epsilon = 1$$



$$\vec{B} = \frac{\mu_0}{4\pi} \int_{\mathcal{C}_1} \text{rot} \frac{\vec{j}(\vec{r}', t)}{|\vec{r} - \vec{r}'|} d^3 r'$$

$$\int_{\mathcal{C}_1} \text{rot } \vec{E} \cdot d\vec{r} = - \int_{\mathcal{C}_2} \dot{\vec{B}} \cdot d\vec{r}_2 = \int_{\mathcal{C}_2} \vec{E} \cdot d\vec{s} = U_{\text{ind}}$$

$$U_{\text{ind}} = - \frac{\mu_0}{4\pi} \int_{\mathcal{C}_2} d\vec{r}_2 \cdot \text{rot} \left(\frac{\vec{j}(\vec{r}', t)}{|\vec{r} - \vec{r}'|} \right) d^3 r' = - \frac{\mu_0}{4\pi} \int_{\mathcal{C}_1} \int_{\mathcal{C}_2} \frac{\vec{j}(\vec{r}', t)}{|\vec{r} - \vec{r}'|} d\vec{r}' d^3 r'$$
$$= \frac{\mu_0 \dot{I}}{4\pi} \int_{\mathcal{C}_1} \int_{\mathcal{C}_2} \frac{d\vec{r} d\vec{r}'}{|\vec{r} - \vec{r}'|} = U_{\text{ind}} = -L_{12} \dot{I}$$

Selbstinduktion: $U_{\text{ind}} = -L \dot{I}$

Skin-Effekt

$$\text{div } \vec{B} = 0 \quad \leadsto \quad \vec{B} = \text{rot } \vec{A}$$

$$\text{rot } \vec{E} = -\text{rot } \dot{\vec{A}} \quad \leadsto \quad \text{rot}(\vec{E} + \dot{\vec{A}}) = 0$$

$$\vec{E} + \dot{\vec{A}} = -\text{grad } \phi$$

$$\rho \equiv 0 \quad \epsilon \equiv 1 \quad \text{div } \vec{E} = 0$$

Bedingung:

$$\text{div } \dot{\vec{A}} = 0$$

$$\underbrace{\text{div } \vec{E}}_0 + \text{div } \dot{\vec{A}} = -\text{div grad } \phi = -\Delta \phi \quad \Rightarrow \quad \Delta \phi = 0$$

$$\Delta \phi = 0$$

$$\leadsto \phi \equiv 0$$



keine Maxima im
Gebiet! Rand wird ausgedehnt,
Felder nehmen dann auf der Rand
hin ab

$$\text{rot } \vec{H} = \vec{j} \quad ; \quad \vec{j} = \sigma \vec{E} \quad ; \quad \sigma = \text{Leitfähigkeit} \quad [\sigma] = \frac{A}{V \cdot m}$$

$$\text{rot rot } \vec{A} = \mu_0 \vec{j}$$

$$\Delta \vec{A} = -\mu_0 \vec{j} = -\mu_0 \sigma \vec{E} = \mu_0 \sigma \dot{\vec{A}}$$

$$\boxed{\Delta \vec{A} = \mu_0 \sigma \dot{\vec{A}}}$$

$$\Delta \vec{E} = \mu_0 \sigma \dot{\vec{E}}$$

$$\Delta \vec{j} = \mu_0 \sigma \dot{\vec{j}}$$

$$\frac{A}{L^2} = \mu_0 \sigma \frac{A}{T}$$

$$T = \mu_0 \sigma L^2$$

$$L = 0,1 \text{ m}$$

$$\mu_0 = 4\pi \cdot 10^{-7}$$

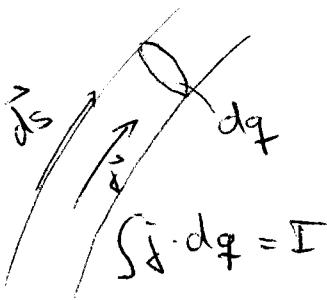
$$\sigma = 6 \cdot 10^7 \frac{A}{V \cdot m}$$

$$T = \frac{24\pi}{100} \sim 1$$

$$\Rightarrow \vec{B} = \frac{\mu_0}{4\pi} \int \frac{(\vec{r} - \vec{r}') \times \vec{j}(\vec{r}')}{|\vec{r} - \vec{r}'|^3} d^3 r' \quad \text{Biot-Savart}$$

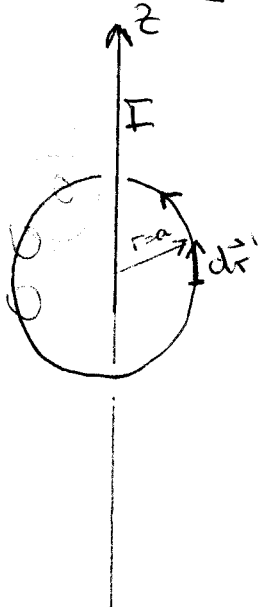
alternativ im Spezialfall: Strom im Draht

$$\vec{j}(\vec{r}') d^3 r' = I \cdot ds \quad \text{bzw.} \quad \vec{j}(\vec{r}') d^3 r' = I \cdot d\vec{r}'$$



$$\vec{B} = \frac{\mu_0}{4\pi} I \oint \frac{(\vec{r} - \vec{r}') \times d\vec{r}'}{|\vec{r} - \vec{r}'|^3}$$

Anwendung:



zul.

$$\vec{r} = (0, 0, z)$$

$$\vec{r}' = (a, 0, 0)$$

$$d\vec{r}' = (0, a \, dp, 0)$$

$$(\vec{r} - \vec{r}') \times d\vec{r}'$$

best.

$$\vec{r} = (0, 0, z)$$

$$\vec{r}' = (a \cos \varphi, a \sin \varphi, 0)$$

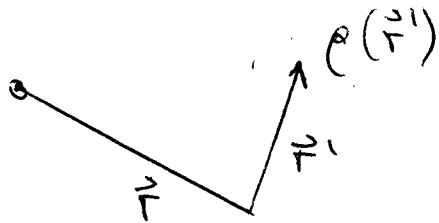
$$d\vec{r}' = a (-\sin \varphi, \cos \varphi, 0) d\varphi$$

$$\begin{vmatrix} e_x & e_y & e_z \\ -a & 0 & z \\ 0 & a \, d\varphi & 0 \end{vmatrix} = (-a z \, d\varphi, 0, -a^2 \, d\varphi)$$

$$\begin{vmatrix} e_x & e_y & e_z \\ -a \cos \varphi & -a \sin \varphi & \dots \\ \dots & \dots & \dots \end{vmatrix} = (-a z \cos \varphi, -a z \sin \varphi, -a^2)$$

$$\vec{B}(z) = -\frac{\mu_0}{4\pi} \int \frac{(a z \cos \varphi, a z \sin \varphi, a^2)}{\sqrt{a^2 + z^2}^3} d\varphi$$

$$\vec{B}(z) = -\frac{\mu_0 a^2 \vec{e}_z}{2 \sqrt{a^2 + z^2}^3}$$



$$\phi(\vec{r}) = \int \frac{q(\vec{r}')}{4\pi\epsilon_0 |\vec{r} - \vec{r}'|} d^3r' \quad \text{ist Lösung von } \Delta\phi = -\frac{\rho}{\epsilon_0}$$

vgl. $\Leftrightarrow \Delta \frac{1}{|\vec{r} - \vec{r}'|} = -4\pi \delta^{(3)}(\vec{r} - \vec{r}')$

$\Leftrightarrow \frac{q(\vec{r}')}{4\pi\epsilon_0} \Delta \frac{1}{|\vec{r} - \vec{r}'|} = -\frac{4\pi}{4\pi\epsilon_0} \delta^{(3)}(\vec{r} - \vec{r}') q(\vec{r}')$

$\Leftrightarrow \underbrace{\Delta \int \frac{q(\vec{r}') d^3r'}{4\pi\epsilon_0 |\vec{r} - \vec{r}'|}}_{\Delta\phi} = -\frac{1}{\epsilon_0} \int \delta^{(3)}(\vec{r} - \vec{r}') d^3r' = -\frac{q(\vec{r})}{\epsilon_0}$

$$\text{rot } \vec{H} = \vec{j}$$

$$\text{div } \vec{B} = 0$$

$$\vec{B} = \mu_0 \vec{H}$$

$$\vec{B} = \text{rot } \vec{A} ; \text{ Eichung : } \text{div } \vec{A} = 0$$

~~$$\text{rot rot } \vec{B} = \mu_0 \vec{j}$$~~

$$\text{rot rot } \vec{A} = \mu_0 \vec{j}$$

$$\text{rot rot} = \underbrace{\text{grad div} - \Delta}_{=0 \text{ wg Eichung}}$$

$\Leftrightarrow \Delta \vec{A} = -\mu_0 \vec{j}$

$\Leftrightarrow \Delta A_i = -\mu_0 j_i$

$\Leftrightarrow \vec{A}(\vec{r}) = \frac{\mu_0}{4\pi} \int \frac{\vec{j}(\vec{r}')}{|\vec{r} - \vec{r}'|} d^3r'$

$$\vec{B}(\vec{r}) = \text{rot } \vec{A}(\vec{r}) = \frac{\mu_0}{4\pi} \int \text{rot} \left(\frac{\vec{j}(\vec{r}')}{|\vec{r} - \vec{r}'|} \right) d^3r'$$

$$[\text{rot } \vec{a} f(r)] = \epsilon_{ijk} \cdot \partial_j (a_k f) = \epsilon_{ijk} \cdot a_k \partial_j f \Rightarrow \text{rot}(\vec{a} f(\vec{r})) = \text{grad} f \times \vec{a}$$

Quasistationäre E-Dynamik

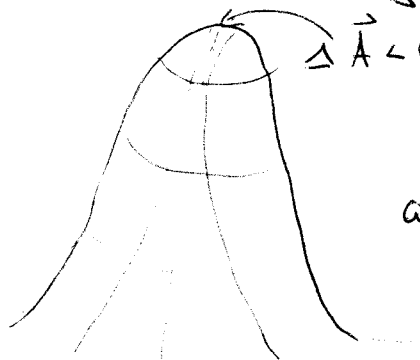
$$\vec{B} = \text{rot } \vec{A}$$

$$\Delta \vec{A} = \mu_0 \sigma \vec{A}$$

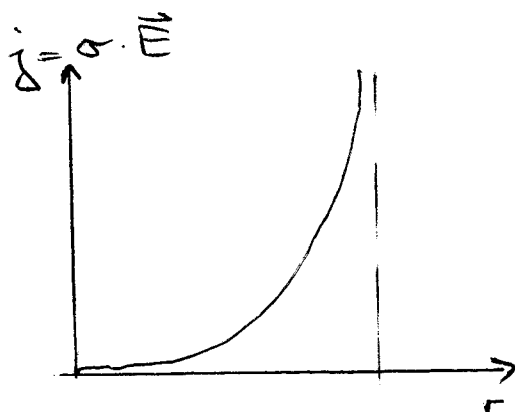
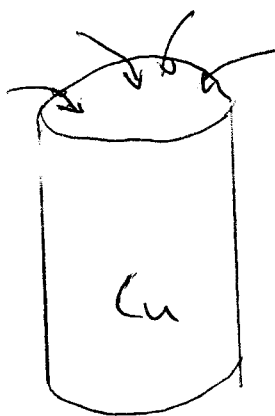
$$\downarrow$$

$$\frac{\partial^2}{\partial x^2} + \frac{\partial^2}{\partial y^2} + \frac{\partial^2}{\partial z^2}$$

$\sigma = \text{leitfähigkeit}$



$\Delta \vec{A} < 0$ am Maximum,
da $A \sim -(x^2 + y^2 + z^2)$
analog: $\Delta \vec{A} > 0$ am Min



~ Diffusion

Felder diffundieren in leitfähige Materialien nur nach Maßgabe der Gleichung

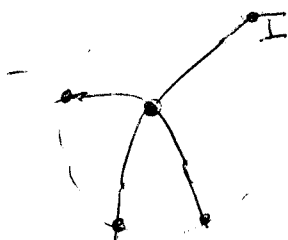
$$\Delta \vec{A} = \mu_0 \sigma \vec{A}$$

⇒ bei hohen Frequenzen
Skin-Effekt

Abschätzung für die Eindringtiefe: $L \sim \frac{1}{\sqrt{\mu_0 \sigma \omega}}$

Schaltungen

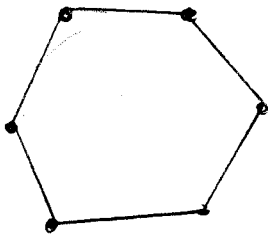
- Ströme nur in Leitungen und $\vec{D} = 0$ (außer ~~in~~ erstl. in den Schaltelementen)
- wegen $\text{div } \vec{D} = \rho \approx \rho \equiv 0 \approx \rho \equiv 0$



$$\rho + \text{div } \vec{j} = 0 \approx \text{div } \vec{j} = 0$$

$$\approx \oint \vec{j} \cdot d\vec{f} = 0 \approx \sum_{\text{Knoten}} I_i = 0$$

(Knotenregel)

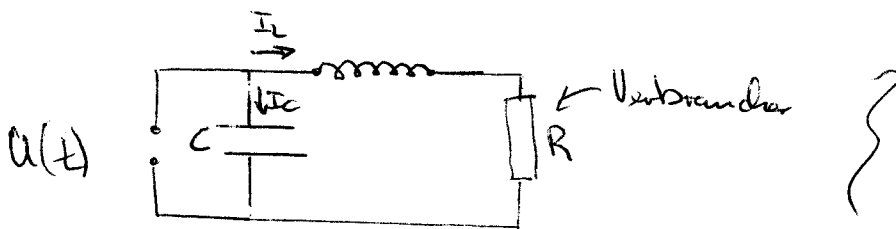


$$\text{rot } \vec{E} = -\dot{\vec{B}} \quad ; \quad \dot{\vec{B}} \equiv 0 \quad (\text{außer evtl. in den Schaltkreisen})$$

$$\Rightarrow \text{rot } \vec{E} = 0$$

$$\oint_{\text{Fläche}} \text{rot } \vec{E} \cdot d\vec{\xi} = 0 = \oint_{\text{kurve}} \vec{E} \cdot d\vec{s} = \sum_{\text{Masche}} U_i = 0 \quad (\text{Maschenregel})$$

Tiefpass



$$I = I_L + I_C$$

$$Q = C \cdot u_c$$

$$\dot{Q} = I_C$$

$$u_c = u(t)$$

$$u_L = L \dot{I}_L$$

$$u_L + u_R = u_c$$

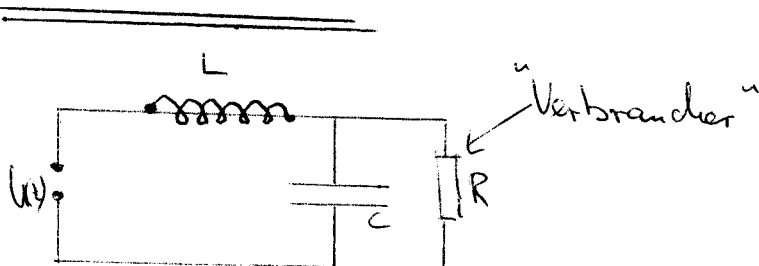
$$u_R = R \cdot I_L$$

gesucht: $\frac{u_R}{u(t)}$ bzw. u_R

$$u_R = u(t) - u_L = u(t) - L \dot{I}_L$$

$$R I_L = u(t) - L \dot{I}_L$$

\Rightarrow Müll



$$\begin{array}{l|l} I = I_C + I_R & \dot{Q} = I_C \\ u(t) = u_L + u_c & Q = C \cdot u_c \\ u_R = u_c & u_R = R I_R \\ & u_L = L \cdot \dot{I} \end{array}$$

$$u(t) = L \dot{I} + \frac{Q}{C} = L(\dot{I}_C + \dot{I}_R) + \frac{Q}{C}$$

$$\dot{Q} = I_C = L \left(\ddot{Q} + \frac{\dot{Q}}{R} \right) + \frac{Q}{C}$$

$$u(t) = L \left(\ddot{Q} + \frac{\dot{Q}}{R} \right) + \frac{Q}{C}$$

$$1) \quad u(t) = 0$$

$$\ddot{Q} + \dot{Q}/RC + Q/LC = 0$$

Exponentialansatz: $Q \sim e^{i\omega t}$; $\dot{Q} = i\omega Q$, $\ddot{Q} = -\omega^2 Q$

$$\left(-\omega^2 + \frac{i\omega}{RC} + \frac{1}{LC}\right) Q = 0$$

$$\Rightarrow \omega = \frac{i}{2RC} \pm \underbrace{\sqrt{-\frac{1}{4R^2C^2} + \frac{1}{LC}}}_{\substack{\text{soll reell} \\ \text{sein}}} = i\gamma \pm \omega_0$$

$$Q = e^{-\gamma t} \cdot (Ae^{i\omega_0 t} + Be^{-i\omega_0 t}) = a \cdot e^{-\gamma t} \cos \omega_0 t$$

\Rightarrow gedämpfte Schwingung

$$2) \quad u(t) = U_0 e^{i\Omega t} \Rightarrow \text{getriebener gedämpfter}$$

$$Q_{\text{spez}} = Q_0 \cdot e^{i\Omega t}$$

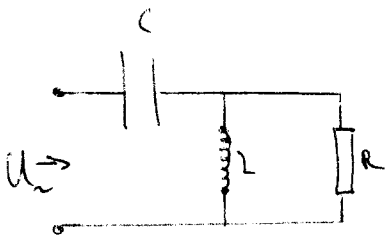
$$U_0 = Q_0 \left[-L\Omega^2 + i\frac{\omega L}{RC} + \frac{1}{C} \right]$$

$$Q_0 = U_0 / [\dots]$$

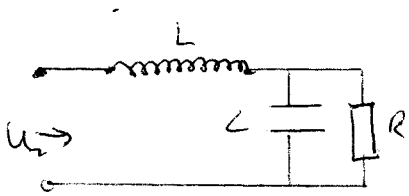
$$Q(t) = a \cdot e^{-\gamma t} \cos \omega_0 t + \frac{U_0 e^{i\Omega t}}{[\dots]}$$



Einschwingvorgang, dann eingeschwungener Zustand

Quasi-stationär Edyn / Schaltungen $\vec{D} \equiv 0 \Rightarrow$ Schaltungen

Hochpass



Tiefpass

Kirchhoff: $\sum_{\text{Knoten}} I = 0$

$\sum_{\text{Masche}} U = 0$

Bei Hochpass:

$u_{in} + u_C + u_L = 0 ; u_L = u_R \quad \text{bzw.: } u_{in} = u_C + u_L$

$I = I_L + I_R$

Konkretisieren:

$Q = C \cdot u_C ; \dot{Q} = I \Rightarrow I = C \cdot \dot{u}_C$

$u_L = L \cdot \dot{I}_L$

 \Rightarrow DGL

$u_R = R \cdot I_R$

Exponentialansatz: $u_C, u_L, u_R, I, \dots \sim e^{-i\omega t} \Rightarrow$ Lsg d. hom. ~~DGL~~ ^{Dges.}

homog. Lsg $\sim e^{-\lambda t}, \lambda > 0$

wird weggedämpft \Rightarrow Einschwingvorgang

Nur eine spezielle Lsg. der inhomogenen Dgl bleibt übrig

$$u_n = u_0 \cdot e^{-i\Omega t} \quad (\text{phys.: entweder } \operatorname{Re}(u_n) \text{ oder } \operatorname{Im}(u_n))$$

Ansatz: $u_x = u_{x0} \cdot e^{-i\Omega t} \quad I_x = I_{x0} \cdot e^{-i\Omega t}$

$$u_{n0} = u_{C0} + u_{L0} \quad (e^{-i\Omega t} \text{ kürzt sich raus})$$

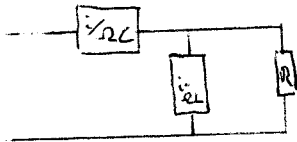
$$u_{L0} = u_{R0}$$

$$I_0 = I_{L0} + I_{R0}$$

$$I_0 = -i\Omega C u_{C0} \Rightarrow u_{C0} = \frac{i}{\Omega \cdot C} I_0$$

$$u_{L0} = -i\Omega L I_{L0}$$

$$u_{R0} = R I_{R0}$$



Der komplexe Widerstand wird als Impedanz bezeichnet

$$Z_{\text{ges}} = \frac{i}{\Omega C} + \frac{1}{\frac{1}{R} + \frac{i}{\Omega L}}$$

$$u_{n0} = Z_{\text{ges}} \cdot I_0$$

Impedanz ist Frequenzabhängig!

$$I_0 = \frac{u_{n0}}{Z} \cdot e^{-i\alpha} \quad \text{wenn } Z = |Z| \cdot e^{i\alpha}$$

$$I = \operatorname{Re}\left(\frac{u_{n0}}{|Z|} \cdot e^{-i\Omega t - i\alpha}\right) = \frac{u_{n0}}{|Z|} \cos(\Omega t + \alpha)$$

$$u = \operatorname{Re}(u_{n0} e^{-i\Omega t}) = u_{n0} \cos(\Omega t)$$

↙ Phasenverschiebung

$$\text{Leistung: } N = I \cdot u = \frac{u_{n0}^2}{|Z|} \cos \Omega t \cdot \cos(\Omega t + \alpha)$$

$$= \frac{u_{n0}^2}{|Z|} (\cos^2 \Omega t \cdot \cos \alpha - \cos \Omega t \cdot \sin \Omega t \cdot \sin \alpha)$$

Vorsicht beim Quadrieren von imag. Ausdrücken!

$$z = x + iy \quad ; \quad \operatorname{Re} z^2 = x^2 - y^2 \quad ; \quad (\operatorname{Re} z)^2 = x^2$$

M: Aktive Leistung:

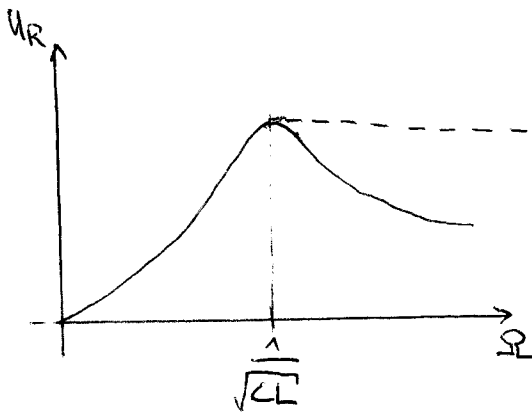
$$\frac{P}{N} = \frac{U_{r,0}^2}{2|Z|} \cos \alpha$$

Strom und Leistung am Verbraucher

$$I_R = \frac{1/R}{1/R + \frac{i}{\Omega L}} \cdot I = \frac{1/R \cdot U}{\left(\frac{1}{R} + \frac{i}{\Omega L}\right) Z}$$

$$= \frac{U}{R} \frac{1}{\frac{i}{\Omega L} \left(\frac{1}{R} + \frac{i}{\Omega L}\right) + 1} = \frac{U}{R \left(1 - \frac{\hat{\omega}^2 L^2}{\Omega^2 L^2}\right) + \frac{i}{\Omega L}}$$

$$U_R = R \cdot I_R = \frac{U}{1 - \frac{\hat{\omega}^2 L^2}{\Omega^2 L^2} + \frac{i}{\Omega R C}}$$



Wellenlösungen der vollen Maxwell-Gleichungen

μ, ϵ seien stückweise konstant

$$\begin{aligned} \operatorname{div} \vec{D} &= \rho & \operatorname{div} \vec{B} &= 0 \\ \operatorname{rot} \vec{E} &= -\dot{\vec{B}} & \operatorname{rot} \vec{H} &= \dot{\vec{D}} + \vec{j} \\ \vec{D} &= \epsilon \epsilon_0 \vec{E} & \vec{B} &= \mu \mu_0 \vec{H} \end{aligned}$$

$\vec{B} = \operatorname{rot} \vec{A}$ Vektorpotential, \vec{A} ist nur bestimmt bis auf ein grad ψ

$$\operatorname{rot}(\vec{E} + \dot{\vec{A}}) = 0 \quad \leadsto \quad \vec{E} + \dot{\vec{A}} = -\operatorname{grad} \phi$$

$$\operatorname{rot} \vec{B} = \operatorname{rot} \operatorname{rot} \vec{A} = \mu \mu_0 (\dot{\vec{D}} + \vec{j})$$

$$\begin{aligned} \Leftrightarrow \operatorname{grad} \operatorname{div} \vec{A} - \Delta \vec{A} &= \mu \mu_0 \epsilon \epsilon_0 \dot{\vec{E}} + \mu \mu_0 \vec{j} \\ &= -\mu \mu_0 \epsilon \epsilon_0 (\ddot{\vec{A}} + \operatorname{grad} \dot{\phi}) + \mu \mu_0 \vec{j} \end{aligned}$$

$$\mu \mu_0 \epsilon \epsilon_0 \ddot{\vec{A}} - \Delta \vec{A} = -\operatorname{grad} (\underbrace{\operatorname{div} \vec{A} + \mu \mu_0 \epsilon \epsilon_0 \dot{\phi}}_{\stackrel{!}{=} 0 \text{ Eichbedingung}}) + \mu \mu_0 \vec{j}$$

$$\boxed{\operatorname{div} \vec{A} + \mu \mu_0 \epsilon \epsilon_0 \dot{\phi} = 0}$$

"Lorentz-Eichung"

$$\boxed{\mu \mu_0 \epsilon \epsilon_0 \ddot{\vec{A}} - \Delta \vec{A} = \mu \mu_0 \vec{j}}$$

aus $\operatorname{div} \vec{D} = \rho$:

$$-\epsilon \epsilon_0 \operatorname{div} (\dot{\vec{A}} + \operatorname{grad} \phi) = \rho$$

$$\operatorname{div} \dot{\vec{A}} = -\mu \mu_0 \epsilon \epsilon_0 \dot{\phi}$$

$$-\epsilon \epsilon_0 (\underbrace{\operatorname{div} \operatorname{grad} \phi}_{\Delta \phi}) - \mu \mu_0 \epsilon \epsilon_0 \dot{\phi} = \rho$$

$$\boxed{\mu \mu_0 \epsilon \epsilon_0 \dot{\phi} - \Delta \phi = \frac{\rho}{\epsilon \epsilon_0}}$$

$\leadsto \operatorname{rot} \operatorname{rot} = \operatorname{grad} \operatorname{div} - \Delta$

$$\ddot{\vec{A}} - \frac{1}{\mu \epsilon \mu_0 \epsilon_0} \Delta \vec{A} = \mu \mu_0 \vec{j}(c^2)$$

$$\ddot{\varphi} - \frac{1}{\mu \epsilon \mu_0 \epsilon_0} \Delta \varphi = \frac{\rho}{\epsilon \epsilon_0} \quad (c^2)$$

$$\vec{B} = \text{rot } \vec{A}$$

$$\vec{E} = -\dot{\vec{A}} - \text{grad } \varphi$$

$$\frac{1}{\mu \epsilon \mu_0 \epsilon_0} \text{div } \vec{A} + \ddot{\varphi} = 0$$

$$c = \frac{1}{\sqrt{\mu_0 \epsilon_0}}$$

$$c' = \frac{1}{\sqrt{\mu_0 \epsilon_0 \mu \epsilon}}$$

Im Vakuum: ($\mu = \epsilon = 1$; $\rho \neq 0$; $\vec{j} = 0$)

$$\text{rot } \ddot{\vec{A}} - c^2 \text{rot } \Delta \vec{A} = 0 \quad \leadsto \quad \ddot{\vec{B}} - c^2 \Delta \vec{B} = 0$$

$$\frac{\partial^2}{\partial t^2} (\dot{\vec{A}} + \text{grad } \varphi) - \Delta (\dot{\vec{A}} + \text{grad } \varphi) = 0 \quad \leadsto \quad \ddot{\vec{E}} - c^2 \Delta \vec{E} = 0$$

Spezialfall: γ als Stellvertreter von A, φ, E, B

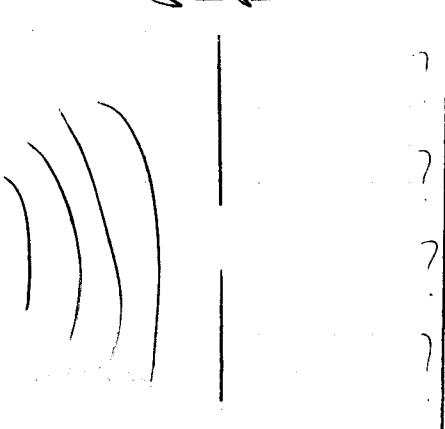
$$\ddot{\gamma}(\vec{r}, t) - c^2 \Delta \gamma(\vec{r}, t) = 0$$

$$\text{Ansatz: } \gamma(\vec{r}, t) = \gamma(\vec{r}) \cdot e^{-i\omega t}$$

$$-\omega^2 \gamma - c^2 \Delta \gamma = 0$$

$$\text{mit } k = \frac{\omega}{c} \quad \Delta \gamma + k^2 \gamma = 0$$

Beugung



Greenscher Integralsatz

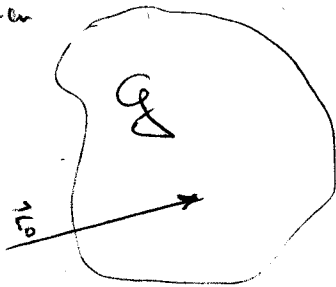
$$\vec{v} = u \cdot \text{grad } \gamma - \gamma \cdot \text{grad } u$$

$$\int_V \text{div } \vec{v} \cdot dV = \int_{\partial V} \vec{v} \cdot d\vec{f}$$

$$\text{div } \vec{v} = \text{grad } u \cdot \text{grad } \gamma + u \Delta \gamma - \text{grad } \gamma \cdot \text{grad } u - \gamma \Delta u$$

$$\int_V (u \Delta \gamma - \gamma \Delta u) dV = \int_{\partial V} (u \text{grad } \gamma - \gamma \text{grad } u) \cdot d\vec{f}$$

innen



außen

γ Sei auf dem Rand von G bekannt, dann ist γ auch in jedem inneren Punkt bekannt

u kann frei gesetzt werden

Vorschlag: $u(\vec{r}) = \frac{e^{ik|\vec{r}-\vec{r}_0|}}{|\vec{r}-\vec{r}_0|}$

$$\Delta u + k^2 u = -4\pi \delta^{(3)}(\vec{r}-\vec{r}_0)$$

"Greensche Funktion"

vgl. $\Delta \gamma + k^2 \gamma = 0$

Beweis:

$$R := |\vec{r} - \vec{r}_0|$$

$$u = \frac{e^{ikR}}{R}$$

Gesucht ist $\Delta u = \Delta \frac{e^{ikR}-1}{R} + \Delta \frac{1}{R}$

$-4\pi \delta^{(3)}(\vec{r}-\vec{r}_0)$

$$\Delta \rightarrow \frac{\partial^2}{\partial R^2} + \frac{2}{R} \frac{\partial}{\partial R} \Rightarrow \Delta \frac{e^{ikR}-1}{R} = -k^2 u$$


$$u \Delta \gamma - \gamma \Delta u = u (-k^2 \gamma) - \gamma (-k^2 u) \mp 4\pi \delta^{(3)}(\vec{r} - \vec{r}_0)$$

$$= 4\pi \delta^{(3)}(\vec{r} - \vec{r}_0) \gamma(\vec{r})$$

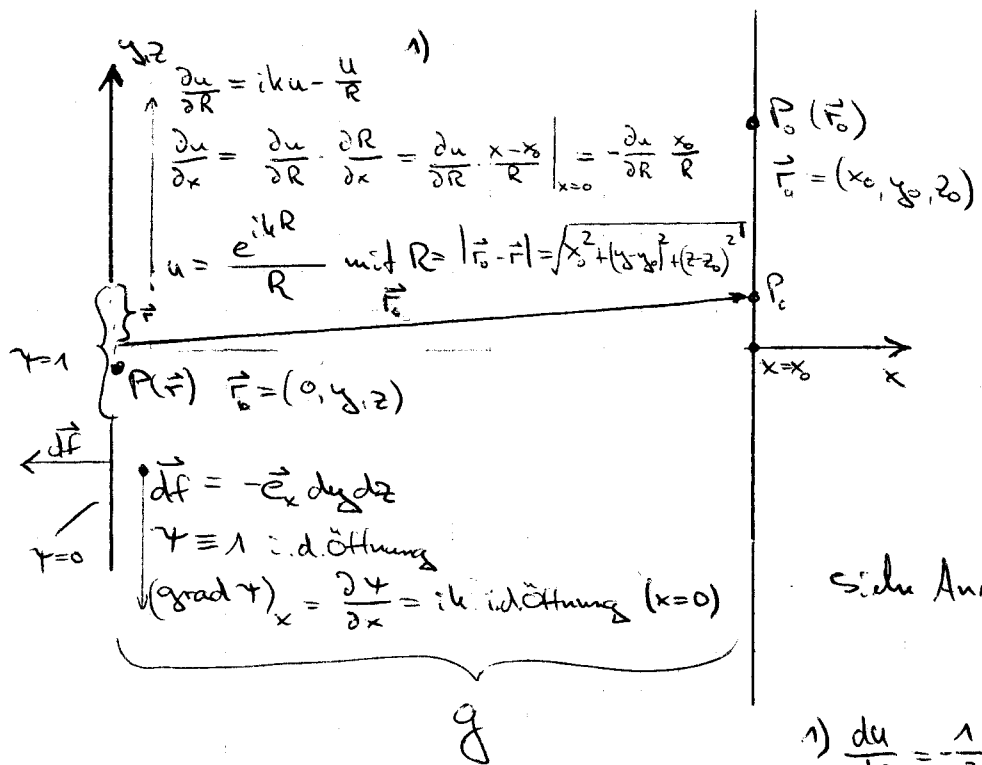
$$\int_V (u \Delta \gamma - \gamma \Delta u) dV = 4\pi \int_V \delta^{(3)}(\vec{r} - \vec{r}_0) \gamma(\vec{r}) dV = 4\pi \gamma(\vec{r}_0)$$

$$\gamma(\vec{r}_0) = \frac{1}{4\pi} \int (u \operatorname{grad} \gamma - \gamma \operatorname{grad} u) d\vec{f}$$

gibt γ im inneren an, wenn γ am Rand bekannt



$\gamma = e^{ikx}$
 $\Delta \gamma + k^2 \gamma = 0 \quad \forall$



Siehe Anmerkungen

$$1) \frac{du}{dR} = \frac{1}{R} \cdot ik R e^{ikR} + \frac{1}{R} \cdot ik \cdot e^{ikR}$$

$$= -\frac{u}{R} + ik u$$

$$\gamma(\vec{r}_0) = \frac{1}{4\pi} \int_{\text{Öffnungen}} (\dots) d\vec{f}$$

1. Näherung: $x_0 \gg$ Dimension der Öffnung
 $(x_0 \rightarrow \infty)$ "Fraunhofer Beugnung"
 $R \rightarrow \infty$

$$\gamma(x_0, y_0, z_0) = \frac{1}{4\pi \epsilon_0} \int_{\text{Öffnungen}} dy dz \left\{ \frac{e^{ikR}}{R} (-ik) - \frac{x_0}{R} ik \frac{e^{ikR}}{R} \right\}$$

$$= \frac{-ik}{4\pi \epsilon_0} \int_{\text{Öffnungen}} dy dz \frac{e^{ikR}}{R} \left(1 + \frac{x_0}{R} \right)$$

2. Näherung

$$R = x_0 \sqrt{1 + \underbrace{\frac{(y-y_0)^2}{x_0^2} + \frac{(z-z_0)^2}{x_0^2}}_{\text{klein gegen 1}}} \stackrel{\text{Taylor}}{\approx} x_0 \left(1 + \frac{(y-y_0)^2 + (z-z_0)^2}{2x_0^2} \right)$$

$$\Psi(x_0, y_0, z_0) = \dots = -\frac{ih}{4\pi} \int_{\text{Öffnung}} dy dz \frac{e^{ikx + \frac{y^2 + z^2 - 2yy_0 - 2zz_0 + y_0^2 + z_0^2}{2x_0}}}{x_0(1+\dots)}$$

3. Näherung

$y, z \ll x_0 \Rightarrow y^2, z^2$ gegen y, z vernachlässigen

Konstanten vor das Integral, im Nenner sei $R = x_0$

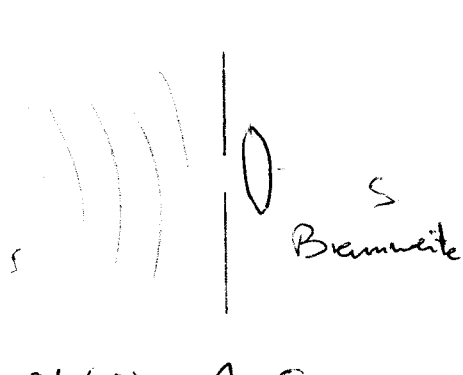
$$\dots = -\frac{ih}{2\pi} e^{ika} \int_{\text{Öffnung}} dy dz e^{-ik(y \cdot \frac{y_0}{x_0} + z \cdot \frac{z_0}{x_0})}$$

$$\eta = \frac{y_0}{x_0} \quad \xi = \frac{z_0}{x_0}$$

$$\Psi(\eta, \xi) \sim \int_{\text{Öffnung}} dy dz e^{-ik(y\eta + z\xi)}$$

$$= \int_{-\infty}^{+\infty} dy dz H(y, z) e^{-iky\eta} e^{-ikz\xi}$$

vgl. Fourier-Int.



$$\psi(\vec{r}) = \frac{1}{4\pi} \oint (u \operatorname{grad} \psi - \psi \operatorname{grad} u) d\vec{f}$$

Voraussetzung ist, dass ψ Lsg von $\Delta \psi + k^2 \psi = 0$

$u =$ Greensche Funktion, gewählt, sodass

$$\Delta u + k^2 u = -4\pi \delta^{(3)}(\vec{r} - \vec{r}_0)$$

$$u = \frac{e^{ikR}}{R} \quad \text{mit } R = |\vec{r} - \vec{r}_0|$$

einfallende Welle: $\psi = e^{ikx}$, Näherung $\frac{1}{R} \ll k - \frac{z_0}{2}$; $R \gg \lambda$

$$\psi(x_0, y_0, z_0) \sim \int_{\text{Öffnung}} dy dz e^{ikR} \cdot \frac{1}{R} \left(1 + \frac{x_0}{R}\right) \quad R_0 = \sqrt{x_0^2 + y_0^2 + z_0^2}$$

$$R = \sqrt{R_0^2 + y_0^2 + z_0^2 - 2yy_0 - 2zz_0} = R_0 \sqrt{1 + \frac{y_0^2 + z_0^2}{R_0^2} - \frac{2yy_0 + 2zz_0}{R_0^2}}$$

$$= R_0 \left(1 + \frac{y_0^2 + z_0^2}{2R_0^2} - \frac{yy_0 + zz_0}{R_0^2}\right) \quad (\text{nach Taylor})$$

$$\psi(x_0, y_0, z_0) \sim \cancel{\frac{1}{R_0}} \frac{1}{R_0} e^{ikR_0} \int dy dz \frac{1}{(1+\dots)} \left(1 + \frac{x_0}{R_0(1+\dots)}\right)$$

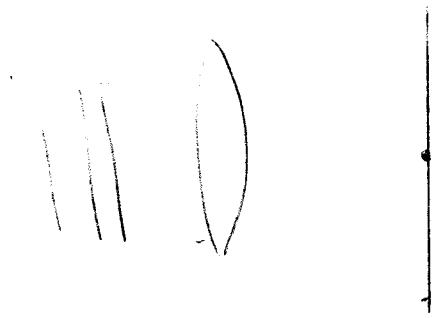
$$\cdot e^{ik\left(\frac{y_0^2 + z_0^2}{2R_0} - yy_0 + zz_0\right)} \quad ; \quad \eta = \frac{y_0}{R_0}, \quad \xi = \frac{z_0}{R_0}$$

$R_0 \gg d$ 2. Näherung

$$\psi(x_0, y_0, z_0) \sim \int_{\text{Öff}} dy dz e^{ik\left(\frac{y_0^2 + z_0^2}{2R_0} - yy_0 + zz_0\right)} \Rightarrow \text{Fraunhofer}$$

$$\sim \int dy dz e^{-ik(yy_0 + zz_0)} \Rightarrow \text{Fraunhofer}$$

Intensität $\sim |\psi|^2$



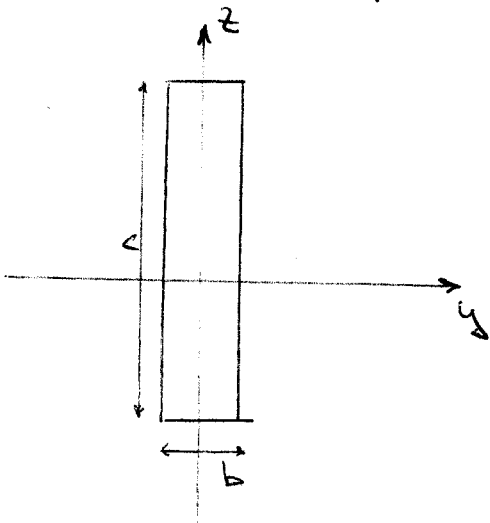
$$\int_{-\infty}^{+\infty} dy \int_{-\infty}^{+\infty} dz e^{ik(\eta y + \rho z)} = \underbrace{\int_{-\infty}^{+\infty} dy e^{ik\eta y}}_{2\pi \delta(k\eta)} \cdot \underbrace{\int_{-\infty}^{+\infty} dz e^{ik\rho z}}_{2\pi \delta(k\rho)}$$

undurchsichtige Objekte

$\int_{-\infty}^{+\infty} dy \int_{-\infty}^{+\infty} dz \dots = \int_{\text{Objekt}} dy \int_{-\infty}^{+\infty} dz e^{-ik(\eta y + \rho z)}$
Rabinet'sches Theorem

Bergungsscheinung ist gleich bis auf zentralen Punkt

Beispiel = Spalt

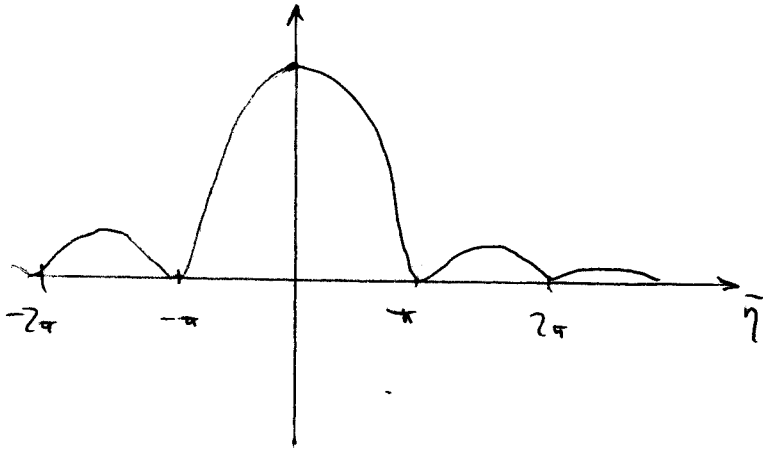


$$\psi \sim \int_{-b/2}^{b/2} dy e^{-ik\eta y} \cdot \int_{-c/2}^{c/2} dz e^{-ik\rho z}$$

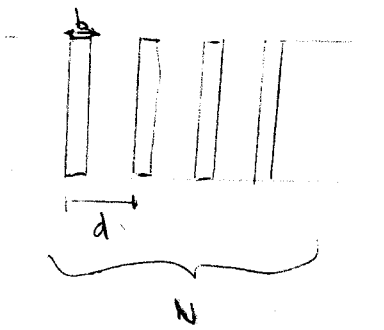
$$\psi = \frac{e^{-ik\eta y}}{-ik\eta} \Big|_{-b/2}^{b/2} = \frac{\sin k\eta \frac{b}{2}}{\eta k \frac{b}{2}} \cdot \frac{\sin k\rho \frac{c}{2}}{\rho k \frac{c}{2}}$$

$$\psi^2 \sim \left(\frac{\sin \tilde{\eta}}{\tilde{\eta}} \right)^2 \left(\frac{\sin \tilde{\rho}}{\tilde{\rho}} \right)^2$$

Intensitätsverteilung:



Beispiel 2: Gitter



$$\Psi \sim \sum_{k=1}^N \int_{0+nd}^{b+nd} dy e^{-iky} = \sum_{k=1}^N \frac{e^{-ik(b+nd)} - e^{-ik(0+nd)}}{-ik}$$

subst $x = y - nd$ $dx = dy$

$$\rightarrow \Psi \sim \sum_{n=1}^N e^{-iknd} \int_0^b dx e^{-ikx} = \Psi_{\text{Spalt}} \cdot \sum_{n=1}^N e^{-inkd}$$

$$I_{\text{Gitter}} = I_{\text{Spalt}} \cdot \left| \sum_{n=1}^N e^{-inkd} \right|^2$$

geom. Reihe $\sum_{n=0}^N x^n = \frac{x^{N+1} - 1}{x - 1}$

$$I \sim \left| \frac{e^{-ikNd} - 1}{e^{-ikd} - 1} \right|^2 = \frac{\sin^2 \frac{kNd}{2}}{\sin^2 \frac{kd}{2}}$$

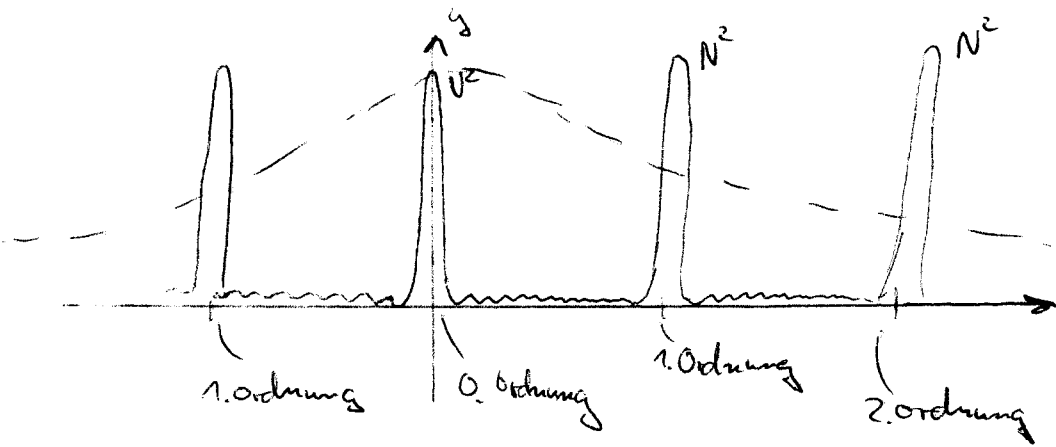
$$\eta \rightarrow \frac{2\pi m}{kd} + \epsilon, \quad \frac{kNd}{2} \rightarrow \frac{2\pi N\pi}{kd} + N\epsilon$$

$\eta \rightarrow$

$$\text{bzw. } \frac{kd}{2} \eta \rightarrow m\pi + \epsilon$$

$$I \rightarrow \frac{\sin^2(mN\pi + N\epsilon)}{\sin^2(m\pi + \epsilon)} = \frac{\sin^2(N\epsilon)}{\sin^2 \epsilon} \rightarrow \frac{N^2 \epsilon^2}{\epsilon^2}$$

$$|e^{-i\alpha} - 1|^2 = (e^{-i\alpha} - 1)(e^{i\alpha} - 1) = 2 - e^{i\alpha} - e^{-i\alpha} = 2(1 - \cos \alpha) = 4 \sin^2 \frac{\alpha}{2}$$



Statistisch verteilte Objekte (Löcher)

$$\Psi \sim \sum_{n=1}^N e^{ikd_n \eta} \quad \Psi_{\text{Einzelobjekt}}$$

$$I_{\text{stat}} = I_{\text{Einzelobj.}} \cdot y_s$$

$$y_s = \left| \sum_{n=1}^N e^{-ikd_n \eta} \right|^2 = \sum_{n=1}^N \sum_{m=1}^N e^{-ikd_n \eta} \cdot e^{ikd_m \eta}$$

$$= N + \underbrace{\sum_{\substack{n,m \\ n \neq m}} e^{iky(d_m - d_n)}}_{\approx 0 \text{ wg. Stat. verteilung}}$$

$I_{\text{stat.}} = N \cdot I_{\text{Einzelobj.}} \Rightarrow$ Intensität wird nur verstärkt, aber
selbes Bild wie nur ein Objekt/Loch

Polarisation

Maxwell-Gleichungen ohne Quelle

$$\vec{\nabla} \cdot \vec{B} = 0$$

$$\vec{\nabla} \times \vec{E} + \dot{\vec{B}} = 0$$

$$\vec{\nabla} \cdot \vec{D} = 0$$

$$\vec{\nabla} \times \vec{H} - \dot{\vec{D}} = 0$$

 $e^{-i\omega t}$ Annahme

Herleitung Wellengleichung

$$\vec{\nabla} \times \vec{E} - i\omega \vec{B} = 0$$

$$\vec{D} = \epsilon \vec{E}, \quad \vec{B} = \mu \vec{H}$$

$$\vec{\nabla} \times \vec{B} + i\omega \vec{D} = 0$$

$$\Rightarrow \vec{\nabla} \times \vec{E} - i\omega \vec{B} = 0$$

$$\vec{\nabla} \times \vec{B} + i\omega \mu \epsilon \vec{E} = 0 \quad (*)$$

$$\vec{\nabla} \times (\vec{\nabla} \times \vec{B}) + i\omega \mu \epsilon \vec{\nabla} \times \vec{E} = 0$$

$$\vec{\nabla} \times (\vec{\nabla} \times \vec{B}) - \mu \epsilon \omega^2 \vec{B} = 0$$

$$\vec{\nabla} \times (\vec{\nabla} \times \vec{B}) = \vec{\nabla} (\vec{\nabla} \cdot \vec{B}) - \nabla^2 \vec{B} = -\nabla^2 \vec{B}$$

Helmholtzsche Wellengleichung

$$(\nabla^2 + \mu \epsilon \omega^2) \vec{B} = 0$$

mögliche Lsg: $e^{ikx - i\omega t}$

$$(\nabla^2 + \mu \epsilon \omega^2) \vec{E} = 0$$

 $k = \sqrt{\mu \epsilon} \omega$ Dispersionsrelation

$$e^{ikx - i\omega t} = e^{ik(x - vt)}$$

$$; v = \frac{\omega}{k} = \frac{1}{\sqrt{\mu \epsilon}} = \frac{c}{n}$$

 $v =$ Phasengeschwindigkeit

$$\lambda = \frac{2\pi}{k}$$

 $n = \sqrt{\frac{\mu}{\mu_0} \frac{\epsilon}{\epsilon_0}}$ BrechungsindexGrundlösung d. Wellengleichung

$$u(\vec{x}, t) = a e^{i\vec{k} \cdot \vec{x} - i\omega t} + b e^{-i\vec{k} \cdot \vec{x} - i\omega t}$$

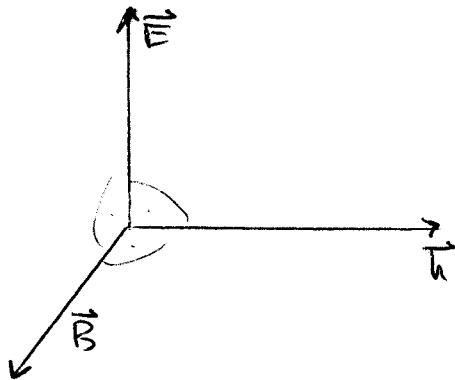
Wellenvektor $\vec{k} = k\vec{e}$

Forderung: Lösung möge Maxwell-Gl. genügen

$$\begin{aligned} \vec{E}(\vec{x}, t) &= E_0 e^{i(\vec{k}_1 \vec{x} - \omega_1 t)} \\ \vec{B}(\vec{x}, t) &= B_0 e^{i(\vec{k}_2 \vec{x} - \omega_2 t)} \end{aligned} \quad \left| \quad \begin{aligned} \text{rot } \vec{E} &= -\dot{\vec{B}} \\ i(\vec{k}_1 \times \vec{E}_0) e^{i(\vec{k}_1 \vec{x} - \omega_1 t)} &= i\omega^2 B_0 e^{i(\vec{k}_2 \vec{x} - \omega_2 t)} \\ \omega_1 &= \omega_2 = \omega \\ \vec{k}_1 &= \vec{k}_2 = \vec{k} \end{aligned} \right. \quad \vec{k} \times \vec{E}_0 = \omega \vec{B}_0$$

$$\text{div } \vec{E} = 0 \quad \vec{k} \cdot \vec{E}_0 = 0$$

$$\text{div } \vec{B} = 0 \quad \vec{k} \cdot \vec{B}_0 = 0$$



$\vec{E}_0, \vec{B}_0, \vec{k}$ bilden orthogonales Rechtssystem

→ Transversale Welle

Sei \vec{k} reell, dann können wir einen Satz von orthogonalen Vektoren $(\vec{e}_1, \vec{e}_2, \vec{k})$ einführen, so dass

$$\begin{aligned} \vec{E}_0 &= E_0 \vec{e}_1, \quad \vec{B}_0 = \vec{e}_2 \sqrt{\mu \epsilon} E_0 & E_0, E_0' \text{ i. allg. komplex. Größen sind.} \\ \text{oder } \vec{E}_0 &= \vec{e}_2 \cdot E_0', \quad \vec{B}_0 = -\epsilon \sqrt{\mu \epsilon} E_0' \end{aligned}$$

Offensichtlich reicht \vec{E} vollständig aus, um die gesamte elektromagnetische Welle zu beschreiben

Def.: Bei einer Welle der Art

$$\vec{E}_1 = \vec{e}_1 E_1 e^{i(\vec{k} \vec{x} - \omega t)} \quad (\text{oder ? Möglichkeit})$$

Spricht man von einer linear polarisierten Welle

allg. Lsg.:

$$\vec{E}(\vec{x}, t) = (\vec{e}_1 E_1 + \vec{e}_2 E_2) e^{i\vec{k}\vec{x} - i\omega t}$$

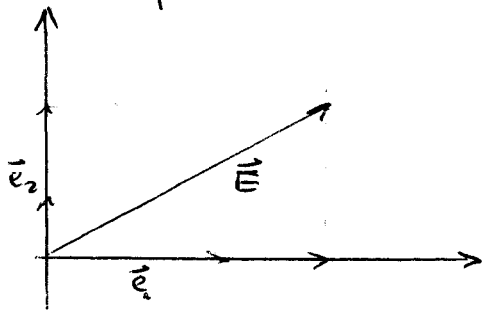
$$B_j = \sqrt{\mu\epsilon} \frac{\vec{k} \times \vec{E}_j}{k} \quad j=1,2,\dots$$

Ausbreitungsrichtung $\vec{k} = k \vec{u}$

$$E_1 = |E_1| e^{i\varphi} \quad ; \quad E_2 = |E_2| e^{i(\varphi + \delta)}$$

$\delta = 0$ phasengleich \Rightarrow linear polarisiert

$\delta \neq 0$ phasenverschieden \Rightarrow elliptisch polarisiert



Beispiel: $\delta = \pm \frac{\pi}{2}$ $|E_1| = |E_2|$

$$\vec{E}(\vec{x}, t) = |E_2| (\vec{e}_1 \pm \vec{e}_2) e^{i\vec{k}\vec{x} - i\omega t}$$

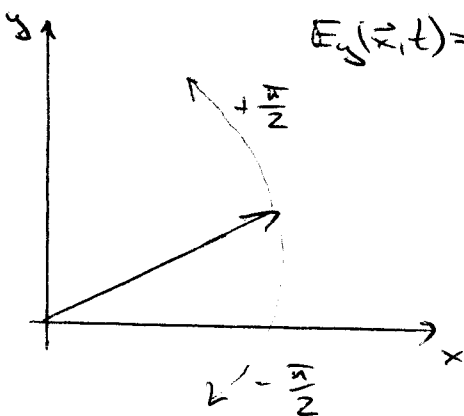
o.B.d.A. $\vec{k} = k \vec{e}_z$, $\vec{e}_1 = \vec{e}_x$ $\vec{e}_2 = \vec{e}_y$

$$\text{Re}(\vec{E}(\vec{x}, t))$$

$$E_x(\vec{x}, t) = E_0 \cos(kz - \omega t)$$

$$E_y(\vec{x}, t) = \mp E_0 \sin(kz - \omega t)$$

Zirkular polarisiert



Reflexion und Brechung an der Grenzfläche zweier Dielektrika

Übersicht:

- (a) Einfallswinkel = Reflexionswinkel
- (b) Einfallswinkel α und Brechungswinkel α'
Snelliessches Brechungsgesetz

kinematisch
Aussagen

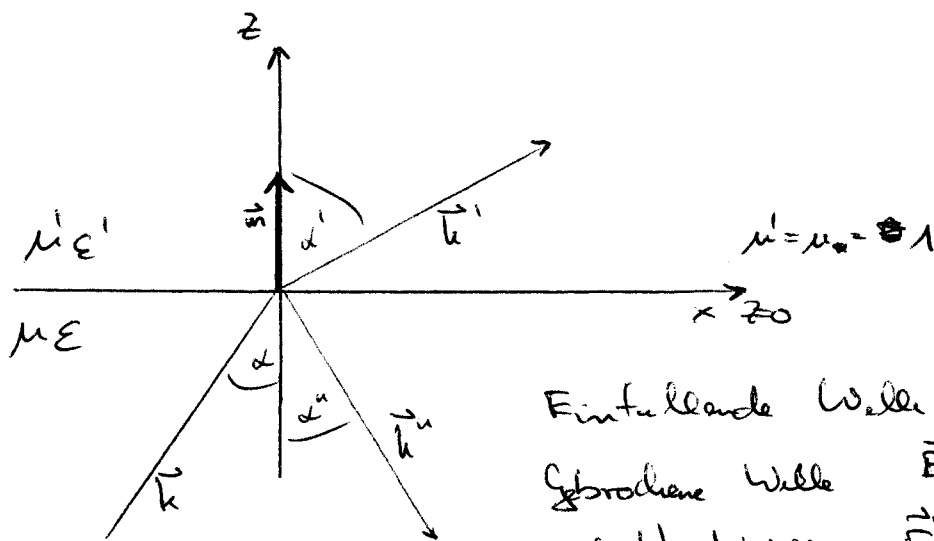
$$\frac{\sin \alpha}{\sin \alpha'} = \frac{u'}{u}$$

- (c) Intensität des gebr. und refl. Strahl
- [(d) Phasenänderung, Polarisation]

dynamische
Aussagen

(a), (b) ergeben sich nur aus Wellennatur und Existenz von Grenzbed.

(c), (d) detaillierte Struktur wichtig



Einfallende Welle $\vec{E} = \vec{E}_0 e^{i(\vec{k} \cdot \vec{x} - \omega t)}$
 Gebrochene Welle $\vec{E}' = \vec{E}'_0 e^{i(\vec{k}' \cdot \vec{x} - \omega t)}$
 Reflektierte Welle $\vec{E}'' = \vec{E}''_0 e^{i(\vec{k}'' \cdot \vec{x} - \omega t)}$

An der Grenzfläche müssen Grenzbed. erfüllt sein, an jedem Ort zu jedem Zeitpunkt

Phasen können sich nur um Vielfache von π unterscheiden

$$(\vec{k}' - \omega' t)_{z=0} \stackrel{!}{=} (\vec{k} - \omega t)_{z=0} + n\pi \stackrel{!}{=} (\vec{k}'' - \omega'' t)_{z=0} + m\pi$$

$$\omega = \omega' = \omega'' = \omega$$

$$m = n = 0$$

$$(\vec{k}'_{\perp})_{z=0} = (\vec{k}_{\perp})_{z=0} = (\vec{k}''_{\perp})_{z=0}$$

$$k \sin \alpha = k' \sin \alpha' = k'' \sin \alpha''$$

(siehe cos)

$$k = \omega \sqrt{\epsilon} \quad \text{mit } \mu = 1 \quad \Rightarrow |k'| = |k''| = k$$

$$\Rightarrow (a) \quad \alpha = \alpha''$$

$$\Rightarrow (b) \quad \frac{\sin \alpha}{\sin \alpha'} = \frac{n'}{n} = \frac{\sqrt{\epsilon'}}{\sqrt{\epsilon}}$$

Grenzbedingungen:

Normalkomponente von \vec{D}, \vec{B} stetig
 Tangentialkomponente von \vec{E}, \vec{H} stetig

$$[\epsilon(\vec{E}_0 + \vec{E}_0'') - \epsilon' \vec{E}_0'] \cdot \vec{u} = 0 \quad (1)$$

$$[\vec{k} \times \vec{E}_0 + \vec{k}'' \times \vec{E}_0'' - k' \times \vec{E}_0'] \cdot \vec{u} = 0 \quad (2)$$

$$(\vec{E}_0 + \vec{E}_0'' - \vec{E}_0') \times \vec{u} = 0 \quad (3)$$

$$[\vec{k} \times \vec{E}_0 + \vec{k}'' \times \vec{E}_0'' - \vec{k}' \times \vec{E}_0'] \times \vec{u} = 0 \quad (4)$$

Fallunterscheidung

(i) Polarisationsvektor $\perp \vec{k}, \vec{u}$

(ii) \perp

\parallel Einfallsebene

andere durch Lin.-Komb.

$$(i) \text{ aus (3) : } (E_0 + E_0'' - E_0') = 0 \Rightarrow E_0'' = E_0' - E_0$$

$$\text{aus (4) : } \sqrt{\epsilon} (E_0 - E_0'') \cos \alpha - \sqrt{\epsilon'} E_0' \cos \alpha' = 0$$

$$\Rightarrow \sqrt{\epsilon} (2E_0 - E_0') \cos \alpha = \sqrt{\epsilon'} E_0' \cos \alpha' \quad u = \sqrt{\epsilon}, u' = \sqrt{\epsilon'}$$

$$\frac{E_0'}{E_0} = \frac{2 \sqrt{\epsilon} \cos \alpha}{\sqrt{\epsilon'} \cos \alpha' + \sqrt{\epsilon} \cos \alpha}$$

$$u' \cos \alpha' = \sqrt{(u')^2 - (u')^2 \sin^2 \alpha'}$$

$$\frac{E_0'}{E_0} = \frac{2u \cos \alpha}{u \cos \alpha + \sqrt{(u')^2 - u^2 \sin^2 \alpha'}}$$

$$\frac{E_0''}{E_0} = \frac{u \cos \alpha - \sqrt{(u')^2 - u^2 \sin^2 \alpha'}}{u \cos \alpha + \sqrt{(u')^2 - u^2 \sin^2 \alpha'}}$$

Fresnelsche Formel
für $\vec{E} \perp$ Einfallsebene

$$(ii) \cos \alpha (E_0 - E_0'') - \cos \alpha' E_0' = 0$$

$$\sqrt{\epsilon} (E_0 + E_0'') - \sqrt{\epsilon'} E_0' = 0$$

$$\frac{E_0'}{E_0} = \frac{2u u' \cos \alpha}{(u')^2 \cos \alpha + u \sqrt{(u')^2 - u^2 \sin^2 \alpha}}$$

$$\frac{E_0''}{E_0} = \frac{(u')^2 \cos \alpha - u \sqrt{(u')^2 - u^2 \sin^2 \alpha}}{+}$$

Fresnelsche Formel
für $\vec{E} \parallel$ Einfallsebene

Senkrechter Einfall \cdot ($\alpha = 0$)

$$\frac{E_0'}{E_0} = \frac{2n}{n+n'}$$

$$\frac{E_0''}{E_0} = \frac{n-n'}{n+n'}$$

Ebene Wellen

$$\vec{E}, \vec{H} \dots \sim e^{i\vec{k}\vec{r} - i\omega t}$$

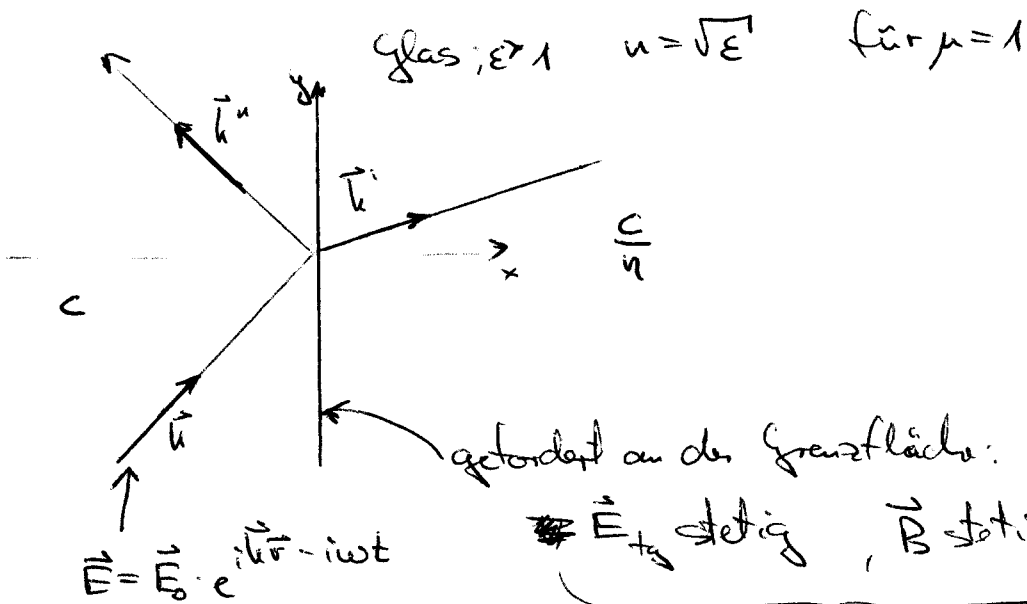
$$\vec{E}(\vec{r}, t) = \vec{E}_0 e^{i\vec{k}\vec{r} - i\omega t}; \vec{E}_0 = (1, i, 0)$$

$$\text{rot} \rightarrow i\vec{k} \times$$

$$\text{rot } \vec{E} = i\vec{k} \times \vec{E}_0 e^{i\vec{k}\vec{r} - i\omega t} = i\vec{k} \times \vec{E}$$

$$\text{div} \rightarrow i\vec{k} \cdot$$

$$\frac{\partial}{\partial t} \rightarrow -i\omega$$



i) für alle $t \rightsquigarrow \omega' = \omega'' = \omega$

ii) für alle $y \rightsquigarrow k'_y = k''_y = k_y$

$$\frac{\omega}{k} = c = \frac{\omega''}{k''}; \quad \frac{\omega'}{k'} = \frac{c}{n} \quad \text{mit } \omega'' = \omega' = \omega$$

$$\rightsquigarrow k'' = k \quad k' = kn \quad \text{mit } k'_y = k''_y = k_y$$

$$\rightsquigarrow k''_x = -k_x \rightsquigarrow \text{Einfallswinkel} = \text{Ausfallswinkel}$$

$$\rightsquigarrow k'_y = k_y \rightsquigarrow k' \cdot \sin \alpha' = k \cdot \sin \alpha$$

$$\rightsquigarrow \boxed{n \cdot \sin \alpha' = \sin \alpha}$$

Pol. \perp zur Einfallsebene

$$\bullet E + E'' = E'$$

$$\vec{B} = -\text{rot } \vec{E}$$

$$-i\omega\vec{B} = -i\vec{k} \times \vec{E} \leadsto B = \frac{1}{c} E, B'' = \frac{1}{c} E''$$

$$\bullet (E - E'') \cos \alpha = n E' \cos \alpha'$$

\Rightarrow

$$E'' = \frac{\cos \alpha - n \cos \alpha'}{n \cos \alpha' + \cos \alpha} E$$

$$E' = \frac{2 \cos \alpha}{n \cos \alpha' + \cos \alpha} E$$

Pol. \parallel zur Einfallsebene

$$E'' = \frac{n \cos \alpha - \cos \alpha'}{n \cos \alpha + \cos \alpha'} E$$

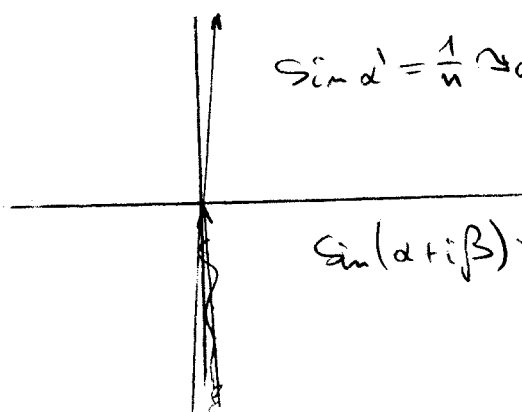
$$E' = \frac{2n \cos \alpha}{n \cos \alpha + \cos \alpha'} E$$

Totalreflexion

$$n \cdot \sin \alpha' = \sin \alpha$$

$$n > 1$$

falls $n \cdot \sin \alpha' > 1 \leadsto \alpha'$ wird imaginär


$$\sin \alpha' = \frac{1}{n} \leadsto \alpha' < \frac{\pi}{2}$$
$$\sin(\alpha + i\beta) = \sin \alpha + \cosh \beta + i \cos \alpha \sinh \beta > 1$$

\uparrow
0

Brewster Winkel:

$$E'' = 0$$

$$\perp \cos \alpha = n \cdot \cos \alpha'$$

$$\cos^2 \alpha = n^2 \cdot (1 - \sin^2 \alpha')$$

$$\cos^2 \alpha = n^2 - \sin^2 \alpha$$

$$1 = n^2$$

$$\parallel n^2 \cos^2 \alpha = \cos^2 \alpha'$$

$$= 1 - \sin^2 \alpha'$$

$$n^2 \cos^2 \alpha = 1 - \frac{\sin^2 \alpha}{n^2}$$

$$\cos^2 \alpha = \frac{1}{1 + \tan^2 \alpha}$$

$$\sin^2 \alpha = \frac{\tan^2 \alpha}{1 + \tan^2 \alpha}$$

$$n^2 = 1 + \tan^2 \alpha - \frac{\tan^2 \alpha}{n^2} = 1 + \tan^2 \alpha \left(1 - \frac{1}{n^2}\right)$$

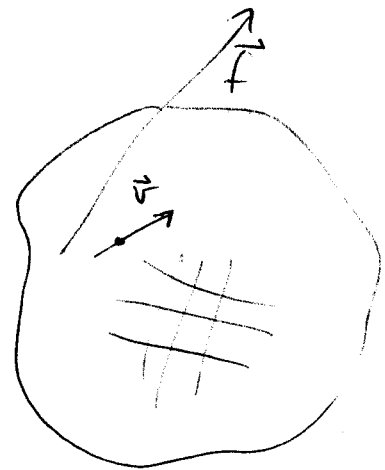
$$n^2(n^2 - 1) = \tan^2 \alpha (n^2 - 1)$$

$$\Rightarrow \boxed{\tan \alpha_B = n}$$

Intensität

Erhaltungssatz $\dot{w}_{\text{med}} + \text{div } \vec{j}_w = 0$

$$\text{Ziel: } \frac{d}{dt}(w_{\text{el}} + w_{\text{mag}}) + \text{div } \vec{S} = 0$$



$$\vec{f} = e(\vec{E} + \vec{v} \times \vec{B}) \quad \text{Lorentz-Kraft}$$

$$\dot{w}_{\text{med}} = \vec{f} \cdot \vec{v} = e \vec{E} \cdot \vec{v} = \vec{j} \cdot \vec{E} = (\text{rot } \vec{H} - \dot{\vec{D}}) \cdot \vec{E}$$

$$\left. \begin{aligned} \vec{D} &= \epsilon_0 \vec{E} \\ \vec{B} &= \mu_0 \vec{H} \end{aligned} \right\} \text{keine Materie}$$

$$\dot{\vec{D}} \cdot \vec{E} = \epsilon_0 \dot{\vec{E}} \cdot \vec{E} = \frac{\epsilon_0}{2} \frac{\partial}{\partial t} (\vec{E} \cdot \vec{E}) = \frac{1}{2} \frac{\partial}{\partial t} (\vec{D} \cdot \vec{E})$$

~~$$(\vec{\nabla} \times \vec{H}) \cdot \vec{E} = \vec{\nabla} \times \vec{H} \cdot \vec{E} =$$~~

$$(\vec{\nabla} \times \vec{H}) \cdot \vec{E} = \epsilon^{ijk} (\partial_j H_k) E_i = \epsilon^{ijk} \partial_j (H_k E_i) - \epsilon^{ijk} H_k \partial_j E_i$$

~~$$= \epsilon^{ijk} \partial_j (H_k E_i)$$~~

$$\left. \begin{aligned} \partial_j (\epsilon^{ijk} H_k E_i) &= \epsilon^{ijk} \partial_j (H_k E_i) \\ (\vec{H} \times \vec{E})_j & \end{aligned} \right|$$

$$\begin{aligned} \epsilon^{ijk} H_k \partial_j E_i &= \mu_0 \epsilon^{kij} \partial_j E_i \\ &= -(\text{rot } \vec{E})_k = \dot{B}_k \end{aligned}$$

$$= \text{div}(\vec{H} \times \vec{E}) - \vec{H} \cdot \dot{\vec{B}}$$

$$w_{\text{mech}} = -\frac{1}{2} \frac{\partial}{\partial t} (\vec{D} \cdot \vec{E} + \vec{B} \cdot \vec{H}) - \text{div}(\vec{E} \times \vec{H})$$

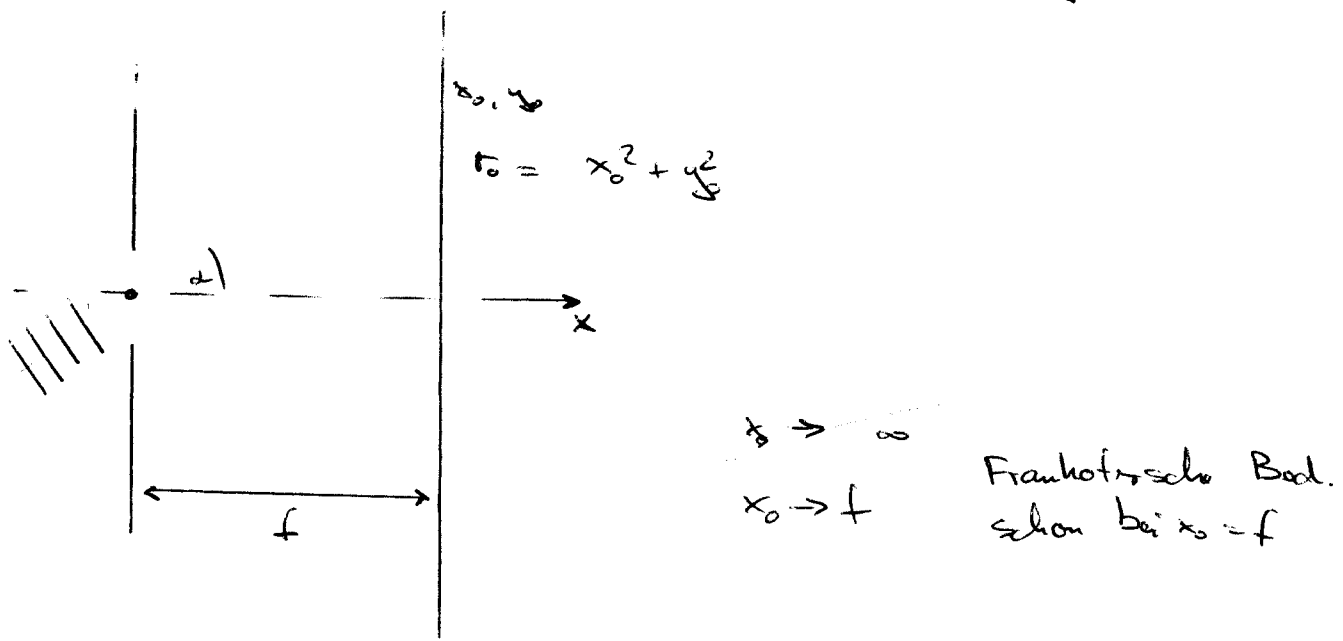
$$\text{im materiefreien Raum: } \frac{\partial}{\partial t} \left(\frac{\vec{D} \cdot \vec{E} + \vec{B} \cdot \vec{H}}{2} \right) + \text{div}(\vec{E} \times \vec{H}) = 0$$

$$\Rightarrow w_{\text{el}} = \frac{1}{2} \vec{D} \cdot \vec{E} \quad w_{\text{mag}} = \frac{1}{2} \vec{B} \cdot \vec{H}$$

$$\text{Energiedichtestrom: } \vec{S} = \vec{E} \times \vec{H}$$

$$\text{in Materie: } \frac{\partial}{\partial t} (w_{\text{mech}} + w_{\text{el}} + w_{\text{mag}}) + \text{div} \vec{S} + \text{div} \vec{j}_{\text{mech}} = 0$$

Kommentar zur Beugung einer schrägen Welle



Schräg einfallende Welle $\psi = e^{ik(x \cos \alpha + y \sin \alpha)}$

$$k = \frac{e^{ikR}}{R} \quad R = \sqrt{(x-x_0)^2 + (y-y_0)^2}$$

$$\psi(x_0, y_0) \sim \int dy e^{ikR} \quad R = \text{const} + y(\dots)$$

↑ durch y ausdrücken

$$\Rightarrow R = \text{const} + y(a + by)$$

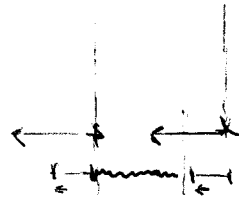
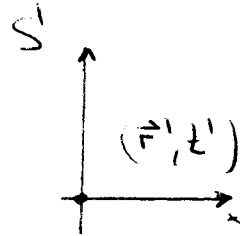
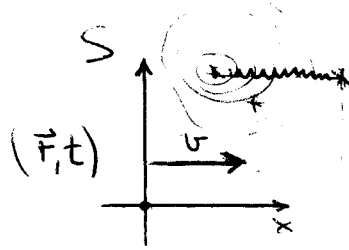
Poynting-Vektor

$$\vec{S} = \vec{E} \times \vec{H}$$

ebene Welle $\vec{S}^t = \frac{1}{2} \sqrt{\frac{\epsilon_0}{\mu_0}} E_0^2$

Spezielle Relativitätstheorie

$$c = \frac{1}{\sqrt{\epsilon_0 \mu_0}}$$



← Entgegenlaufen

Lorentz-Transformation

$$\vec{r}' = \vec{r}'(\vec{r}, t)$$

$$t' = t'(\vec{r}, t)$$

vgl. Galilei

$$t' = t$$

$$y' = y$$

$$z' = z$$

$$x' = x - vt$$

einfachster Fall: lin. Transf.

Wenn $t=0$, dann sei $t'=0$
und dann sollen auch die Koordinaten-
ursprünge zusammenfallen

$$\begin{pmatrix} t' \\ x' \\ y' \\ z' \end{pmatrix} = L \cdot \begin{pmatrix} t \\ x \\ y \\ z \end{pmatrix} \quad \text{allgem. lin. Transformation}$$

Konstanz der Lichtgeschwindigkeit:

Im System S sei r der Abstand eines Punktes P vom Ursprung
und t die Zeit der Beobachtung (unsere Beobachtungszeit von P)
 $\Rightarrow (\vec{r}, t)$ ist ein "Ereignis"

z: Lichtsignal, das zur Zeit $t=0$ den Ursprung verlässt
und, kommt in P an

$$\Rightarrow ct = |\vec{r}| \quad \Rightarrow \boxed{c^2 t^2 - r^2 = 0}$$

Dasselbe aus der Sicht von S' :

$$c^2 t'^2 - \vec{r}'^2 = 0$$

Jede Transformation von (\vec{r}, t) in (\vec{r}', t') mit der Eigenschaft

$$c^2 t^2 - \vec{r}^2 = 0 \Leftrightarrow c^2 t'^2 - \vec{r}'^2 = 0$$

ist eine Lorentz Transformation

Minkowski-Raum

4-dimensionale Vektoren: (Ereignis, Ortsvektoren)

$$x^\mu = (ct, x^1, x^2, x^3) \quad \text{bzw. systematisch } x^\mu = (x^0, x^1, x^2, x^3)$$

\uparrow x^0 \uparrow ct

Skalarprodukt: $x \cdot y := x^0 y^0 - x^1 y^1 - x^2 y^2 - x^3 y^3 = g_{\mu\nu} x^\mu y^\nu$
Summation convention

Metrik

$$g_{\mu\nu} = \begin{pmatrix} 1 & & & \\ & -1 & & \\ & & -1 & \\ & & & -1 \end{pmatrix}$$

$x_i \cdot x^i = r^2$ - - Unterschied hat zu griechischen Indizes

$x_\mu = g_{\mu\nu} x^\nu = (ct, -x, -y, -z)$ kovariant

vgl. $x^\mu = (x^0, x^1, x^2, x^3)$ kontravariant

$$x^\mu = (g_{\mu\nu})^{-1} x_\nu \quad \xrightarrow{\quad} \quad g^{\mu\nu} = (g_{\mu\nu})^{-1} = \begin{pmatrix} 1 & & & \\ & -1 & & \\ & & -1 & \\ & & & -1 \end{pmatrix}$$

$x^\mu = g^{\mu\nu} x_\nu \quad g_{\mu\nu} g^{\nu\kappa} = g_{\mu}^{\kappa} = \delta_{\mu\kappa} = \text{Einheitsmatrix}$

$$x \cdot y = x_\mu y^\mu = x^\mu y_\mu$$

korrekte Schreibweise des präzessorischen $\begin{pmatrix} t \\ x \\ y \\ z \end{pmatrix} = L \cdot \begin{pmatrix} t \\ x \\ y \\ z \end{pmatrix}$

Lorentztransformation = lineare Transf. in Minkowsky-Raum
mit der Eigenschaft $c^2 t^2 - \vec{r}^2 = 0 \Leftrightarrow c^2 t'^2 - \vec{r}'^2 = 0$

$$x^\mu = (ct, \vec{r}) : \underbrace{x^\mu x_\mu = 0}_{\text{Vierlänge}} \Leftrightarrow \underbrace{x'^\mu x'_\mu = 0}_{\text{Vierlänge}}$$

Umschreibung
 $c^2 t'^2 - \vec{r}'^2 = x^\mu \cdot x_\mu$

$$x'^\mu = \Lambda^\mu_\nu x^\nu$$

$$x'^\mu x'_\mu = P_2(x^0, x^1, x^2, x^3), \text{ Polynom 2. Grades}$$

$$x'^\mu x'_\mu = P_2 = 0 \Leftrightarrow x^\mu x_\mu = 0 \quad \begin{array}{l} \text{beide Polynome stimmen in allen Nullstellen} \\ \text{überein} \\ \Rightarrow \text{Pol. können sich nur um konstante untersch.} \end{array}$$

Unter LT. muss gelten,

$$x'^\mu x'_\mu = \lambda x^\mu x_\mu \quad \leadsto \quad \lambda = 1 \quad (\text{heißt: In beiden Systemen mit gleichen Maßen messen})$$

\Rightarrow Vierlänge ~~ist~~ ist invariant unter LTen

$\leadsto x^\mu y_\mu$ ist invariant unter LTen

Lorentztransformation ist Dreh-Spiegelung im Mink.-Raum

$$g_{\mu\nu} x'^\mu y'^\nu = g_{\mu\nu} \Lambda^\mu_\alpha x^\alpha \Lambda^\nu_\beta y^\beta \stackrel{!}{=} g_{\alpha\beta} x^\alpha y^\beta$$

$$g_{\mu\nu} \Lambda^\mu_\alpha \Lambda^\nu_\beta x^\alpha y^\beta \stackrel{!}{=} g_{\alpha\beta} x^\alpha y^\beta \quad \forall x^\alpha y^\beta \quad \left. \vphantom{g_{\mu\nu} \Lambda^\mu_\alpha \Lambda^\nu_\beta x^\alpha y^\beta} \right\} \text{Summenkonvention}$$

$$g_{\mu\nu} \Lambda^\mu_\alpha \Lambda^\nu_\beta = g_{\alpha\beta}$$

$\Lambda_a^{\mu} g_{\mu\nu} \Lambda_{\beta}^{\nu} = g_{a\beta}$ \rightarrow gewöhnliche Matrizenmult.

$$\Lambda^T g \Lambda = g$$

vgl. im \mathbb{R}^3 : $R^T R = I$

z.B.:

$$\Lambda = \begin{pmatrix} -1 & & 0 \\ & 1 & \\ 0 & & 1 \end{pmatrix}$$

Spiegelt die Zeitachse

$$\Lambda = \begin{pmatrix} 1 & & 0 \\ & -1 & \\ 0 & & 1 \end{pmatrix}$$

Spiegelt die x-Achse

...
eigentliche LT bzw. eigentliche, orthochrone LTen sind solche,
die kontinuierlich mit $\Lambda = I$ zusammenhängen, d.h.
keine Spiegelungen

Jedes R ist ein Λ (jede gewöhnliche Drehung im Raum ist
auch eine Lorentztranzf.)

$$x \cdot y = x^0 y^0 - \vec{x} \cdot \vec{y} \rightarrow x^0 y^0 - (R\vec{x}) \cdot (R\vec{y}) \text{ invariant}$$

Aussicht: Boost = LT ohne Drehung

LT bilden eine Gruppe

$$x^\mu = (ct, x, y, z) \quad ; \quad x_\mu = (ct, -x, -y, -z)$$

$$x \cdot y = g_{\mu\nu} x^\mu x^\nu \leadsto x \cdot x \quad (= \text{Viererlänge})$$

$$g_{\mu\nu} = \begin{pmatrix} 1 & & & \\ & -1 & & \\ & & -1 & \\ & & & -1 \end{pmatrix} = \delta^{\mu\nu} \quad x_\mu = g_{\mu\nu} x^\nu \quad ; \quad x^\mu = g^{\mu\nu} x_\nu$$

LT: $x \cdot x$ ist invariant; Rotationen im $\mathbb{R}^{(3)}$ sind LT

$$\Lambda^\mu_\nu : \Lambda^\top g \Lambda = g \quad \text{ist Bed. für LT} \quad \text{vgl.: } R^\top R = I$$

"Boost" in x -Richtung: rotationsfreie LT

$$\text{Konvention: } x_0 = g_{\mu\nu} x^\mu = \sum_{\mu=0}^3 g_{\mu\nu} x^\mu$$

Boost: Wechsel von ruhendem in bewegtes Bezugssystem

$$B(v) = \begin{pmatrix} \alpha & \beta & 0 & 0 \\ \gamma & \delta & 0 & 0 \\ 0 & 0 & 1 & 0 \\ 0 & 0 & 0 & 1 \end{pmatrix} \quad \text{als Ansatz für } x' = B \cdot x$$

$B(v)$ soll LT sein \Rightarrow Gleichung $\Lambda^\top g \Lambda = g$ muss erfüllt werden

$$B^\top g B = \underbrace{\begin{pmatrix} \alpha & \gamma \\ \beta & \delta \end{pmatrix}}_{\begin{pmatrix} \alpha & -\gamma \\ \beta & -\delta \end{pmatrix}} \begin{pmatrix} 1 & 0 \\ 0 & -1 \end{pmatrix} \begin{pmatrix} \alpha & \beta \\ \gamma & \delta \end{pmatrix} \stackrel{?}{=} \begin{pmatrix} 1 & 0 \\ 0 & -1 \end{pmatrix}$$

$$\begin{pmatrix} \alpha^2 - \gamma^2 & \alpha\beta - \gamma\delta \\ \alpha\beta - \gamma\delta & \beta^2 - \delta^2 \end{pmatrix}$$

$$\Rightarrow \begin{cases} \alpha^2 - \gamma^2 = 1 \\ \delta^2 - \beta^2 = 1 \\ \alpha\beta - \gamma\delta = 0 \end{cases}$$

Gleichungssystem

Boost soll orthochron sein: $\alpha > 0$

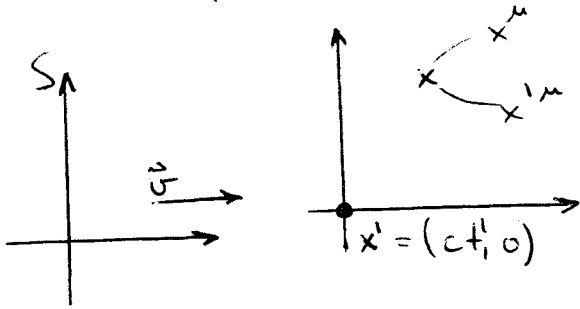
" " " " " " " " : $\delta > 0$

Lösungsansatz:

$$\left. \begin{aligned} \alpha &= \cosh \vartheta \\ \gamma &= \sinh \vartheta \\ \delta &= \cosh \vartheta' \\ \beta &= \sinh \vartheta' \end{aligned} \right\}$$

$$\left. \begin{aligned} 0 &= \cosh \vartheta \sinh \vartheta' - \cosh \vartheta' \sinh \vartheta \\ 0 &= \sinh (\vartheta' - \vartheta) \end{aligned} \right\} \Rightarrow \vartheta' = \vartheta$$

$$\Rightarrow B = \begin{pmatrix} \cosh \vartheta & \sinh \vartheta \\ \sinh \vartheta & \cosh \vartheta \end{pmatrix}$$



$$\left. \begin{aligned} x' &= Bx \\ x^0 &= x^0 \cosh \vartheta + x^1 \sinh \vartheta = ct' \\ x^1 &= x^1 \cosh \vartheta + x^0 \sinh \vartheta = 0 \end{aligned} \right\} \Rightarrow \begin{cases} -x^1 = ct' \sinh \vartheta = x \\ x^0 = +ct' \cosh \vartheta = ct \end{cases} \Rightarrow v = \frac{x}{t} = -c \tanh \vartheta$$

$$\Rightarrow \tanh \vartheta = -\frac{v}{c}$$

$$\cosh \vartheta = \frac{1}{\sqrt{1 - \tanh^2 \vartheta}}$$

$$B(v) = \begin{pmatrix} \frac{1}{\sqrt{1 - v^2/c^2}} & -\frac{v/c}{\sqrt{1 - v^2/c^2}} \\ -\frac{v/c}{\sqrt{1 - v^2/c^2}} & \frac{1}{\sqrt{1 - v^2/c^2}} \end{pmatrix}$$

$\Rightarrow x' = Bx$
wenn sich S' mit v bewegt

Zeitdilatation

$$t_{\text{ick}}' = (0, \vec{0}) \quad t_{\text{ack}}' = (c \cdot \Delta t', 0)$$

$$t_{\text{ick}} = (0, 0) \quad t_{\text{ack}} = \Delta t' \left(\frac{c}{\sqrt{1 - v^2/c^2}}, \frac{v}{\sqrt{1 - v^2/c^2}} \right)$$

$$c \Delta t = \frac{c \Delta t'}{\sqrt{1 - v^2/c^2}}$$

$$\Rightarrow \Delta t = \frac{\Delta t'}{\sqrt{1 - v^2/c^2}} \Rightarrow \Delta t' = \underbrace{\Delta t \cdot \sqrt{1 - v^2/c^2}}$$

Eigenzeit der ruhenden Uhr, bezeichnet mit τ : $\Delta \tau = \Delta t \sqrt{\quad}$

Die Eigenzeit ist Lorentz invariant

Betrachtung der Geschwindigkeit

~~$\frac{dx^\mu}{dt}$~~ Einführung der Vierergeschwindigkeit

$$u^\mu = \frac{dx^\mu}{d\tau} = \frac{dx^\mu}{dt \sqrt{1 - \frac{v^2}{c^2}}} = \frac{(c, \dot{x}, \dot{y}, \dot{z})}{\sqrt{1 - \frac{v^2}{c^2}}} = \frac{(c, \vec{v})}{\sqrt{1 - \frac{v^2}{c^2}}}$$

$$u^\mu \cdot u_\mu = \frac{c^2 - \vec{v}^2}{1 - \frac{v^2}{c^2}} = c^2 \quad \left| \begin{array}{l} \checkmark \text{ invariante} \\ \text{Vierlänge} \end{array} \right.$$

Viererimpuls

$$P^\mu = m u^\mu$$

$$= \left(\frac{mc}{\sqrt{1 - \frac{v^2}{c^2}}}, \vec{p} \right)$$

m : invariante Ruhemasse

$$\text{mit } \vec{p} = \frac{m \vec{v}}{\sqrt{1 - \frac{v^2}{c^2}}}$$

\Rightarrow praktisch wird oft mit der relat. Masse gerechnet

$$P^\mu P_\mu = m^2 c^2$$

$$\begin{array}{l} \downarrow \\ \rightarrow mc + \underbrace{\frac{1}{c} \left(\frac{m}{2} v^2 \right)}_{\text{Energie?}} + \dots \Rightarrow \frac{mc^2 + E_{\text{kin}} + \text{rel. Korrekturen}}{c} \end{array}$$

$$E \xrightarrow{v \rightarrow 0} mc^2$$

x^μ , Eigenzeit $d\tau = dt \sqrt{1 - \frac{v^2}{c^2}}$ invariant ; $x^\mu = (ct, \vec{r})$

$$u^\mu = \frac{dx^\mu}{d\tau} \quad ; \quad p^\mu = m u^\mu \quad ; \quad u^\mu u_\mu = c^2 \quad ; \quad p^\mu p_\mu = m^2 c^2$$

$$p^\mu = m \frac{dx^\mu}{d\tau} = \frac{m}{\sqrt{1 - \frac{v^2}{c^2}}} \frac{dx^\mu}{dt} = \left(\frac{mc}{\sqrt{1 - \frac{v^2}{c^2}}}, \frac{m\vec{v}}{\sqrt{1 - \frac{v^2}{c^2}}} \right) ; \quad \vec{p} = \frac{m}{\sqrt{1 - \frac{v^2}{c^2}}} \vec{v}$$

$$\frac{mc}{\sqrt{1 - \frac{v^2}{c^2}}} = mc \left(1 + \frac{1}{2} \frac{v^2}{c^2} + \frac{3}{8} \frac{v^4}{c^4} + \dots \right)$$

$$= mc + \frac{1}{c} \left(\frac{1}{2} m v^2 \right) + \text{rel. Korrekturen}$$

$$= \frac{1}{c} \left(mc^2 + E_{\text{kin}}^{(n.r.)} + \text{rel. Korr.} \right)$$

\Downarrow
 Ruhemasse

$$p^\mu = \left(\frac{E}{c}, \vec{p} \right) ; \quad p^\mu p_\mu = \frac{E^2}{c^2} - \vec{p}^2 = m^2 c^2$$

$$E = \sqrt{m^2 c^4 + c^2 \vec{p}^2} \quad (E = m \cdot c^2)$$

$$m \rightarrow 0 \leadsto \frac{E^2}{c^2} = \vec{p}^2 \leadsto E = c p$$

$p^\mu = (E/c, \vec{p}, 0, 0)$ Viererimpuls eines masselosen Teilchens

\rightarrow Geschwindigkeit ergibt sich dann als c :

E, p gegeben, was ist v ?

$$\frac{E}{c} = \frac{mc}{\sqrt{1 - \frac{v^2}{c^2}}} \Leftrightarrow 1 - \frac{v^2}{c^2} = \frac{m^2 c^4}{E^2} \Leftrightarrow v^2 = c^2 \frac{m^2 c^6}{E^2}$$

$\rightarrow c^2$ für $m \rightarrow 0$

Beispiel: Photonen mit Viererimpuls $\left(\frac{h\nu}{c}, \vec{p} \right)$

relativistische Ausdrücke für Kräfte?

inst. Schwerkraft \rightarrow allg. Relativitätstheorie

elektrische, magnetische Felder? \rightarrow ...

Erhaltungssätze beim Teilchenzerfall

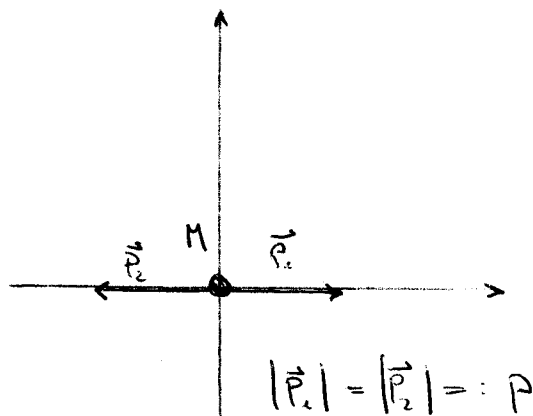
$$M \rightarrow m_1 + m_2 \quad ; \quad m_1 + m_2 < M$$

im Ruhesystem von M :

$$P^M = (Mc, \vec{0})$$

$$P_{i=1,2}^M = \left(\frac{E_i}{c}, \vec{p}_i \right)$$

$$\boxed{P^M = P_1^M + P_2^M} \quad \leadsto \quad \vec{p}_1 = -\vec{p}_2$$



$$Mc = \frac{E_1}{c} + \frac{E_2}{c} = \sqrt{m_1^2 c^2 + p^2} + \sqrt{m_2^2 c^2 + p^2}$$

$$\Leftrightarrow (Mc - \sqrt{m_2^2 c^2 + p^2})^2 = m_1^2 c^2 + p^2$$

$$\Leftrightarrow M^2 c^2 - 2Mc \sqrt{m_2^2 c^2 + p^2} + m_2^2 c^2 + p^2 = m_1^2 c^2 + p^2$$

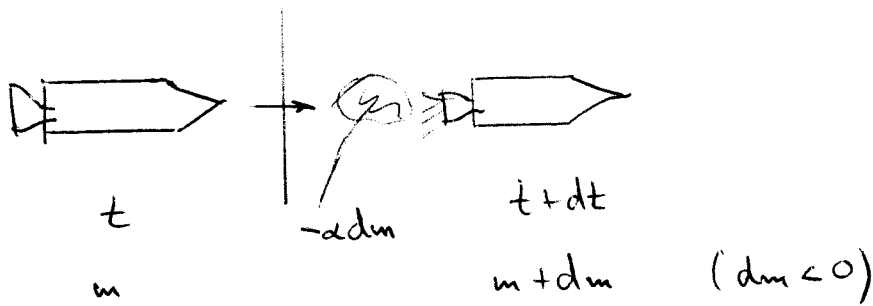
$$\Leftrightarrow p = \sqrt{\frac{c^2 (M^2 + m_2^2 - m_1^2)^2 - 4M^2 m_2^2}{4M^2}}$$

Symmetric?

$$= \sqrt{\frac{c^2 (M^2 - m_1^2 - m_2^2)^2 - 4m_1^2 m_2^2}{4M^2}}$$

✓

Rakete



$$0 \leq \alpha < 1$$

$$P^\mu = \left(\frac{E}{c}, P \right) = P^\mu + dP^\mu + q^\mu = \left(\frac{E+dE}{c}, P+dp \right) + \left(\frac{q_0}{c}, -dp \right)$$

$$E = c \sqrt{m^2 c^2 + p^2} \quad q_0 = c \sqrt{c^2 \alpha^2 dm^2 + dp^2}$$

$$\frac{dE}{c} = -\alpha \sqrt{c^2 \alpha^2 dm^2 + dp^2}$$

$$dE = \frac{c(c^2 m dm + p dp)}{\sqrt{m^2 c^2 + p^2}}$$

$$= -c^2 \alpha \sqrt{c^2 \alpha^2 dm^2 + dp^2}$$

nach $df = f_x dx + f_y dy$
für $f(x, y)$

$$c^2 m^2 dm^2 + 2c^2 m p dm dp + p^2 dp^2 = (c^2 \alpha^2 dm^2 + dp^2) (m^2 c^2 + p^2) \pm dE^2$$

$$= m^2 c^2 \alpha^2 dm^2 + m^2 c^2 dp^2 + p^2 c^2 \alpha^2 dm^2$$

$$dm^2 (c^2 m^2 (1-\alpha^2) - \alpha^2 p^2) + 2mp dm dp - m^2 dp^2 = 0 \quad + p^2 dp^2$$

$$\underbrace{p^2 dm^2 - (p dm - m dp)^2}_{\text{quad. Erg.}}$$

$$\Leftrightarrow [c^2 m^2 (1-\alpha^2) + (1-\alpha^2) p^2] dm^2 = (p dm - m dp)^2 \quad ; \beta := \sqrt{1-\alpha^2}$$

$$\Leftrightarrow \beta \sqrt{m^2 c^2 + p^2} \cdot dm = \pm (p dm - m dp) \quad \left(p = \frac{m v}{\sqrt{1-\frac{v^2}{c^2}}} \Leftrightarrow v^2 = \frac{p^2}{m^2 + \frac{p^2}{c^2}} \right)$$

$$dp = \frac{m v \, dm}{\sqrt{\quad}} + \frac{m \, dv}{\sqrt{\quad}^3}$$

$$c\beta \frac{P}{v} \, dm = \pm \left(p \, dm - \underbrace{\frac{m v}{\sqrt{1 - \frac{v^2}{c^2}}}}_P \, dm + \frac{m^2 \, dv}{\sqrt{1 - \frac{v^2}{c^2}}^3} \right)$$

$$\Leftrightarrow c\beta \, dm = \pm \frac{m^2 v}{P \sqrt{\quad}^3} \, dv$$

$$= \pm \frac{m \cancel{v}}{1 - \frac{v^2}{c^2}} \, dv$$

dv ist pos, dm ist neg. im Prozess

$$c\beta \, dm = - \frac{m \, dv}{1 - \frac{v^2}{c^2}}$$

$$c\beta \log m = c \cdot \log \frac{c-v}{c+v} \quad (?)$$

$$v = \frac{c(m_0^{2\beta} - m^{2\beta})}{m_0^{2\beta} + m^{2\beta}}$$

$$\vec{j} = (c, \vec{j}) \quad \vec{j}'^\mu = \Lambda^\mu_\nu \vec{j}^\nu$$

 $\vec{E}, \vec{B}, \vec{A}$

$$\vec{A} \rightarrow \vec{A}'^\mu = \left(\frac{\phi}{c}, \vec{A}' \right)$$

$$\frac{1}{c^2} \ddot{\vec{A}} - \Delta \vec{A} = \mu_0 \vec{j}$$

$$\frac{1}{c^2} \ddot{\phi} - \Delta \phi = \frac{\rho}{\epsilon_0}$$

$$\underbrace{\left(\frac{1}{c^2} \frac{\partial^2}{\partial t^2} - \Delta \right)}_{\square} = \left(\sum_{\mu=0}^3 g^{\mu\nu} \frac{\partial}{\partial x^\mu} \frac{\partial}{\partial x^\nu} \right) \quad \text{z.z.: } \square \text{ ist Lorentzinvariant}$$

 \Rightarrow

$$\square \vec{A} = \mu_0 \vec{j}$$

$$\square \phi = \frac{\rho}{\epsilon_0}$$

$$x'^\mu = \Lambda^\mu_\nu x^\nu \quad \Rightarrow \quad x^\nu = \left(\Lambda^{-1} \right)^\nu_\mu x'^\mu$$

$$\frac{\partial}{\partial x'^\alpha} = \frac{\partial x^\mu}{\partial x'^\alpha} \frac{\partial}{\partial x^\mu} \quad \frac{\partial x^\nu}{\partial x'^\mu} = \left(\Lambda^{-1} \right)^\nu_\mu$$

$$\frac{\partial}{\partial x'^\alpha} = \left(\Lambda^{-1} \right)^\mu_\alpha \frac{\partial}{\partial x^\mu} = \left(\Lambda^{-1T} \right)^\mu_\alpha \frac{\partial}{\partial x^\mu}$$

$$\Rightarrow \boxed{\frac{\partial}{\partial x'^\alpha} = \left(\Lambda^{-1T} \right)^\mu_\alpha \frac{\partial}{\partial x^\mu}}$$

Transformation des Gradienten
(Nabla)
kovariant

$$dx'^\mu = \frac{\partial x'^\mu}{\partial x^\nu} dx^\nu = \Lambda^\mu_\nu dx^\nu$$

Transformation des Differentials
Kontravariant

$$\partial^\alpha = \frac{\partial}{\partial x_\alpha} \quad \partial^\mu \partial_\mu = g^{\mu\nu} \partial^\mu \partial_\nu = \square$$

$$\square \vec{A} = \mu_0 \vec{j} \quad ; \quad j^\mu = (ec \vec{j})$$

$$\square \varphi = \frac{\rho}{\epsilon_0} = \mu_0 \frac{\rho c}{\mu_0 \epsilon_0 c} = c \mu_0 \cdot \rho \cdot c$$

$$\Leftrightarrow \frac{\varphi}{c} = \mu_0 \rho \cdot c$$

$$\Rightarrow \boxed{\square A^\mu = \mu_0 j^\mu} \quad A^0 = \frac{\varphi}{c}$$

Invarianz der Eichbedingung?

Eichbed. (Lorentz-Eichung): $\partial_\mu \vec{A} + \dot{\varphi} = 0$

$$c^2 \partial_i A^i + c^2 \partial_c A^0 = 0$$

$$c^2 \partial_\mu A^\mu = 0$$

$$\boxed{\partial_\mu A^\mu = 0}$$

$F^{\mu\nu}$ = "elekt. Feldtensor" := $\partial^\mu A^\nu - \partial^\nu A^\mu$

$$\begin{pmatrix} 0 & -\frac{E_x}{c} & -\frac{E_y}{c} & -\frac{E_z}{c} \\ \frac{E_x}{c} & 0 & -B_z & B_y \\ \frac{E_y}{c} & B_z & 0 & -B_x \\ \frac{E_z}{c} & -B_y & B_x & 0 \end{pmatrix}$$

$$F^{01} = \partial^0 A^1 - \partial^1 A^0 = \frac{1}{c} \frac{\partial}{\partial t} A_x$$

$$\text{mit } \frac{\partial}{\partial x} = \frac{\partial}{\partial x^1} = \partial_1 = -\partial^1$$

$$F^{01} = \frac{1}{c} \frac{\partial}{\partial t} A_x + \frac{1}{c} \frac{\partial}{\partial x} \varphi = -\frac{E_x}{c}$$

$$F^{12} = \partial^1 A^2 - \partial^2 A^1 = -\frac{\partial}{\partial x} A_y + \frac{\partial}{\partial y} A_x = -(\text{rot } A)_z = -B_z$$

$$F'^{\mu\nu} = \Lambda^\mu_\alpha \Lambda^\nu_\beta F^{\alpha\beta}$$

$$\frac{d}{dt} \vec{p} = e \left[\vec{E} + \vec{v} \times \vec{B} \right] \quad \text{Transformieren beide Seiten gleich?}$$

raten:

$$\frac{dp^\mu}{d\tau} = e F^{\mu\nu} u_\nu \quad ? \quad \text{Überprüfung für kleine Geschwindigkeiten}$$

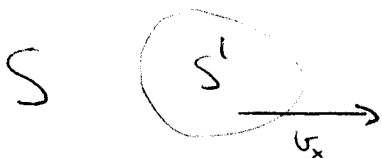
$$\frac{d \left(\frac{m \vec{v}}{\sqrt{1 - \frac{v^2}{c^2}}} \right)}{\sqrt{1 - \frac{v^2}{c^2}} \cdot dt} = e \left(F^{10} u_0 + F^{1i} u_i, F^{20}, F^{30}, \dots \right)$$

$$= e \left(\frac{E_x}{\cancel{c}} \frac{c}{\sqrt{1 - \frac{v^2}{c^2}}} + \frac{+ B_z \cdot v_y - B_y v_z}{\sqrt{1 - \frac{v^2}{c^2}}}, \dots \right)$$

$$\Leftrightarrow \frac{d}{dt} \left(\frac{m \vec{v}}{\sqrt{1 - \frac{v^2}{c^2}}} \right) = e \left(E_x + (\vec{v} \times \vec{B})_x, \dots, \dots \right) = e \left(\vec{E} + \vec{v} \times \vec{B} \right)$$

Nulle Komponente ergibt den Energieerhaltungssatz: ✓

$$\frac{d \frac{E}{c}}{\sqrt{1 - \frac{v^2}{c^2}} dt} = e \frac{\vec{E} \cdot \vec{v}}{c \sqrt{1 - \frac{v^2}{c^2}}} \rightsquigarrow \frac{dU}{dt} = e \vec{E} \cdot \vec{v}$$



Transformation der Felder

$$x'^\mu = \underbrace{\begin{pmatrix} \gamma & \gamma \frac{v}{c} & 0 & 0 \\ \gamma \frac{v}{c} & \gamma & 0 & 0 \\ 0 & 0 & 1 & 0 \\ 0 & 0 & 0 & 1 \end{pmatrix}}_{\Lambda^\mu_\nu}$$

Boost in x-Richtung

$$\begin{aligned}
 -\frac{E'_x}{c} &= F^{1'01} = \Lambda_{\alpha}^0 \Lambda_{\beta}^1 F^{\alpha\beta} \\
 &= \Lambda_{\alpha}^0 \Lambda_{\beta}^1 F^{\alpha\beta} = \Lambda_{\alpha}^0 \Lambda_{\beta}^1 F^{\alpha\beta} \\
 &= \Lambda_{\alpha}^0 \Lambda_{\beta}^1 F^{\alpha\beta} + \Lambda_{\alpha}^0 \Lambda_{\beta}^1 F^{\alpha\beta} \quad \left| \gamma := \frac{1}{\sqrt{1-\frac{v^2}{c^2}}} \right. \\
 &= \left(-\gamma + \gamma^2 \frac{v^2}{c^2} \right) \frac{E_x}{c} \rightsquigarrow \boxed{E'_x = E_x \cdot \gamma^2 \left(1 - \frac{v^2}{c^2} \right) = E_x} \\
 &\Rightarrow x\text{-Komponente ändert sich nicht. } y\text{-Komponente?}
 \end{aligned}$$

$$\begin{aligned}
 -\frac{E'_y}{c} &= F^{1'02} = \Lambda_{\alpha}^0 \Lambda_{\beta}^2 F^{\alpha\beta} = \Lambda_{\alpha}^0 F^{\alpha 02} + \Lambda_{\alpha}^1 F^{\alpha 12} \\
 &= -\gamma \frac{E_y}{c} + \frac{v}{c} \gamma B_z
 \end{aligned}$$

$$\boxed{E'_y = \frac{E_y - v B_z}{\sqrt{1 - \frac{v^2}{c^2}}}}$$

analog:

$$\boxed{E'_z = \frac{E_z + v B_y}{\sqrt{1 - \frac{v^2}{c^2}}}}$$

Transformation des Magnetfelds

$$B'_x = -F^{1'23} = -\Lambda_{\alpha}^1 \Lambda_{\beta}^2 F^{\alpha\beta} = -F^{123} = B_x$$

$$\begin{aligned}
 B'_y &= F^{1'13} = \Lambda_{\alpha}^1 \Lambda_{\beta}^3 F^{\alpha\beta} = \Lambda_{\alpha}^1 F^{\alpha 03} + \Lambda_{\alpha}^1 F^{\alpha 13} \\
 &= +\frac{v}{c} \gamma \frac{E_z}{c} + \gamma B_y \\
 &= \frac{B_y + \frac{v}{c^2} E_z}{\sqrt{1 - \frac{v^2}{c^2}}}
 \end{aligned}$$

$$B'_z = \frac{B_z - \frac{v}{c^2} E_y}{\sqrt{1 - \frac{v^2}{c^2}}}$$

Bemerkung:

$$F^{\mu\nu} F_{\mu\nu} = 2 \left(\frac{-E^2}{c^2} + B^2 \right) \text{ ist invariant}$$

d.h.

$$E^2 - c^2 B^2 = \text{invariant unter L.T.}$$

$$(\vec{a} \times \vec{b})_i = \epsilon_{ijk} a_j b_k$$

Levi - Givita \rightarrow in vier Dimensionen

$\epsilon_{\mu\nu\alpha\beta} \epsilon_{0123} = 1$, total antisymmetrisch

$$\epsilon_{\mu\nu\alpha\beta} F^{\mu\nu} F^{\alpha\beta} \sim \vec{E} \cdot \vec{B}$$

$$F^{\mu\nu} = \partial^\mu A^\nu - \partial^\nu A^\mu \quad \text{mit} \quad \partial_\mu = \left(\frac{\partial}{\partial x^0}, \frac{\partial}{\partial x^1}, \frac{\partial}{\partial x^2}, \dots \right)$$

$$A^\mu = \left(\frac{\varphi}{c}, \vec{A} \right)$$

Eichbed.:

$$\partial_\mu A^\mu = 0$$

$$\begin{aligned} \partial_\mu F^{\mu\nu} &= \partial_\mu (\partial^\mu A^\nu - \partial^\nu A^\mu) \\ &= \square A^\nu = \mu_0 j^\nu \end{aligned}$$

$$\Rightarrow \boxed{\partial_\mu F^{\mu\nu} = \mu_0 j^\nu}$$

Schreibweise der Maxwell-Gl.

$$\Leftrightarrow \left\{ \text{div } \vec{D} = \rho \quad \text{rot } \vec{H} - \dot{\vec{D}} = \vec{j} \right\}$$

$\epsilon^{\alpha\beta\gamma\delta}$; $\epsilon^{\alpha 123} = 1$, total antisymmetrisch

$$\Rightarrow \epsilon^{\alpha\beta\gamma\delta} = \Lambda^\alpha_\mu \Lambda^\beta_\nu \Lambda^\gamma_\kappa \Lambda^\delta_\epsilon \epsilon^{\mu\nu\kappa\epsilon} = \pm \det \Lambda$$

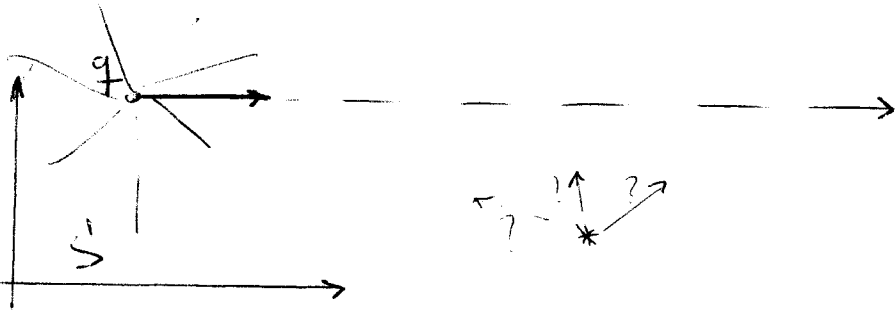
$$\Lambda^T g \Lambda = g \quad ; \quad \{ R^T \cdot R = \mathbb{I} \}$$

$$\Leftrightarrow \det \Lambda^T \det g \det \Lambda = \det g \Rightarrow \det \Lambda = \pm 1 \quad ; \quad \begin{matrix} -1 & \text{Spiegelungen} \\ +1 & \text{LT} \end{matrix}$$

$$\tilde{F}^{\mu\nu} := \epsilon^{\mu\nu\alpha\beta} F^{\alpha\beta} = \begin{pmatrix} B \leftrightarrow E \end{pmatrix} \quad \text{dualer Feldtensor}$$

$$\partial_\mu \tilde{F}^{\mu\nu} = 0 \Leftrightarrow \left\{ \text{div } \vec{B} = 0, \quad \text{rot } \vec{E} + \dot{\vec{B}} = 0 \right\}$$

$$\partial_\mu F^{\mu\nu} \times F^{\mu\nu} = \mu_0 F^{\mu\nu} \cdot j_\nu$$



$\phi = \frac{1}{r_1} = \frac{1}{\sqrt{x'^2 + (y' - a)^2}}$

Viererpotential: $A'^{\mu} = \left(\frac{\phi}{c}, 0 \right)$

$A^{\mu} = \frac{1}{\sqrt{1 - \frac{v^2}{c^2}}} \begin{pmatrix} 1 & \frac{v}{c} & 0 \\ \frac{v}{c} & 1 & 0 \\ 0 & 0 & \sqrt{1 - \frac{v^2}{c^2}} \end{pmatrix} \cdot A'^{\mu}$

$= \left(\frac{\phi}{c} \gamma, \frac{v}{c^2} \phi \gamma, 0, 0 \right)$

$x^{\mu} = \gamma \begin{pmatrix} ct' \\ x' \\ y' \end{pmatrix}$

$= \left(\gamma \left(ct' + \frac{v}{c} x' \right), \gamma (vt' + x'), y', 0 \right)$

$\phi = \gamma \phi' = \gamma \frac{1}{\sqrt{x'^2 + (y' - a)^2}}$

$t = \gamma \left(t' + \frac{v}{c^2} x' \right)$

$A_x = \gamma \frac{v}{c^2} \frac{1}{\sqrt{x'^2 + (y' - a)^2}}$

$x = \gamma (vt' + x')$

$A_y = A_z = 0$

$y = y'$

Beobachter sei bei $x=y=0$

$$\rightarrow y' = 0 ; x' = -vt'$$

$$vt - x = \gamma \left(\frac{v^2}{c^2} - 1 \right) x' = -\frac{1}{\gamma} x' = -x' \sqrt{1 - \frac{v^2}{c^2}}$$

$$x' = \frac{x - vt}{\sqrt{1 - \frac{v^2}{c^2}}} \xrightarrow{x=0} -\frac{vt}{\sqrt{1 - \frac{v^2}{c^2}}}$$

$$\phi = \frac{\gamma}{\sqrt{\frac{v^2 t^2}{1 - \frac{v^2}{c^2}} + a^2}} \quad \text{bzw mit } x \neq 0$$

$$\phi = \frac{\gamma}{\sqrt{\frac{(x - vt)^2}{1 - \frac{v^2}{c^2}} + (a - y)^2}} \quad A_x = \frac{v}{c^2} \phi$$

$$\begin{aligned} E_x &= -\dot{A}_x - \frac{\partial \phi}{\partial x} & E_y &= -\frac{\partial \phi}{\partial y} \\ &= -\frac{v^2}{c^2} \frac{\partial}{\partial t} \phi - \frac{\partial \phi}{\partial x} \\ &= + \frac{\gamma \left(2 \frac{v}{c^2} \frac{(vt - x)}{(1 - \frac{v^2}{c^2})} + \frac{2(x - vt)}{1 - \frac{v^2}{c^2}} \right)}{2 \sqrt{\dots}} \end{aligned}$$

$$\begin{aligned} E_x (x=y=0) &= \frac{\gamma v}{\sqrt{\frac{v^2 t^2}{1 - \frac{v^2}{c^2}} + a^2}} \frac{\frac{v^2}{c^2} t - t}{1 - \frac{v^2}{c^2}} \\ &= -\frac{\gamma vt}{\sqrt{\dots}} \end{aligned}$$

y-Komponente analog

$$B \text{ als } \vec{B} = \text{rot } \vec{A} \rightarrow B_z = -\frac{\partial}{\partial y} A_x$$